

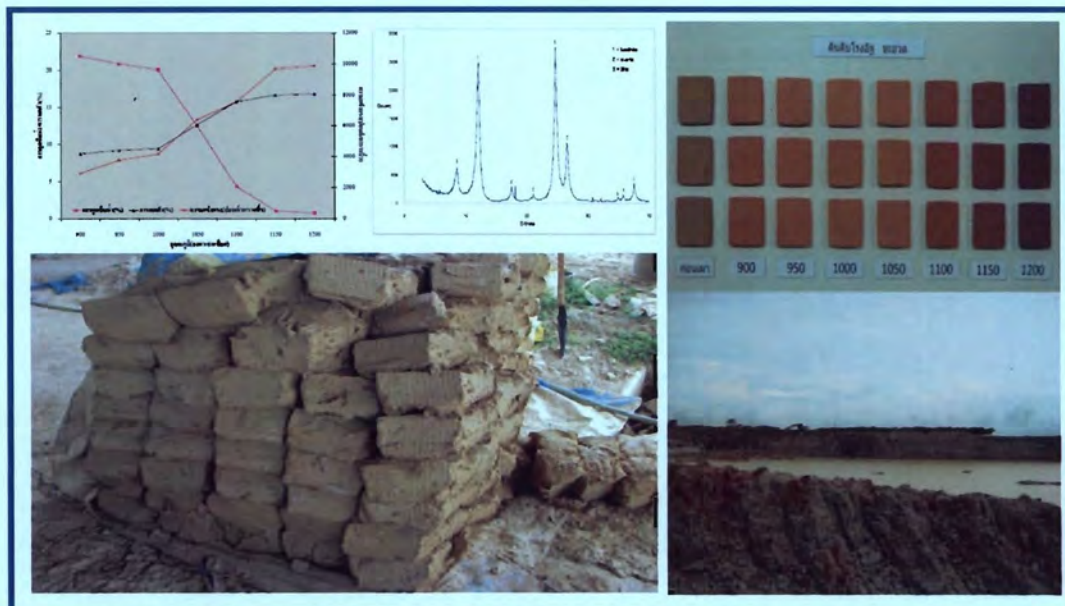
รายงานฉบับสมบูรณ์

โครงการยกระดับคุณภาพวัตถุดินและผลิตภัณฑ์สำหรับอุตสาหกรรมเซรามิก: ปีที่ 4 (ภาคใต้)

Upgrading of Ceramic Raw Material and Products for Ceramic Industry: Year IV (Southern Part)

ฉบับที่ 3

การตรวจสอบสมบัติของดินเหนียว



เสนอ

สถาบันวิจัยวิทยาศาสตร์และเทคโนโลยีแห่งประเทศไทย (วว.)

โดย

สถาบันวิจัยโลหะและวัสดุ จุฬาลงกรณ์มหาวิทยาลัย

สิงหาคม 2554

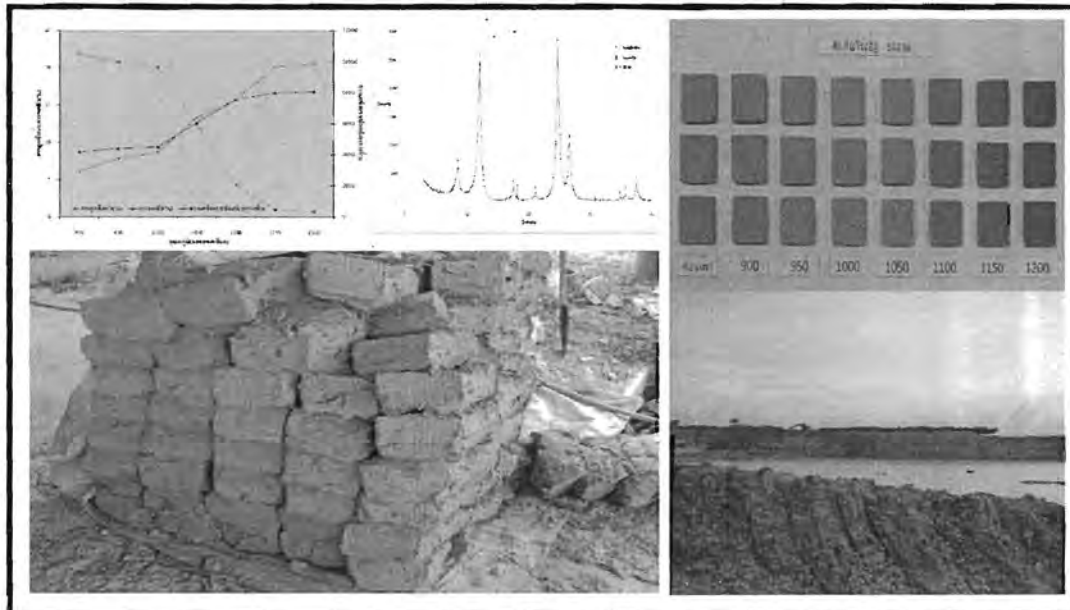
รายงานฉบับสมบูรณ์

โครงการยกระดับคุณภาพวัตถุดิบและผลิตภัณฑ์สำหรับอุตสาหกรรมเซรามิก: ปีที่ 4 (ภาคใต้)

Upgrading of Ceramic Raw Material and Products for Ceramic Industry: Year IV (Southern Part)

ฉบับที่ 3

การตรวจสอบสมบัติของดินเหนียว



เสนอ

สถาบันวิจัยวิทยาศาสตร์และเทคโนโลยีแห่งประเทศไทย (วว.)

โดย

สถาบันวิจัยโลหะและวัสดุ จุฬาลงกรณ์มหาวิทยาลัย

สิงหาคม 2554

i 27966641

คณะผู้วิจัย

คณะที่ปรึกษา

1. ศาสตราจารย์ ดร. สุพจน์ หารหนองบัว
คณบดีคณะวิทยาศาสตร์ จุฬาลงกรณ์มหาวิทยาลัย
2. ดร. ชาญ จารยานนิชช์
อศิลป์เชี่ยวชาญ กรมอุดสาหกรรมพื้นฐานและการเหมืองแร่ กระทรวงอุดสาหกรรม
3. รองศาสตราจารย์ คงข อะระพงศ์
อาจารย์ประจำภาควิชาวัสดุศาสตร์ คณะวิทยาศาสตร์ จุฬาลงกรณ์มหาวิทยาลัย
4. นางปันคณา มีโรจน์
เลขานุการสถาบัน สถาบันวิจัยโลหะและวัสดุ จุฬาลงกรณ์มหาวิทยาลัย

เจ้าหน้าที่

หมายเลขบัตร 017737

วัน เดือน ปี 6 มิ.ย. 61

คณะผู้วิจัย

1. อาจารย์ ดร. สิริพรรณ นิลไพรัช (หัวหน้าโครงการ)
ฝ่ายวัสดุเชิงมิค สถาบันวิจัยโลหะและวัสดุ จุฬาลงกรณ์มหาวิทยาลัย
หัวหน้ากลุ่มที่ 1 การบริหารและประสานงานโครงการ
หัวหน้ากลุ่มที่ 3 การทดสอบสมบัติคินเนนยา
2. ศาสตราจารย์ ดร. ธนวัฒน์ จารุพงษ์
อาจารย์ประจำภาควิชาธารณ คณะวิทยาศาสตร์ จุฬาลงกรณ์มหาวิทยาลัย
หัวหน้ากลุ่มที่ 2 การสำรวจบิรูมาณและคุณภาพของคินเนนยา
3. อาจารย์ ดร. ศรีนทร์ ลิมปนาท
ฝ่ายวัสดุเชิงมิค สถาบันวิจัยโลหะและวัสดุ จุฬาลงกรณ์มหาวิทยาลัย
หัวหน้ากลุ่มที่ 4 การพัฒนาปรับปรุงคุณภาพวัตถุคินและผลิตภัณฑ์
4. รองศาสตราจารย์ ดร. อรพินท์ พานทอง
อาจารย์ประจำภาควิชาการออกแบบอุตสาหกรรม คณะสถาปัตยกรรมศาสตร์ จุฬาลงกรณ์มหาวิทยาลัย
หัวหน้ากลุ่มที่ 5 การออกแบบและพัฒนาผลิตภัณฑ์
5. อาจารย์ ดร. ณัญชิตา ชวนเกริกุล
ฝ่ายโลหกรรม สถาบันวิจัยโลหะและวัสดุ จุฬาลงกรณ์มหาวิทยาลัย
หัวหน้ากลุ่มที่ 6 การจัดทำฐานข้อมูล
6. นางสาวปราณี รัตนวีติโรจน์ (นักวิจัยกลุ่มที่ 1)
ฝ่ายวัสดุพลเมือง สถาบันวิจัยโลหะและวัสดุ จุฬาลงกรณ์มหาวิทยาลัย
7. นางสาวกนกวรรณ แสงเกียรติยุทธ (นักวิจัยกลุ่มที่ 1)
ฝ่ายโลหกรรม สถาบันวิจัยโลหะและวัสดุ จุฬาลงกรณ์มหาวิทยาลัย
8. นางสาวสวี เสนาพิทักษ์ (นักวิจัยกลุ่มที่ 1)
ฝ่ายวัสดุเชิงมิค สถาบันวิจัยโลหะและวัสดุ จุฬาลงกรณ์มหาวิทยาลัย

คณะผู้วิจัย

9. นายคริสต์ ชุมพาณ (นักวิจัยกลุ่มที่ 2)
ฝ่ายวัสดุเชรานมิก สถาบันวิจัยโลหะและวัสดุ จุฬาลงกรณ์มหาวิทยาลัย
10. ผู้ช่วยศาสตราจารย์ ดร. ธนากร วาสนานพียรพงศ์ (นักวิจัยกลุ่มที่ 4)
อาจารย์ประจำภาควิชาวัสดุศาสตร์ คณะวิทยาศาสตร์ จุฬาลงกรณ์มหาวิทยาลัย
11. อาจารย์ ดร. กฤณณา ศิริเลิศมุกุล (นักวิจัยกลุ่มที่ 4)
ฝ่ายวัสดุพอลิเมอร์ สถาบันวิจัยโลหะและวัสดุ จุฬาลงกรณ์มหาวิทยาลัย
12. อาจารย์ ดร. วัชรพล วงศ์พันธุ์ (นักวิจัยกลุ่มที่ 4)
ฝ่ายวัสดุพอลิเมอร์ สถาบันวิจัยโลหะและวัสดุ จุฬาลงกรณ์มหาวิทยาลัย
13. ดร. สุพิน แสงสุข (นักวิจัยกลุ่มที่ 4)
ฝ่ายวัสดุเชรานมิก สถาบันวิจัยโลหะและวัสดุ จุฬาลงกรณ์มหาวิทยาลัย
14. นายอดิศักดิ์ อีอพลอย (ผู้ช่วยวิจัยกลุ่มที่ 4)
ฝ่ายโลหกรรม สถาบันวิจัยโลหะและวัสดุ จุฬาลงกรณ์มหาวิทยาลัย
15. นางสาวนุชดา ใจดีอุดมรัตน์
ผู้ประสานงานโครงการ
16. นางเกรียงไกร ยอดชนก
ผู้ช่วยวิจัย
17. นางสาวสุชารัตน์ อัครมณีกาญจน์
ผู้ช่วยวิจัย

รายงานการศึกษา

รายงานการศึกษาประกอบด้วยรายงานฉบับสมบูรณ์ จำนวน 6 ฉบับ คือ

ฉบับที่ 1 ข้อมูลโครงการและการจัดการ

การคัดเลือกแหล่งหัดกรรมเครื่องปั้นดินเผาเป้าหมาย

สถานภาพและการประเมินการพัฒนาหัดกรรมเครื่องปั้นดินเผาเป้าหมาย

ฉบับที่ 2 การสำรวจปริมาณสำรองดินเหนียวต่ำถูกต้อง

ฉบับที่ 3 การตรวจสอบสมบัติของดินเหนียว

ฉบับที่ 4 การพัฒนาและปรับปรุงผลิตภัณฑ์เครื่องปั้นดินเผา

ฉบับที่ 5 การออกแบบและพัฒนาผลิตภัณฑ์

ฉบับที่ 6 การอบรม ประชาสัมพันธ์ และเผยแพร่องค์งานประจำปี

การจัดทำฐานข้อมูลแหล่งดิน

บทคัดย่อ

การตรวจสอบสมบัติคินเนี่ยว ได้ใช้คินเนี่ยวตัวอย่างของโรงงานเครื่องปั้นดินเผาในจังหวัดนครศรีธรรมราช ซึ่งได้จากแหล่งต่างๆ คือ คินเนี่ยวชั้นบน และคินเนี่ยวชั้นล่าง สำหรับคินเนี่ยวนอกสถานที่ (เนื้อคินปั้น) สำหรับคินเนี่ยวบ้านท่าเตียน สำหรับเมือง คินเนี่ยว สำหรับร่องพิบูลย์คินเนี่ยว สำหรับท่าประจะ และ คินเนี่ยว สำหรับท่าแม่ดี สำหรับชะอะວัด จังหวัดนครศรีธรรมราช ได้นำมาวิเคราะห์และตรวจสอบบดต่างๆ คือ องค์ประกอบทางเคมี แร่วิทยา สมบัติทางกายภาพ สมบัติการขึ้นรูป และสมบัติหลังการเผา เพื่อให้ได้ทราบสมบัติต่างๆ ที่เกี่ยวของกับคุณลักษณะของคินเนี่ยวที่นำมาใช้ในอุตสาหกรรมเซรามิก

ผลการตรวจสอบสมบัติต่างๆ สรุปได้ว่า คินทุกแหล่งมีปริมาณซิลิกา และอลูมินา ระหว่าง 57.15-74.5% และ 14.82 -27.37% ตามลำดับ และมีปริมาณรวมของสารช่วยลดอุณหภูมิการเผา ค่อนข้างต่ำ 2.27-3.48% ยกเว้น คินเนี่ยว สำหรับร่องพิบูลย์ที่มีค่าสูง 5.20% และมีค่าการสูญเสียน้ำหนักหลัง 4.68-8.99% คินจากทุกแหล่งมีแร่ควอตซ์ เคไออิไนต์ อิลไดต์ ยกเว้น เนื้อคินปั้น นอกสถานที่ คินเนี่ยว สำหรับร่องพิบูลย์ และคินเนี่ยวประจะ สำหรับชะอะວัด ที่มีแร่สเมกไทด์ คินส่วนใหญ่มีค่ากากถ้าจะสะสนบนตะแกรง 325 เมช สูง 7.22-27.27 ยกเว้นคินเนี่ยวท่าประจะและคินเนี่ยวท่าแม่ดี (< 5%) คินเกือนอกทุกแหล่ง มีปริมาณอนุภาคคินขนาดเล็กกว่า 2 ไมครอน สูงกว่า 50 % ยกเว้น คินเนี่ยว สำหรับร่องพิบูลย์ ที่มีค่าต่ำ (43.6%) นอกจากนี้ค่าเมทิลีนบูลูรินเด็กซ์ และค่านิพطاสติกของคินทุกแหล่งมีค่า 5.33-11.29 มิลลิอิควิวะเลนต์/100กรัม และ 18-34 ตามลำดับ คินส่วนใหญ่ต้องการน้ำที่ใช้ผสมเพื่อให้สามารถขึ้นรูปได้ 21.03-24 % ยกเว้นคินเนี่ยวชั้นบน สำหรับคินเนี่ยว ที่ต้องการน้ำผสมสูง 31 % เนื่องจากมีอนุภาคขนาดละเอียดมาก สำหรับค่าการหดตัวและความแข็งแรงของคินทุกแหล่ง มีค่า 5.48-8.12% และ 335.25-1,357 psi ตามลำดับ คินเนี่ยว สำหรับร่องพิบูลย์มีเหล่านี้ต่ำ เพราะมีปริมาณอนุภาคขนาดคอลลอกอฟต์(< 2 ไมครอน) น้อย คินทุกแหล่งมีช่วงการเผาที่ไม่กว้างนักและทนไฟได้สูงกว่า 1,200 องศาเซลเซียส ยกเว้นคินเนี่ยวชั้นบนท่าศาลา และคินเนี่ยวบ้านท่าเตียนที่ทนไฟได้ต่ำกว่านี้ คินหลังเผามีสีเหลืองอ่อนถึงน้ำตาลแดงเข้ม และมีสมบัติทึบที่ส่วนรถนำมายใช้เป็นวัสดุคุณภาพหรือส่วนผสมในการผลิตงานหัตถกรรมเครื่องปั้นดินเผาพื้นบ้าน

ABSTRACT

Clay of pottery factory in Nakhon Si Thammarat Province from different location i.e. *Top and under clay* in Thasala (TT and UT ,respectively) Mo-Ka-Lan clay body (MB) , Ban Ta Tien clay (BT) in Mueang, Ron Phibun clay (RP) in Ron Phibun ,Tha Pa Ja and Tha Sa Met clay (TJ and TM, respectively) in Cha-uat were investigated. In this study chemical and mineralogical composition, physical, forming, and fired properties were carried out in order to determine their specification for application in ceramic industry.

Result showed that in most clays contented silica and alumina in the range of 57.15 -74% and 20.62- 27.37 %, respectively,. Clays had amount of iron oxide and titanium oxide from 3.14 %.to 7.29 % resulted in reddish after firing. The amount of fluxing oxide alkaline (NaO_2 , K_2O) and alkaline earth (MgO and CaO) of all samples were quite low (2.27-3.48%), except in BT clay (5.20%).Clays presented the loss of ignition in the rang of 4.68% to 8.99% .The mineralogical composition found in the most of clays was kaolinite, quartz, and illite ,except for MB clay body , TJ and TM clay also had smectite. Most of clays displayed high amount of residue on 325 mesh sieve (7 -27 %), except these of TJ and TM clay (<5%). Clays contain high amount of particle less than 2 micron in diameter (>50 %), except for RP clay (42 %). All clays had methylene blue index and plastic index in the range of 5.33-11.29 meq./100 g and 20-34 ,respectively. Most of clays displayed moisture in the range of 21 % to 24 %, except this of TT clay (30.73%), due to high contain of colloid particle (< 2 micron). Clays presented green shrinkage and strength in the range of 5% to 8 % and 591-1344 psi, respectively which RP had low value in both properties because of small amount of colloid particle. Most of clays displayed not wide in the firing range and could withstand temperature higher than 1200 °C, except these of TT clay and BT clay (\leq 1200°C). After firing, color of all clays was light yellow to dark brown. The clays possess all the properties required to be raw materials for local earthenware products.

คำนำ

เอกสารเล่มนี้ได้จากการรวบรวมผลงานวิจัยในโครงการยกระดับคุณภาพวัดถูกต้องและผลิตภัณฑ์สำหรับอุตสาหกรรมเซรามิก ปีที่ 4 โดยดำเนินงานในแหล่งหัตถกรรมเครื่องปั้นดินเผาภาคใต้ 3 แหล่ง ในจังหวัดนครศรีธรรมราช ได้แก่ อำเภอเมือง อำเภอร่อนพิบูลย์ และอำเภอชุมแพ จังหวัดนครศรีธรรมราช โดยใช้ดินวัตถุดินจากทั้งหมด 7 แหล่ง คือ 1) ดินเหนียวชั้นบน จากแหล่งดิน อำเภอท่าศาลา 2) ดินเหนียวชั้นล่าง จากแหล่งดิน อำเภอท่าศาลา 3) บ้านท่าเดียน ตำบลปากพูน อำเภอเมือง 4) เนื้อดินปืน ตำบลโนคลาน อำเภอท่าศาลา 5) ดินเหนียว ตำบลคร่อนพิบูลย์ อำเภอร่อนพิบูลย์ 6) ดินเหนียว ตำบลท่าประจะ อำเภอชุมแพ 7) ดินเหนียว ตำบลท่าสมีด อำเภอชุมแพ ซึ่งการจัดทำเอกสาร มีวัตถุประสงค์เพื่อสรุปผลงานวิจัยและเผยแพร่ให้แก่ผู้ประกอบการ เจ้าหน้าที่ และผู้ที่สนใจทั่วไป เนื้อหา ในเล่มได้กล่าวถึง การวิจัยพัฒนาด้านต่างๆ มีทั้งกระบวนการเตรียมดินวัตถุดินและเนื้อดินปืน การขึ้นรูป ผลิตภัณฑ์ การพัฒนาและปรับปรุงกระบวนการผลิตผลิตภัณฑ์ การแก้ไขปัญหาความเสียหายของผลิตภัณฑ์ ตลอดจนการออกแบบและพัฒนาผลิตภัณฑ์

คณะกรรมการเป็นอย่างยิ่งว่า ความรู้ที่ได้จากการศึกษาระดับนี้จะเป็นประโยชน์ต่อการพัฒนา ผลิตภัณฑ์ ดินแคนดงของประเทศไทยสืบไป

คณะกรรมการ

สิงหาคม 2554.

กิตติกรรมประกาศ

คณะกรรมการวิจัยขอขอบพระคุณ สถาบันวิจัยวิทยาศาสตร์และเทคโนโลยีแห่งประเทศไทย ที่ให้การสนับสนุนทุนในการดำเนินการวิจัย ขอขอบพระคุณท่านที่ปรึกษาทุกท่านสำหรับคำแนะนำด้วยๆ ที่เป็นประโยชน์ยิ่ง ขอขอบพระคุณ ผู้ช่วยศาสตราจารย์ อรุพน วัฒนรังสรรค์ เป็นอย่างสูงสำหรับคำแนะนำในการพัฒนาเครื่องปั้นดินเผา โดยเฉพาะผู้มีรายชื่อต่อไปนี้

แหล่งหัดกรรมเครื่องปั้นดินเผา โรงอิฐ ตำบลปากพูน อำเภอเมือง จังหวัดนครศรีธรรมราช

1. นางไกรรา เข็มแดง
2. นางชนพร นพรัตน์
3. นายศักดิ์ เนียมทอง

แหล่งหัดกรรมเครื่องปั้นดินเผา บ้านสามร้อยกล้า ตำบลหินตก อำเภอร่อนพิบูลย์ จังหวัดนครศรีธรรมราช

1. นายบุญมา พานันต์

แหล่งหัดกรรมเครื่องปั้นดินเผา โรงอิฐ ตำบลชะลอด อำเภอชะลอด จังหวัดนครศรีธรรมราช

1. นางบุญให้ ลินปากินันท์
2. นายสมใจ ทักษิน

นอกจากนี้ ขอขอบพระคุณภาควิชาวัสดุศาสตร์ คณะวิทยาศาสตร์ จุฬาลงกรณ์มหาวิทยาลัยที่ได้ให้ความอนุเคราะห์ด้านเครื่องมือสำหรับทำการทดลองและนายสมคิด ทองศิลา ที่ให้ความช่วยเหลือในการทดลองเป็นอย่างดี ขอขอบคุณบุคลากรสำนักงานเลขานุการ สถาบันวิจัยโลหะและวัสดุ ใน การช่วยเหลือด้านเอกสารต่างๆ เป็นอย่างดี รวมทั้งขอขอบพระคุณผู้เกี่ยวข้องทุกท่านที่ไม่ได้อ่านนามไว้ในที่นี่ ที่ได้ให้ความช่วยเหลือ ให้โครงการฯ สามารถดำเนินการลุล่วงและสำเร็จไปได้ดีขึ้น

คณะกรรมการวิจัย

สิงหาคม 2554

สารบัญ

| | หน้า |
|---|-------|
| คณะผู้วิจัย | II |
| รายงานการศึกษา | IV |
| บทคัดย่อ | V |
| Abstract | VI |
| คำนำ | VII |
| กิตติกรรมประกาศ | VIII |
| สารบัญ | X |
| สารบัญตาราง | XII |
| สารบัญรูป | XVI |
| บทที่ 1 บทนำ | 1 |
| บทที่ 2 ข้อมูลเกี่ยวกับดินเหนียว | 3 |
| 2.1 ปัจจัยที่ควบคุมสมบัติของดินเหนียว | 4 |
| 2.2 สมบัติทางเคมีกิ่งของดินเหนียว | 5 |
| บทที่ 3 ขั้นตอนการเตรียมดินและวิธีการ | 7 |
| 3.1 การเตรียมตัวอย่างดิน | 7 |
| 3.2 การวิเคราะห์สมบัติทางเคมีของดิน | 9 |
| 3.3 การวิเคราะห์องค์ประกอบทางแร่ในดิน | 9 |
| 3.4 สมบัติทางกายภาพและเคมีกิ่งของดิน | 10 |
| 3.5 การวิเคราะห์ข้อมูล | 13 |
| บทที่ 4 ผลการศึกษาสมบัติของดินเหนียวต่อสุก | 15 |
| 4.1 ดินเหนียวที่มีลักษณะจากแหล่งดินอ้าเกอท่าศาลา จังหวัดนครศรีธรรมราช | 15 |
| 4.2 ดินเหนียวที่มีลักษณะจากแหล่งดินอ้าเกอท่าศาลา จังหวัดนครศรีธรรมราช | 24 |
| 4.3 ดินเหนียวที่มีลักษณะจากแหล่งดินอ้าเกอท่าศาลา จังหวัดนครศรีธรรมราช | 31 |
| 4.4 เนื้อดินเป็นโภคภาน อ้าเกอท่าศาลา จังหวัดนครศรีธรรมราช | 39 |
| 4.5 ดินเหนียว ต่ำบลร่องพิบูลย์ อ้าเกอร่องพิบูลย์ จังหวัดนครศรีธรรมราช | 46 |
| 4.6 ดินเหนียว ต่ำบลท่าประจะ อ้าเกอจะอวด จังหวัดนครศรีธรรมราช | 53 |
| 4.7 ดินเหนียว ต่ำบลท่าเสนีด อ้าเกอจะอวด จังหวัดนครศรีธรรมราช | 60 |

สารบัญ (ต่อ)

| | หน้า |
|--------------|------|
| บทที่ 5 สรุป | 67 |
| บรรณานุกรม | 71 |

สารบัญตาราง

หน้า

| | | |
|---------------|---|----|
| ตารางที่ 4.1 | แสดงผลวิเคราะห์องค์ประกอบทางเคมีรวมของคินเนียร์วัตถุดิบจาก คินเนียร์ชั้นบนจากแหล่งดิน อำเภอท่าศาลา จังหวัดนครศรีธรรมราช (โรงงานเครื่องปั้นดินเผาลุงศักดิ์) | 16 |
| ตารางที่ 4.2 | แสดงสมบัติทางกายภาพของคินเนียร์ชั้นบน จากแหล่งดิน อำเภอท่าศาลา จังหวัดนครศรีธรรมราช(โรงงานเครื่องปั้นดินเผาลุงศักดิ์) | 18 |
| ตารางที่ 4.3 | แสดงปริมาณความชื้นในแท่งดินรีด การหดตัวเมื่อแห้ง และความแข็งแรงเมื่อ แห้งของคินเนียร์ชั้นบน จากแหล่งดิน อำเภอท่าศาลา จังหวัดนครศรีธรรมราช (โรงงานเครื่องปั้นดินเผาลุงศักดิ์) | 19 |
| ตารางที่ 4.4 | แสดงค่าเฉลี่ยการหดตัวหลังเผา อัตราการดูดซึมน้ำ และความแข็งแรงหลังเผา ของคินเนียร์ชั้นบน จากแหล่งดิน อำเภอท่าศาลา จังหวัดนครศรีธรรมราช (โรงงานเครื่องปั้นดินเผาลุงศักดิ์) | 20 |
| ตารางที่ 4.5 | แสดงค่าการวัดสีดินก่อนเผาและหลังเผาที่อุณหภูมิต่างๆ ของคินเนียร์ ชั้นบน จากแหล่งดิน อำเภอท่าศาลา จังหวัดนครศรีธรรมราช (โรงงานเครื่องปั้นดินเผาลุงศักดิ์) | 22 |
| ตารางที่ 4.6 | แสดงผลวิเคราะห์องค์ประกอบทางเคมีรวมของคินเนียร์วัตถุดิบจาก คินเนียร์ชั้นล่าง จากแหล่งดิน อำเภอท่าศาลา จังหวัดนครศรีธรรมราช (โรงงานเครื่องปั้นดินเผาลุงศักดิ์) | 24 |
| ตารางที่ 4.7 | แสดงสมบัติทางกายภาพของคินเนียร์ชั้นล่าง จากแหล่งดิน อำเภอท่าศาลา จังหวัดนครศรีธรรมราช(โรงงานเครื่องปั้นดินเผาลุงศักดิ์) | 26 |
| ตารางที่ 4.8 | แสดงปริมาณความชื้นในแท่งดินรีด การหดตัวเมื่อแห้ง และความแข็งแรงเมื่อ แห้งของคินเนียร์ชั้นล่าง จากแหล่งดิน อำเภอท่าศาลา จังหวัด นครศรีธรรมราช (โรงงานเครื่องปั้นดินเผาลุงศักดิ์) | 27 |
| ตารางที่ 4.9 | แสดงค่าเฉลี่ยการหดตัวหลังเผา อัตราการดูดซึมน้ำ และความแข็งแรงหลังเผา ของคินเนียร์ชั้นล่าง จากแหล่งดิน อำเภอท่าศาลา จังหวัดนครศรีธรรมราช (โรงงานเครื่องปั้นดินเผาลุงศักดิ์) | 28 |
| ตารางที่ 4.10 | แสดงค่าการวัดสีดินก่อนเผาและหลังเผาที่อุณหภูมิต่างๆ ของคินเนียร์ ชั้นล่างจากแหล่งดิน อำเภอท่าศาลา จังหวัดนครศรีธรรมราช (โรงงานเครื่องปั้นดินเผาลุงศักดิ์) | 29 |

สารบัญตาราง (ต่อ)

หน้า

| | | |
|---------------|--|----|
| ตารางที่ 4.11 | แสดงผลวิเคราะห์องค์ประกอบทางเคมีรวมของดินเหนียวบ้านท่าเตียน ตำบลปากพูน อำเภอเมือง จังหวัดนครศรีธรรมราช(กลุ่มเครื่องปั้นดินเผาบ้านท่าเตียน) | 32 |
| ตารางที่ 4.12 | แสดงสมบัติภายในภาพของดินเหนียวบ้านท่าเตียน ตำบลปากพูน อำเภอเมือง จังหวัดนครศรีธรรมราช(กลุ่มเครื่องปั้นดินเผาบ้านท่าเตียน) | 34 |
| ตารางที่ 4.13 | ทดสอบปริมาณความชื้นในแท่งดินรีด การหดตัวเมื่อแห้ง และความแข็งแรงเมื่อแห้งของดินเหนียวบ้านท่าเตียน ตำบลปากพูน อำเภอเมือง จังหวัดนครศรีธรรมราช(กลุ่มเครื่องปั้นดินเผาบ้านท่าเตียน) | 35 |
| ตารางที่ 4.14 | ทดสอบค่าเฉลี่ยการหดตัวหลังเผา อัตราการดูดซึมน้ำ และความแข็งแรงหลังเผา ของดินเหนียวบ้านท่าเตียน ตำบลปากพูน อำเภอเมือง จังหวัดนครศรีธรรมราช (กลุ่มเครื่องปั้นดินเผาบ้านท่าเตียน) | 36 |
| ตารางที่ 4.15 | ทดสอบค่าการวัดสีดินก่อนเผาและหลังเผาที่อุณหภูมิต่างๆของดินเหนียวบ้านท่าเตียน ตำบลปากพูน อำเภอเมือง จังหวัดนครศรีธรรมราช (กลุ่มเครื่องปั้นดินเผาบ้านท่าเตียน) | 37 |
| ตารางที่ 4.16 | ทดสอบผลวิเคราะห์องค์ประกอบทางเคมีรวมของดินเหนียวตัดฉีดจากเนื้อดินปืน โนคลาน จังหวัดนครศรีธรรมราช | 39 |
| ตารางที่ 4.17 | ทดสอบสมบัติทางกายภาพของเนื้อดินปืน โนคลาน จังหวัดนครศรีธรรมราช | 41 |
| ตารางที่ 4.18 | ทดสอบปริมาณความชื้นในแท่งดินรีด การหดตัวเมื่อแห้ง และความแข็งแรงเมื่อแห้งของเนื้อดินปืน โนคลาน จังหวัดนครศรีธรรมราช | 42 |
| ตารางที่ 4.19 | ทดสอบค่าเฉลี่ยการหดตัวหลังเผา อัตราการดูดซึมน้ำ และความแข็งแรงหลังเผา ของเนื้อดินปืน โนคลาน จังหวัดนครศรีธรรมราช | 43 |
| ตารางที่ 4.20 | ทดสอบค่าการวัดสีดินก่อนเผาและหลังเผาที่อุณหภูมิต่างๆ ของเนื้อดินปืน โนคลาน จังหวัดนครศรีธรรมราช | 44 |
| ตารางที่ 4.21 | ทดสอบผลวิเคราะห์องค์ประกอบทางเคมีรวมของดินเหนียว อำเภอร่อนพินุลย์ จังหวัดนครศรีธรรมราช(โรงจอกยางบ้านสามร้อยก้าว) | 46 |
| ตารางที่ 4.22 | ทดสอบสมบัติทางกายภาพของดินเหนียว อำเภอร่อนพินุลย์ จังหวัดนครศรีธรรมราช(โรงจอกยางบ้านสามร้อยก้าว) | 48 |

สารบัญตาราง (ต่อ)

หน้า

| | | |
|---------------|---|----|
| ตารางที่ 4.23 | แสดงปริมาณความชื้นในแท่งคินเริด การทดสอบ และความแข็งแรงเมื่อแห้งของ ดินเหนียว สำหรับอ่อนพิบูลย์ จังหวัดนครศรีธรรมราช (โรงจอกยางบ้านสามร้อยกล้า) | 49 |
| ตารางที่ 4.24 | ทดสอบค่าเฉลี่ยการทดสอบหลังเผา อัตราการดูดซึมน้ำและความแข็งแรงหลังเผา ของดินเหนียว สำหรับอ่อนพิบูลย์ จังหวัดนครศรีธรรมราช (โรงจอกยางบ้านสามร้อยกล้า) | 50 |
| ตารางที่ 4.25 | ทดสอบค่าการวัดสีดินก่อนเผาและหลังเผาที่อุณหภูมิต่างๆ ของดินเหนียว สำหรับอ่อนพิบูลย์ จังหวัดนครศรีธรรมราช (โรงจอกยางบ้านสามร้อยกล้า) | 51 |
| ตารางที่ 4.26 | ทดสอบผลวิเคราะห์ของค์ประกอบทางเคมีรวมของดินเหนียวต่ำถูกดูบจาก ดินเหนียว สำบลท่าประจะ สำราญอาวด จังหวัดนครศรีธรรมราช (โรงอิฐรุ่งโภจน์) | 53 |
| ตารางที่ 4.27 | ทดสอบสมบัติกายภาพของดินเหนียว สำบลท่าประจะ สำราญอาวด จังหวัดนครศรีธรรมราช(โรงอิฐรุ่งโภจน์) | 55 |
| ตารางที่ 4.28 | ทดสอบปริมาณความชื้นในแท่งคินเริด การทดสอบหลังเมื่อแห้ง และความแข็งแรงเมื่อ แห้งของดินเหนียว สำบลท่าประจะ สำราญอาวด จังหวัดนครศรีธรรมราช (โรงอิฐรุ่งโภจน์) | 56 |
| ตารางที่ 4.29 | ทดสอบค่าเฉลี่ยการทดสอบหลังเผา อัตราการดูดซึมน้ำและความแข็งแรงหลังเผา ของดินเหนียว สำบลท่าประจะ สำราญอาวด จังหวัดนครศรีธรรมราช (โรงอิฐรุ่งโภจน์) | 57 |
| ตารางที่ 4.30 | ทดสอบค่าการวัดสีดินก่อนเผาและหลังเผาที่อุณหภูมิต่างๆ ของดินเหนียว สำบลท่าประจะ สำราญอาวด จังหวัดนครศรีธรรมราช(โรงอิฐรุ่งโภจน์) | 58 |
| ตารางที่ 4.31 | ทดสอบผลวิเคราะห์ของค์ประกอบทางเคมีรวมของดินเหนียว สำบลท่าสมเม็ด สำราญอาวด จังหวัดนครศรีธรรมราช(โรงจานชาวดคินทอง) | 60 |
| ตารางที่ 4.32 | ทดสอบสมบัติกายภาพของดินเหนียว สำบลท่าสมเม็ด สำราญอาวด จังหวัดนครศรีธรรมราช(โรงจานชาวดคินทอง) | 62 |

สารบัญตาราง (ต่อ)

หน้า

| | | |
|---------------|--|----|
| ตารางที่ 4.33 | แสดงปริมาณความชื้นในแท่งคินเริด การหดตัวเมื่อแห้ง และความแข็งแรงเมื่อแห้งของคินเหนียว สำหรับต่ำบล็อกท่าเสน่ด อําเภอชะอวะ จังหวัดนครศรีธรรมราช (โรงงานซะอะวดคินทอง) | 63 |
| ตารางที่ 4.34 | แสดงค่าเฉลี่ยการหดตัวหลังเผา อัตราการคุกซึมน้ำและความแข็งแรงหลังเผาของคินเหนียวสำหรับต่ำบล็อกท่าเสน่ด อําเภอชะอวะ จังหวัดนครศรีธรรมราช (โรงงานซะอะวดคินทอง) | 64 |
| ตารางที่ 4.35 | แสดงค่าการวัดสีคินก่อนเผาและหลังเผาที่อุณหภูมิต่าง ๆ ของคินเหนียว สำหรับต่ำบล็อกท่าเสน่ด อําเภอชะอวะ จังหวัดนครศรีธรรมราช(โรงงานซะอะวดคินทอง) | 65 |

สารบัญรูป

หน้า

| | | |
|------------|---|----|
| รูปที่ 3.1 | ขั้นตอนการเตรียมตัวอย่างดีนและวิธีการวิเคราะห์ทดสอบคินเนี่ยว์ดูดิน | 8 |
| รูปที่ 4.1 | กราฟแสดงการเดี้ยวบนของรังสีเอกซ์ องค์ประกอบเชิงแร่ของดินเหนียวชั้นบน จากแหล่งดิน อําเภอท่าศาลา จังหวัดนครศรีธรรมราช (โรงงานเครื่องปั้นดินเผาถุงศักดิ์) | 17 |
| รูปที่ 4.2 | กราฟแสดงความละอิคและการกระจายของอนุภาคคินเนี่ยว์ชั้นบน จากแหล่งดิน อําเภอท่าศาลา จังหวัดนครศรีธรรมราช (โรงงานเครื่องปั้นดินเผาถุงศักดิ์) | 18 |
| รูปที่ 4.3 | กราฟแสดงความสัมพันธ์ระหว่างการทดสอบด้วย ความแข็งแรง และการดูดซึมน้ำ หลังจากกําบดอุณหภูมิของดินเหนียวชั้นบน จากแหล่งดินอําเภอท่าศาลา จังหวัดนครศรีธรรมราช (โรงงานเครื่องปั้นดินเผาถุงศักดิ์) | 21 |
| รูปที่ 4.4 | ลักษณะสีดินก่ออําเภอด้วยหลังเพาที่อุณหภูมิต่างๆ ของดินเหนียวชั้นบน จากแหล่งดิน อําเภอท่าศาลา จังหวัดนครศรีธรรมราช (โรงงานเครื่องปั้นดินเผาถุงศักดิ์) | 23 |
| รูปที่ 4.5 | กราฟแสดงการเดี้ยวบนของรังสีเอกซ์ องค์ประกอบเชิงแร่ของดินเหนียวชั้นล่าง จากแหล่งดิน อําเภอท่าศาลา จังหวัดนครศรีธรรมราช (โรงงานเครื่องปั้นดินเผาถุงศักดิ์) | 25 |
| รูปที่ 4.6 | กราฟแสดงความละอิคและการกระจายของอนุภาคคินเนี่ยว์ชั้นล่าง จากแหล่งดิน อําเภอท่าศาลา จังหวัดนครศรีธรรมราช (โรงงานเครื่องปั้นดินเผาถุงศักดิ์) | 26 |
| รูปที่ 4.7 | กราฟแสดงความสัมพันธ์ระหว่างการทดสอบด้วย ความแข็งแรง และการดูดซึมน้ำ หลังจากกําบดอุณหภูมิของดินเหนียวชั้นล่าง จากแหล่งดินอําเภอท่าศาลา จังหวัดนครศรีธรรมราช (โรงงานเครื่องปั้นดินเผาถุงศักดิ์) | 28 |
| รูปที่ 4.8 | ลักษณะสีดินก่ออําเภอด้วยหลังเพาที่อุณหภูมิต่างๆ ของดินเหนียวชั้นล่าง จากแหล่งดิน อําเภอท่าศาลา จังหวัดนครศรีธรรมราช (โรงงานเครื่องปั้นดินเผาถุงศักดิ์) | 30 |
| รูปที่ 4.9 | กราฟแสดงการเดี้ยวบนของรังสีเอกซ์ องค์ประกอบเชิงแร่ของดินเหนียวชั้นล่าง ตามท่าเตียน ตำบลปากพูน อําเภอเมืองจังหวัดนครศรีธรรมราช (กลุ่มเครื่องปั้นดินเผาบ้านท่าเตียน) | 33 |

สารบัญรูป (ต่อ)

หน้า

| | | |
|-------------|---|----|
| รูปที่ 4.10 | กราฟแสดงความละเอียดและการกระจายของอนุภาคคืนเหนียวบ้านท่าเตียน ต่ำบลปากพูน อำเภอเมือง จังหวัดนครศรีธรรมราช (กลุ่มเครื่องปั้นดินเผาบ้านท่าเตียน) | 34 |
| รูปที่ 4.11 | กราฟแสดงความสัมพันธ์ระหว่างการหดตัว ความแข็งแรงและการดูดซึมน้ำ หลังเผากับอุณหภูมิของดินเหนียวบ้านท่าเตียน ต่ำบลปากพูน อำเภอเมือง จังหวัดนครศรีธรรมราช(กลุ่มเครื่องปั้นดินเผาบ้านท่าเตียน) | 36 |
| รูปที่ 4.12 | ลักษณะสีดินก่อนเผาและหลังเผาที่อุณหภูมิต่างๆของดินเหนียว บ้านท่าเตียน ต่ำบลปากพูน อำเภอเมือง จังหวัดนครศรีธรรมราช (กลุ่มเครื่องปั้นดินเผาบ้านท่าเตียน) | 38 |
| รูปที่ 4.13 | กราฟแสดงการเดี้ยวเบนของรังสีเอกซ์ องค์ประกอบเชิงแร่ของเนื้อดินปั้น ¹ ไมคลาน จังหวัดนครศรีธรรมราช | 40 |
| รูปที่ 4.14 | กราฟแสดงความละเอียดและการกระจายของอนุภาคเนื้อดินปั้น ไมคลาน จังหวัดนครศรีธรรมราช | 41 |
| รูปที่ 4.15 | กราฟแสดงความสัมพันธ์ระหว่างการหดตัว ความแข็งแรง และการ ดูดซึมน้ำหลังเผา กับอุณหภูมิของเนื้อดินปั้น ไมคลาน จังหวัดนครศรีธรรมราช | 43 |
| รูปที่ 4.16 | ลักษณะสีดินก่อนเผาและหลังเผาที่อุณหภูมิต่างๆ ของเนื้อดินปั้น ไมคลาน จังหวัดนครศรีธรรมราช | 45 |
| รูปที่ 4.17 | กราฟแสดงการเดี้ยวเบนของรังสีเอกซ์ องค์ประกอบเชิงแร่ของดินเหนียว อำเภอร่อนพิบูลย์ จังหวัดนครศรีธรรมราช (โรงจอกยางบ้านสามร้อยกล้า) | 47 |
| รูปที่ 4.18 | กราฟแสดงความละเอียดและการกระจายของอนุภาคคืนเหนียว อำเภอร่อนพิบูลย์ จังหวัดนครศรีธรรมราช (โรงจอกยางบ้านสามร้อยกล้า) | 48 |
| รูปที่ 4.19 | กราฟแสดงความสัมพันธ์ระหว่างการหดตัวหลังเผา ความแข็งแรงและการดูด ซึมน้ำ กับอุณหภูมิของดินเหนียว อำเภอร่อนพิบูลย์ จังหวัดนครศรีธรรมราช (โรงงานจอกน้ำยางบ้านสามร้อยกล้า) | 50 |
| รูปที่ 4.20 | ลักษณะสีดินก่อนเผาและหลังเผาที่อุณหภูมิต่างๆ ของดินเหนียว อำเภอร่อนพิบูลย์ จังหวัดนครศรีธรรมราช (โรงงานจอกยางบ้านสามร้อยกล้า) | 52 |

สารบัญรูป (ต่อ)

หน้า

| | | |
|-------------|---|----|
| รูปที่ 4.21 | กราฟแสดงการเดี่ยวบนของรังสีเอกซ์ องค์ประกอบเชิงแร่ของดินเหนียว ต่ำบลท่าประจจะ อําเภอชะอวด จังหวัดนครศรีธรรมราช(โรงอิฐรุ่งโรงน์) | 54 |
| รูปที่ 4.22 | กราฟแสดงความละเอียดและการกระจายของอนุภาคดินเหนียว ต่ำบลท่าประจจะ อําเภอชะอวด จังหวัดนครศรีธรรมราช(โรงอิฐรุ่งโรงน์) | 55 |
| รูปที่ 4.23 | กราฟแสดงความสัมพันธ์ระหว่างการหาดตัว ความแข็งแรงและการดูดซึมน้ำ หลังเพา กอุณหภูมิของแหล่งดินเหนียว ต่ำบลท่าประจจะ อําเภอชะอวด จังหวัดนครศรีธรรมราช(โรงอิฐรุ่งโรงน์) | 57 |
| รูปที่ 4.24 | ลักษณะสีดินก่อนเผาและหลังเผาที่อุณหภูมิต่างๆ แหล่งดินเหนียว ต่ำบลท่าประจจะ อําเภอชะอวด จังหวัดนครศรีธรรมราช(โรงอิฐรุ่งโรงน์) | 59 |
| รูปที่ 4.25 | กราฟแสดงการเดี่ยวบนของรังสีเอกซ์ องค์ประกอบเชิงแร่ของดินเหนียว ต่ำบลท่าแม่ดี อําเภอชะอวดจังหวัดนครศรีธรรมราช(โรงงานชะอวดดินทอง) | 61 |
| รูปที่ 4.26 | กราฟแสดงความละเอียดและการกระจายของอนุภาคดินเหนียว ต่ำบลท่าแม่ดี อําเภอชะอวด จังหวัดนครศรีธรรมราช(โรงงานชะอวดดินทอง) | 62 |
| รูปที่ 4.27 | กราฟแสดงความสัมพันธ์ระหว่างการหาดตัว ความแข็งแรงและการดูดซึมน้ำ หลังเผา กับอุณหภูมิของดินเหนียว ต่ำบลท่าแม่ดี อําเภอชะอวด จังหวัดนครศรีธรรมราช(โรงงานชะอวดดินทอง) | 64 |
| รูปที่ 4.28 | ลักษณะสีดินก่อนเผาและหลังเผาที่อุณหภูมิต่างๆ แหล่งดินเหนียว ต่ำบลท่าแม่ดี อําเภอชะอวด จังหวัดนครศรีธรรมราช(โรงงานชะอวดดินทอง) | 66 |

บทที่ 1

บทนำ

ดินเหนียว (clay) เป็นวัตถุดินหลักของเครื่องปั้นดินเผา คุณภาพของดินเหนียวจึงมีผลอย่างยิ่งต่อเครื่องปั้นดินเผาทั้งด้านคุณภาพและความสม่ำเสมอของผลิตภัณฑ์ แต่เนื่องจากในธรรมชาติของดินเหนียวแต่ละแหล่งหรือแม้แต่ในแหล่งเดียวกัน จะมีสมบัติที่แตกต่างกันขึ้นกับวัตถุต้นกำเนิดและสิ่งแวดล้อม จึงทำให้ดินเหนียวมีคุณภาพที่หลากหลาย ดังนั้นจึงมีความจำเป็นอย่างยิ่งที่ผู้ผลิตทั้งขนาดครัวเรือนและขนาดใหญ่ ควรทราบสมบัติพื้นฐานของดินเหนียวที่สำคัญ อาทิ องค์ประกอบทางเคมี ชนิดแร่ องค์ประกอบ การกระจายตัวของขนาดอนุภาค สมบัติการขึ้นรูป สมบัติหลังการเผา เพื่อให้สามารถควบคุมการผลิตและคุณภาพผลิตภัณฑ์ให้ได้ตามต้องการ

การตรวจสอบสมบัติของดินเหนียวอาจใช้วิธีการแบบภูมิปัญญาชาวบ้านซึ่งทำได้ง่ายและรวดเร็ว สามารถทดสอบได้ในภาคสนาม กับการวิเคราะห์ในห้องปฏิบัติการซึ่งมีอุปกรณ์และขั้นตอนขั้นซ้อนแต่มีความถูกต้องแม่นยำสูงกว่า เป็นที่ยอมรับของอุตสาหกรรมและวิชาการในวงการเซรามิกอย่างไรก็ตาม การตรวจสอบสมบัติของดิน ไม่ว่าเป็นแบบใด ความสำคัญอยู่ที่สามารถนำผลการทดสอบมาสื่อให้ถึงคุณภาพของดินวัตถุดิน เพื่อให้สามารถนำมาใช้ในการผลิตได้อย่างเหมาะสม

ในโครงการวิจัยนี้จึงมีวัตถุประสงค์เพื่อตรวจสอบสมบัติและคุณภาพของดินเหนียววัตถุดินทั้ง 7 แหล่ง คือ

1. ดินเหนียวชั้นบน จากแหล่งดิน อำเภอท่าศาลา จังหวัดนครศรีธรรมราช
2. ดินเหนียวชั้นล่าง จากแหล่งดิน อำเภอท่าศาลา จังหวัดนครศรีธรรมราช
3. ดินเหนียวบ้านท่าเตียน ตำบลปากพูน อำเภอเมือง จังหวัดนครศรีธรรมราช
4. เนื้อดินปืน โภคลาน อ่าเภอท่าศาลา จังหวัดนครศรีธรรมราช
5. ดินเหนียว ตำบลร่อนพิบูลย์ อำเภอร่อนพิบูลย์ จังหวัดนครศรีธรรมราช
6. ดินเหนียว ตำบลท่าประจะ อำเภอชะอวด จังหวัดนครศรีธรรมราช
7. ดินเหนียว ตำบลท่าสมเม็ด อำเภอชะอวด จังหวัดนครศรีธรรมราช

ซึ่งข้อมูลสมบัติดินที่ได้จะเป็นประโยชน์ในการนำไปพัฒนาผลิตภัณฑ์ เป็นข้อมูลให้กับภาคอุตสาหกรรมเซรามิก หรือใช้อ้างอิงในเชิงวิชาการต่อไป

บทที่ 2

ข้อมูลเกี่ยวกับดินเหนียว

วัตถุคือในการผลิตเครื่องปั้นดินเผาสามารถจำแนกตามลักษณะทางกายภาพซึ่งต้องการนำไปใช้งาน ได้เป็น 3 กลุ่ม คือ กลุ่มที่ช่วยในการขึ้นรูป ได้แก่ ดินเหนียวหรือวัตถุคือที่มีความเหนียวซึ่งต้องสามารถเปลี่ยนรูปได้ง่าย และไม่แตกหัก (deform easily and without rupture) สามารถคงรูปร่างหลังการขึ้นรูป มีความแข็งแรงหลังหักเพียงพอที่น้ำสู่กระบวนการขันตอนต่อไป กลุ่มสารคดอุณหภูมิในการเผา (flux) ช่วยทำให้เกิดเนื้อแก้ว เมื่อทำปฏิกิริยา กับสารอื่นๆ ในขณะที่เผา ทำให้เพิ่มความแข็งแรงให้กับผลิตภัณฑ์ และกลุ่มวัสดุที่ไม่มีความเหนียว (non-plastic materials) ช่วยเพิ่มความแข็งแรงให้กับผลิตภัณฑ์ นอกจากนี้อาจมีผลต่อสมบัติทางฟิสิกส์บางประการ อาทิ ความแข็งแรง (Allen Dinsdale, 1986) ในบรรดาสิ่งที่กล่าวมาแล้วข้างต้น ดินเป็นวัตถุคือหลักในการผลิตเครื่องปั้นดินเผา เนื่องจากผลิตภัณฑ์เครื่องปั้นดินเผามีส่วนผสมของเนื้อดิน โดยน้ำหนักตั้งแต่ร้อยละ 50 ขึ้นไป ดังนั้นคุณภาพของดินจึงมีบทบาทที่สำคัญในควบคุมคุณลักษณะผลิตภัณฑ์ ด้านต่างๆ อาทิ สี ความแข็งแรง เนื้อ ความละเอียดของผลิตภัณฑ์

ดินวัตถุคือที่ใช้เตรียมเนื้อดินปั้นในอุตสาหกรรมเซรามิก (ไพจิตร, 2541; พิกุลทอง, 2541; ปรีดา, 2540; อาญวัฒน์, 2543) ประกอบด้วย ดินขาว (kaolin, china clay) ดินเหนียว (clay) ดินบล็อกเคลย์ (ball clay) และดินเบนโทไนต์ (bentonite) อย่างไรก็ตามสำหรับผลิตภัณฑ์เครื่องปั้นดินเผาที่ต้องการสี ธรรมชาติและเครื่องปั้นดินเผาเป็นรากน้ำดินที่ใช้เป็นวัตถุคือหลักคือ ดินเหนียว และดินบล็อกเคลย์ สำหรับดินเหนียวเป็นดินเนื้อละเอียดที่มีแร่ธาตุเจือปนอยู่ค่าธรรมชาติค่อนข้างสูง ไม่บริสุทธิ์เหมือนดินขาว เมื่อขุดพบมีสีต่างๆ เช่น สีเหลือง สีเทา สีดำ หรือสีเข้มแดงหลังการเผาดินก็จะมีสีต่างๆ กันไป เช่น สีเทา สีน้ำตาล สีแดง หรือสีเหลือง ส่วนดินบล็อกเคลย์ เกิดจากการเคลื่อนข้ายของตะกอนดินหรือการพัดพาตะกอนดิน (sedimentary clay) ที่มีอนุภาคขนาดเล็ก ไปตกตะกอนสะสมในแหล่งใหม่ ดินบล็อกเคลย์ เป็นดินที่มีขนาดอนุภาคละเอียดมากจะขัดเค็มกัน ได้ มีสารอินทรีย์เจือปนอยู่สูงจึงช่วยให้ดินชนิดนี้มีความเหนียวและทำให้มีสีเปลี่ยนไปจากสีขาวกลายเป็นสีเทาจนถึงสีดำ แต่เมื่อนำไปเผาในอุณหภูมิสูง เนื้อดินจะมีสีขาวหรือสีครีม เนื่องจากสารอินทรีย์ต่างๆ จะถูกเผาไหม้หมดไปจากเนื้อดิน ดินบล็อกเคลย์ จัดว่าเป็นดินเหนียวประเภทหนึ่งด้วยแต่ดินบล็อกเคลย์แตกต่างจากดินเหนียวคือ ดินบล็อกเคลย์มีแร่ธาตุเจือปนอยู่ในปริมาณต่ำค่อนข้างบริสุทธิ์ แต่ดินเหนียวทั่วไปมีสารอินทรีย์เจือปนอยู่สูง ดินบล็อกเคลย์บางชนิดมีความเหนียวมาก บางชนิดเหนียวมาก ดินบล็อกเคลย์แต่ละแหล่งมีสีด้วยกัน ดินบล็อกเคลย์ที่แตกต่างกัน (Ryan และคณะ, 1989)

ปกติดินบอลเคลย์มีความละอียดมาก มีความเหนียวตื้อ เมื่อแห้งหรือเผาจะมีความแข็งแกร่ง ดินบอลเคลย์ที่ได้จากแหล่งที่มีชิลิกาสูงจะมีเรငินลดลง ค่าความเหนียว การหดตัวและความแข็งแรงก่อนเผาจึงน้อยกว่าดินบอลเคลย์ที่มีลูมินาสูง ค่าการหดตัวของดินบอลเคลย์ที่เหมาะสมสำหรับการทำผลิตภัณฑ์เครื่องปั้นดินเผารวมค่าการหดตัวเชิงเส้นไม่เกิน 12 เปอร์เซ็นต์ (Ryan และคณะ, 1989) ปัจจัยที่มีผลต่อการหดตัวมากจากอนุภาคขนาดละเอียดแล้ว ชนิดของแทบทอ้อนก็มีผลเช่นกัน โดยดินที่มี Ca^{2+} , Mg^{2+} และ H^+ จะมีการหดตัวมากกว่าดินที่มี Na^+ และ K^+ นอกจากนี้แทบทอ้อนยังมีผลต่อความแข็งแรง คือ ดินที่มี Ca^{2+} , Mg^{2+} และ H^+ จะมีความแข็งแรงน้อยกว่าดินบอลเคลย์ที่มี Na^+ และ K^+

2.1 ปัจจัยที่ควบคุมสมบัติของดินเหนียว

2.1.1 องค์ประกอบของแร่ดิน

แร่ดินเป็นองค์ประกอบสำคัญที่ทำให้ดินมีความเหนียวสามารถขึ้นรูปได้และทำให้ผลิตภัณฑ์ก่อนเผามีความแข็งแรงเพื่อนำไปผ่านขั้นตอนต่างๆ ระหว่างการขึ้นรูปและการเผาได้อย่างปลอดภัย แร่ดินที่พบในดินเหนียวส่วนใหญ่คือ แร่เคลโลไนต์ นอกจากนี้ก็มีแร่ดินอื่นๆ ได้แก่ แร่มอนต์มอริลโลไนต์ แร่อิลไลต์ แร่คลอไรต์ แร่ดินแต่ละชนิดมีสมบัติและโครงสร้างที่แตกต่างกัน ดินเหนียวที่มีชนิดและปริมาณแร่เหล่านี้แตกต่างกันก็มีสมบัติแตกต่างกัน อาทิ ดินเหนียวที่มีมอนต์มอริลโลไนต์ ผสม 15-25 เปอร์เซ็นต์ จะทำให้แห้งช้า มีการหดตัวมากจึงแตกได้ง่าย แร่อิลไลต์ มอนต์มอริลโลไนต์ และแร่คลอไรต์ ทำให้ช่วงการสูญตัวของดินเหนียวแตกกว่าแร่เคลโลไนต์ ในการเผาจึงต้องมีการควบคุมเตาอย่างระมัดระวัง เป็นต้น

2.1.2 องค์ประกอบของแร่ที่ไม่ใช่แร่ดิน

องค์ประกอบของแร่ที่ไม่ใช่แร่ดินมีความสำคัญในการนำดินเหนียวมาใช้ประโยชน์ได้แก่ ปริมาณเคลไซต์ (calcite) และไฟโรต์ (pyrite) เพียงเล็กน้อยอาจทำให้ลดคุณภาพดินเหนียวที่นำมาใช้งานด้านเชร์รามิก ดังนั้นการวิเคราะห์ให้ทราบชนิดและปริมาณของแร่ที่ไม่ใช่แร่ดิน จึงเป็นสิ่งสำคัญอย่างหนึ่ง ก่อนที่จะทราบว่าดินเหนียวนั้นมีสมบัติการใช้งานอย่างไร

2.1.3 ปริมาณสารอินทรีย์

สารอินทรีย์พบได้เสมอในดิน โดยอาจเป็นเศษชิ้นส่วนหรือคุดชับอยู่บนผิวของอนุภาคปริมาณสารอินทรีย์สามารถวิเคราะห์ด้วยวิธีเคมี สารอินทรีย์เพียงเล็กน้อยสามารถทำให้เกิดสีในดินและบางชนิดทำให้เกิดการแตกเปลี่ยนเบสมากขึ้น

2.1.4 ความสามารถในการแตกเปลี่ยนไออกอนและเกลือที่ละลายน้ำได้

การแตกเปลี่ยนไออกอนหรือเกลือที่ละลายน้ำได้ในดินมีผลต่อสมบัติการใช้งานของดินอย่างมาก เกลือบางชนิดทำให้ดินแตกหักและยากต่อการทำให้กระหายตัว ซึ่งเป็นสิ่งจำเป็นในอุตสาหกรรมเซรามิกและเคมี สำหรับในอุตสาหกรรมเซรามิก การแตกเปลี่ยนไออกอนส่งผลต่อสมบัติของดินหลายประการ เช่น ความเหนียว สมบัติหลังการอบแห้งและสมบัติหลังเผา

2.1.5 เทกซ์เจอร์ (texture)

เทกซ์เจอร์เป็นอิเกปัจจัยหนึ่งที่มีผลต่อสมบัติของดิน เทกซ์เจอร์กำหนดโดยความสัมพันธ์ระหว่างเกรนกับเกรนในดิน ซึ่งเกี่ยวข้องกับลักษณะการกระจายขนาดอนุภาค (particle size distribution) รูปร่างของอนุภาค และการเรียงตัวของอนุภาคขนาดอนุภาคของดินหนี่ยวนเป็นสมบัติที่สำคัญในการนำดินหนี่ยวนไปใช้ประโยชน์ในด้านเซรามิก

ในบรรดาตัวตุณิตที่ใช้ในผลิตภัณฑ์เซรามิก ดินนั้นได้ว่ามีบทบาทสำคัญในการควบคุม สมบัติ ที่แสดงคุณลักษณะของผลิตภัณฑ์ และสมบัติของดินดัง ๆ จะขึ้นอยู่กับธรรมชาติและสัดส่วน ของสิ่งเจือปน ดังนั้นในการนำดินมาใช้เป็นวัตถุตุณิตในการผลิตผลิตภัณฑ์จะจำเป็นต้องศึกษาและเข้าใจ ถึงสมบัติของดินต่าง ๆ เพื่อให้เกิดความเป็นประโยชน์ต่อการควบคุมการผลิตให้ได้ผลิตภัณฑ์ที่มี คุณภาพตามต้องการ และลดความเสียหายในกระบวนการผลิต (สถาบันวิจัยโลหะและวัสดุ, 2545 และ สถาบันวิจัยโลหะและวัสดุ, 2546)

2.2 สมบัติทางเซรามิกบางประการของดินหนี่ยวน

ดินหนี่ยวนแต่ละแหล่งมีสมบัติที่หลากหลาย ใน การนำดินหนี่ยวนมาใช้ในด้านเซรามิกนั้น มี สมบัติทางเซรามิกบางประการของดินหนี่ยวนที่ควรคำนึงถึง (Gillson, 1960) ดังนี้

2.2.1 ความแข็งแรง (strength)

ความแข็งแรงของดินและเนื้อดินปั้นในทางเซรามิกทั้งก้อนผาและหลังผา เป็นสมบัติที่ สำคัญซึ่งมีอิทธิพลต่อกรรมวิธีการผลิตผลิตภัณฑ์เซรามิกและการนำผลิตภัณฑ์ไปใช้ประโยชน์ อาทิ ผลิตภัณฑ์ดินที่ไม่แข็งแรงอาจเกิดความเสียหายเนื่องจาก การแตกหักระหว่างการเคลื่อนย้ายหรือผา ความแข็งแรงของดินหนี่ยวนสัมพันธ์โดยตรงกับจำนวนอนุภาคที่มีขนาดเล็ก รูปร่างของอนุภาค และ ระดับของการ ไฮเดรชัน (hydration) ของอนุภาคคลอสโอลิเต้และปริมาณอนต์มอริลโลไนต์ (montmorillonite) ความแข็งแรงวัดได้จากการดึง (tension) การกด (compression) หรือการวัดความต้าน แรงขวาง (transverse)

2.2.2 การหดตัว (shrinkage)

การหดตัวของดินและผลิตภัณฑ์เซรามิกเกิดขึ้นทั้งระหว่างกระบวนการอบแห้งและการ เผา การหดตัวนอกจากมีผลทั้งต่อน้ำดองผลิตภัณฑ์สำเร็จแล้วยังมีอิทธิพลต่อการเกิดแตกร้าวหรือ การบิดเบี้ยวของผลิตภัณฑ์ในกรณีที่ผลิตภัณฑ์มีการหดตัวมากหรือเกิดขึ้นเร็วเกินไป การหดตัว หลัง การอบแห้งขึ้นกับปริมาณน้ำในเนื้อดินปั้น ลักษณะเฉพาะของแร่ดินและปริมาณอนุภาคคลอสโอลิเต้ใน ดิน การหดตัวหลังการอบแห้งจะสูงในดินที่มีความหนี่ยวนหรือดินที่มีการพองตัวซึ่งอาจทำให้เกิดการ แตกหักหรือโค้งงอตัว การหดตัวมีค่าต่ำในดินที่มีทรัพยากราก แต่ผลิตภัณฑ์ที่อบแห้งไม่แข็งแรงและมีรูพรุน มาก การหดตัวหลังการเผาขึ้นกับปริมาณสารที่ถลายน้ำในขณะเผา นอกจากนี้ยังเป็นผลจากการเปลี่ยน โครงสร้างของผลึก การขัดน้ำในโครงสร้างของเร่ดินและสมบัติด้านความหนืดหรือแรงตึงผิว

2.2.3 ช่วงอุณหภูมิการเกิดเนื้อแก้ว (temperature range of vitrification)

ในการเผาดินเหนียวหรือผลิตภัณฑ์เซรามิก สิ่งสำคัญอย่างหนึ่งที่ต้องคำนึงก็คือ ช่วงอุณหภูมิการเกิดเนื้อแก้ว ซึ่งเป็นผลจากแรงค์ประกอบในดินหลอมละลายเมื่อได้รับความร้อนสูงเพียงพอ ดินเหนียวที่มีช่วงอุณหภูมิการเกิดเนื้อแก้วสั้น ต้องระมัดระวังในการเพิ่มอุณหภูมิ และเตาเผาต้องมีความแม่นยำสูง เพื่อลดความเสียหายของผลิตภัณฑ์ซึ่งอาจมีการบวมเมื่อเผาที่อุณหภูมิสูงเกินไป การเกิดเนื้อแก้วในดินจะขึ้นกับชนิดของแร่ดินและสารประกอบฟลักซ์ชิงออกไซด์ (Fluxing oxide) อาทิ โซเดียมออกไซด์ (Na_2O) โพแทสเซียมออกไซด์ (K_2O) แคลเซียมออกไซด์ (CaO) และแมgnesiunออกไซด์ (MgO)

2.2.4 สี (color)

สีเป็นสมบัติอย่างหนึ่งที่ต้องคำนึงเมื่อจะเลือกดินมาใช้งานด้านเซรามิก สำหรับการเกิดสีของดินทั้งก้อนและหลังเผานั้นเกิดจากอิทธิพลหลายประการ แต่เหล็กออกไซด์เป็นสารประกอบที่มีผลเด่นชัดที่สุด สีของผลิตภัณฑ์ขึ้นอยู่กับขั้นตอนของการเผา อาทิ อุณหภูมิการเผา และระดับ การเกิดเนื้อแก้ว ดินที่เผาแล้วให้สีขาวจะต้องมีเหล็กออกไซด์ไม่เกิน 1 เปอร์เซ็นต์ สีเหลืองอ่อน มีเหล็กออกไซด์ 1-5 เปอร์เซ็นต์ ส่วนดินที่เผาแล้วให้สีแดงต้องมีเหล็กออกไซด์มากกว่า 5 เปอร์เซ็นต์

บทที่ 3

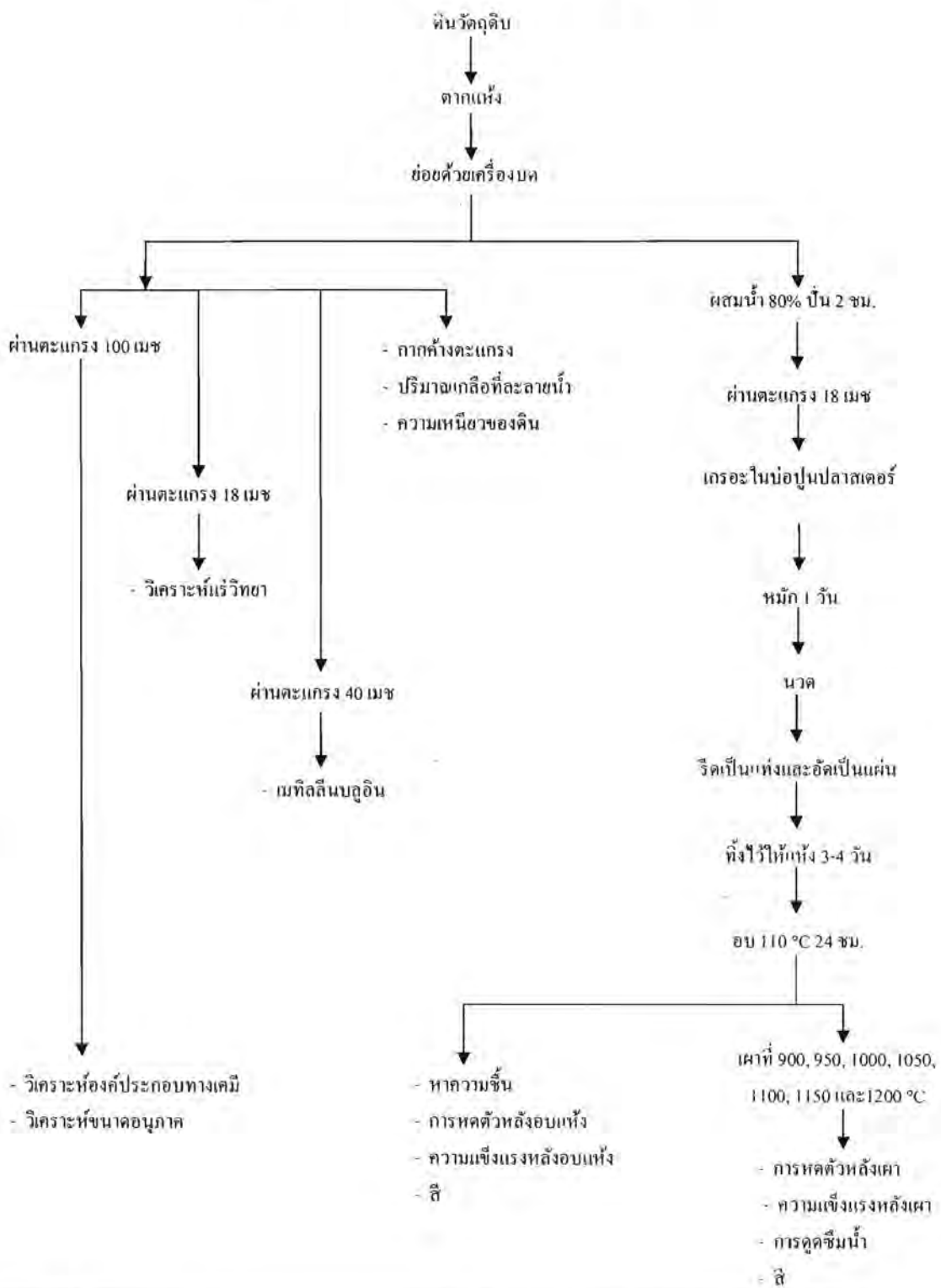
ขั้นตอนการเตรียมดินและวิธีการ

3.1 การเตรียมตัวอย่างดิน

3.1.1 เก็บตัวอย่างดินเพื่อทำการศึกษาและวิเคราะห์ทดสอบในแต่ละพื้นที่ในบริเวณที่กำหนดซึ่งเป็นคืนเหนียวที่ชาวบ้านใช้เป็นแหล่งวัตถุคินในปัจจุบัน ขั้นตอนการเตรียมตัวอย่างดินและวิธีการวิเคราะห์ทดสอบดิน แสดงดังรูปที่ 3.1

3.1.2 การเตรียมเนื้อดินบีบเพื่อขึ้นรูปเป็นแท่งทดสอบ นำดินที่ผ่านการบดหยาบจากเครื่องบด jaw crusher เตรียมน้ำดิน โดยนำดินที่ร่อนผ่านตะกรงเบอร์ 18 เมมมาพสมน้ำ โดยใช้อัตราส่วนน้ำร้อยละ 80 โดยน้ำหนัก ปั๊นให้ดินกระจายตัวอย่างน้อย 2 ชั่วโมง และเกรอจะในบ่อปูนปลาสเตอร์เพื่อให้ปูนปลาสเตอร์ดูดน้ำจากน้ำดิน หมักเนื้อดินบีบที่ได้จากการเกรอจะทั่งไว้ประมาณ 1 วัน ทดสอบจับเนื้อดินถ้าเนื้อดินไม่ติดมือแสดงว่าสามารถนำไปวนได้ เมื่อนำไปประกันดินมีความเหนียวและสามารถขึ้นรูปได้นำไปรีดเป็นแท่งดินทดสอบขนาดเส้นผ่านศูนย์กลางประมาณ 1 เมนติเมตร โดยใช้เครื่องรีด (extruder) และขึ้นรูปเป็นแผ่นสี่เหลี่ยมขนาด 4×4 เซนติเมตร โดยใช้เครื่องอัดชิ้นงาน หลังจากแห้งนำไปอบแห้งที่ 110 องศาเซลเซียส นาน 24 ชั่วโมง จากนั้นนำแท่งดินมาศึกษาสมบัติต่าง ๆ คือความชื้นในแท่งดินรีด (moisture content) ความแข็งแรงหลังการอบแห้ง (dry strength) การหดตัวหลังการอบแห้ง (dry shrinkage) และวัดสีของดินดิน

ขั้นตอนการเตรียมดินและวิธีการวิเคราะห์ดิน



โครงการยกระดับ
คุณภาพดินและผลิตภัณฑ์
สู่มาตรฐานโลกเข้ามิถุนายน 2553

รูปที่ 3.1 ขั้นตอนการเตรียมตัวอย่างดินและวิธีการวิเคราะห์ทดสอบดินหนี่งวิวัฒนาดิน

3.1.3 แท่งดินทดสอบหลังผ่านการอบแห้งสำหรับวัดอุณหภูมิต่าง ๆ คือ 900, 950, 1,000, 1,050, 1,100, 1,150 และ 1,200 องศาเซลเซียส นำไปทดสอบสมบัติหลังเผา ประกอบด้วย การทดสอบด้วย การทดสอบด้วยการเผา การคูดซึ่มน้ำ ความแข็งแรงหลังการเผาและการเปลี่ยนแปลงของสีหลังการเผาที่ สำหรับการวัดสี ด้วย เครื่อง colorimeter ต้องขึ้นรูปเป็นแผ่นสีเหลี่ยมขนาด 4×4 เซนติเมตร วัดสีหลังเผาที่อุณหภูมิต่าง ๆ เทียบกับสีมาตรฐานของเครื่องวัดสี

3.2 การวิเคราะห์สมบัติทางเคมีของดิน

3.2.1 ปริมาณธาตุรวม (total analysis) ของธาตุ Si, Al, Fe, Ti, Na, Mg, K, Ca, S และ Cl ในดิน โดยวิธี X-ray fluorescence spectrometry (Jones, 1987)

3.2.2 ค่าความจุแลกเปลี่ยน ไอออนบวก (cation exchange capacity) โดยใช้วิธีการคูดซับสีของ เมทิลีนบลูอินเด็กซ์ (methylene blue index) (ASTM C837-81)

3.2.3 การทดสอบปริมาณชัลเพตในสารละลายโดยเทคนิค turbid metric method โดยวัดความ浑浊 ของตะกอน BaSO_4 ที่เกิดขึ้นด้วยเครื่อง spectrophotometer (ทัศนิย์ และ จรรยา, 2542)

3.3 การวิเคราะห์องค์ประกอบทางแร่ในดิน

การวิเคราะห์ชนิดและปริมาณของแร่ดินเหนียว (clay minerals) ที่มีขนาดอนุภาคของดินเล็กกว่า 2 ไมโครเมตร โดยวิธีการเลือบบนของรังสีเอกซ์ (X-ray diffraction analysis) (ศรีไนล, 2546; Jackson, 1965; Whittig, 1965) วิธีการเตรียมตัวอย่างอนุภาคดินเหนียว มีขั้นตอนการทำดังนี้

3.3.1 นำตัวอย่างอนุภาคดินเหนียวที่ได้จากการวิเคราะห์การกระจายขนาดของอนุภาคดินมา หยดบนแผ่นเซรามิก (ceramic plate) โดยการ suction จนอนุภาคดินเหนียวที่ตกตะกอนบนแผ่นเซรามิก มีความหนาพอโดยทำ 2 แผ่น แผ่นที่หนึ่งทำให้อิ่มตัวในสารละลายโดยใช้โพแทสเซียมคลอไรด์เข้มข้น 1 N หยดบนแผ่นเซรามิกที่มีอนุภาคดินเหนียวประมาณ 3 กรัม แล้วล้างด้วยน้ำก้อนลับเพื่อล้างโพแทสเซียม คลอไรด์ที่มีมากเกินออกให้หมด (ล้างประมาณ 3 กรัม) แล้วล้างล้างด้วย ethyl alcohol จำนวน 1 กรัม ส่วน แผ่นที่สองทำให้อิ่มตัวด้วยแมกนีเซียม โดยใช้แมกนีเซียมคลอไรด์เข้มข้น 1 N โดยมีขั้นตอนการทำเหมือนแผ่นที่หนึ่ง

3.3.2 แผ่นเซรามิกที่มีอนุภาคดินเหนียวอิ่มตัวด้วยโพแทสเซียมคลอไรด์ หลังจากที่หานิดและปริมาณของแร่ดินเหนียวโดยวิธีการเดี่ยวบนของรังสีเอกซ์ที่อุณหภูมิห้องแล้วนำไปเผาในเตาเผา (muffle furnace) ที่อุณหภูมิ 550 องศาเซลเซียส นาน 2 ชั่วโมงแล้วทำการให้เย็นใน desiccator แล้วนำมาวิเคราะห์โดยวิธีการเดี่ยวบนของรังสีเอกซ์ อีกครั้งหนึ่ง

3.3.3 แผ่นเซรามิกที่มีอนุภาคดินเหนียวอิ่มตัวด้วยแมกนีเซียมคลอไรด์ หลังจากที่หานิดและปริมาณของแร่ดินเหนียวโดยวิธีการเดี่ยวบนของรังสีเอกซ์ที่อุณหภูมิห้องแล้วนำไปเผาในเตาเผา (muffle furnace) ที่อุณหภูมิ 550 องศาเซลเซียส นาน 2 ชั่วโมงแล้วทำการให้เย็นใน desiccator แล้วนำมาวิเคราะห์โดยวิธีการเดี่ยวบนของรังสีเอกซ์ อีกครั้งหนึ่ง

3.3.4 หลังจากนั้นนำผลที่ได้ไปเปรียบเทียบกับชนิดของแร่มาตรฐาน (standard minerals) (Whittig, 1965) และประเมินหาปริมาณของแร่ชนิดต่างๆ โดยวิธี relative peak height และ relative peak area (Jackson, 1965; Brindley and Brown, 1980)

3.4 สมบัติทางกายภาพและเซรามิกบางประการ

3.4.1 การกระจายความละเอียดของอนุภาค (particle size distribution) วิเคราะห์ทดสอบด้วยเครื่อง particle size analyzer โดยเทคนิค sedimentation method (ASTM C1182-91) เพื่อศึกษาการกระจายความละเอียดของขนาดอนุภาค ผลที่ได้จากการทดสอบนำมาแจกแจงประเภทของเนื้อดิน

3.4.2 ทดสอบความเหนียวของเนื้อดิน ใช้วิธีดังนี้

การวิเคราะห์หาค่าพลาสติกจำกัด(Attenberg method)ตามวิธี ASTM D-4318-00

1) นำดินตัวอย่างทุบให้ละเอียดคัดขนาดผ่านตะแกรงร่อนขนาด อบไถความชื้นที่อุณหภูมิ 110 องศาเซลเซียส นาน 1 คืน

2) ชั่งดินตัวอย่างปริมาณ 200 กรัม เติมน้ำลงไปที่กระถางอย่างพอสมใจแล้วกันด้วยมีดป่าดแทนเดส

3) ตักดินที่ผสมเข้ากันดีแล้วใส่ลงในถ้วยทองเหลืองสำหรับทดสอบปิดหน้าให้สนิทสนมโดยระดับของหน้าดินสูงจากก้นถ้วย 1 เซนติเมตร

4) ใช้อุปกรณ์มาตรฐานปั๊คให้ดินเป็นร่องตรงกลาง

5) เริ่มน้ำหนุนให้กับถ้วยเคาะกับพื้นในอัตราเร็ว 2 ครั้งต่อนาที ทำการหมุนและนับจำนวนเคาะไปเรื่อยๆ โดยสังเกตบริเวณร่อง เมื่อเนื้อดินเดือนลงมาชนกันมีความขาว 1 เซนติเมตร ให้หยุดหมุนและดูบันทึกจำนวนเคาะ (ถ้าหากจำนวนเคาะเกิน 55 ครั้งให้นำดินมาทดสอบน้ำใหม่แล้วเริ่มการทดลองตามขั้นตอนที่ 3) ตักดินตัวอย่างบริเวณที่ร้อยปีดินกันไว้ถ้วยแล้วชั่งน้ำหนักก่อนและหลังนำไปอบที่ 110 องศาเซลเซียส เพื่อหาปริมาณน้ำในดิน

6) นำดินตัวอย่างจากขั้นตอนที่ 5 มาเติมน้ำเพิ่มแล้วเริ่มทำการทดลองซ้ำอีก 3 ครั้ง ในขั้นตอนที่ 3 โดยให้จำนวนเคาะแต่ละครั้งลดลงอยู่ในช่วง 10-15 เคาะ

7) นำค่าปริมาณน้ำในดินมาพล็อตกราฟ เพื่อหาค่าปริมาณน้ำที่จำนวนเคาะ 25 ครั้ง

การวิเคราะห์ปริมาณน้ำจำกัด(Pffferkorn method) ตามวิธี ASTM D-4318-00

1) นำดินตัวอย่างมาทดสอบน้ำให้เข้าเป็นเนื้อเดียวกันและมีความเหนียวที่สามารถบีบได้ไม่ติดมือ

2) ดินที่ได้ในข้อ 1 นำมาคลึงบนแผ่นอะคริลิกเป็นเส้นให้มีขนาดเส้นผ่านศูนย์กลาง 1/8 นิ้ว คลึงไปเรื่อยๆ จนกระทั่งเส้นดินขนาดออกจากกัน

3) นำดินที่ขาดจากกัน 2-3 ห้อนใส่ถ้วยชั่งน้ำหนักก่อนและหลังอบที่ 110 องศาเซลเซียส เพื่อหาปริมาณน้ำในดิน ทำซ้ำ 3 ครั้ง

3.4.3 การทดสอบความชื้นในแท่งดินรีด (มาตรฐาน 38-2531) ใช้วิธีดังนี้

- 1) ชั่งน้ำหนักของแท่งดินรีด (W1)
- 2) นำไปอบแห้งที่อุณหภูมิ 110 องศาเซลเซียส นาน 24 ชั่วโมง (W2)
- 3) นำไปคำนวณหาเปอร์เซ็นต์ความชื้นในแท่งดินรีด ตามสูตร

$$\% \text{ ความชื้นในแท่งดินรีด} = \frac{W1 - W2}{W1} \times 100$$

3.4.4 การทดสอบความแข็งแรง (strength) หลังอบแห้งและหลังเผาของแท่งดินทดสอบ (ASTM C689-93) โดยใช้เครื่องทดสอบความแข็งแรงของวัสดุ

3.4.5 การทดสอบการหดตัว (shrinkage) หลังอบแห้งและหลังเผา (ASTM C362-82) โดยใช้วิธีดังนี้

- 1) วัดความยาวของแท่งดินรีดก่อนอบแห้ง (L1)
- 2) วัดความยาวของแท่งดินหลังอบแห้ง (L2)
- 3) นำไปคำนวณหาปอร์เซ็นต์การหดตัวหลังอบแห้งหรือหลังเผา ตามสูตร

$$\% \text{ การหดตัวหลังอบแห้ง} = \frac{L_1 - L_2}{L_1} \times 100$$

$$\% \text{ การหดตัวรวมหลังเผา} = \frac{L_p - L_f}{L_p} \times 100$$

โดยที่: L_p = ความยาวของแท่งดินรีดก่อนอบ
 L_f = ความยาวของแท่งดินหลังเผา

3.4.6 การทดสอบอัตราการดูดซึมน้ำ (water absorption) (มอก.38-2531) ใช้วิธีการดังนี้

- 1) นำชิ้นงานหลังเผาไปอบแห้งที่อุณหภูมิ 110 องศาเซลเซียส นาน 24 ชั่วโมง
- 2) ทึบไว้ให้เย็นในโดดดความชื้น
- 3) ชั่งน้ำหนัก (W_1)
- 4) นำชิ้นงานไปต้มในน้ำร้อน นานอย่างน้อย 1 ชั่วโมง
- 5) ซับแห้งหมาด ๆ ด้วยผ้าสำลี
- 6) ชั่งน้ำหนัก (W_2)
- 7) นำไปคำนวณหาปอร์เซ็นต์การดูดซึมน้ำ ตามสูตร

$$\% \text{ การดูดซึมน้ำ} = \frac{W_2 - W_1}{W_1} \times 100$$

3.4.7 การทดสอบน้ำหนักที่หายไปหลังการเผา (loss on ignition) (ASTM C2773-94) ใช้วิธีการดังต่อไปนี้ คือ

- 1) ชั่งน้ำหนักดินดิบ 2 กรัม ใส่ถ้วยเผาสาร (W_1)
- 2) เผาที่อุณหภูมิ 1000 องศาเซลเซียส นาน 1 ชั่วโมง ทึบไว้ให้เย็นแล้วชั่งน้ำหนัก (W_2)
- 3) นำไปคำนวณหาปอร์เซ็นต์น้ำหนักที่หายไปหลังการเผา ตามสูตร

$$\% \text{ น้ำหนักที่หายไปหลังการเผา} = \frac{W_1 - W_2}{W_1} \times 100$$

3.4.8 การทดสอบการเปลี่ยนสีหลังเผา (ASTM E805-94) โดยใช้เครื่อง colorimeter วัดสีการเปลี่ยนแปลงหลังการเผา สำหรับสีของแท่งดินทดสอบที่สังเกตด้วยตาเปล่าไว้ โดยใช้วิธีเทียบกับสมุดเทียบสีดินมันเชลล์ (munsell soil color book) (Soil Survey Division Staff, 1993)

3.5 การวิเคราะห์ข้อมูล

รวบรวมข้อมูลที่ได้จากการวิเคราะห์ทดสอบสมบัติทางเคมี สมบัติทางแร่วิทยา สมบัติทางกายภาพและเซรามิกบางประการ และปัจจัยที่เป็นตัวควบคุมลักษณะของดินเหนียวซึ่งมีอิทธิพลต่อผลิตภัณฑ์เครื่องปั้นดินเผาร่วมถึงลักษณะของดินเหนียวที่ใช้เป็นแหล่งวัตถุดินในปัจจุบัน เพื่อนำมาประเมินหรือพิจารณาความเหมาะสมของดินเหนียว ในการนำมาใช้ประโยชน์สำหรับอุตสาหกรรมเซรามิกหรือเป็นแนวทางในการพัฒนาอุตสาหกรรมต่าง ๆ ที่ต้องใช้ดินเหนียวเป็นวัตถุดินในการผลิตเครื่องปั้นดินเผา

บทที่ 4

ผลการตรวจสอบสมบัติดินเหนียววัตถุดิน

ผลการตรวจสอบค์ประกอบทางเคมี แร่พิทยา สมบัติทางกายภาพ สมบัติการขึ้นรูป และสมบัติหลังการเผาของดินเหนียวที่ให้เป็นวัตถุดินในแหล่งผลิตเครื่องปั้นดินเผาภาคใต้ทั้ง 7 แหล่ง จากพื้นที่ต่างๆ คือ ดินเหนียวชั้นบน ดินเหนียวชั้นล่าง ดินเหนียวบ้านท่าเตียน เนื้อดินปั้นโมคลาน ดินเหนียวร่อนพิบูลย์ ดินเหนียวท่าประจำ และดินเหนียวท่าน้ำมีด จังหวัดนครศรีธรรมราช มีรายละเอียดดังต่อไปนี้

4.1 ดินเหนียวชั้นบน จากแหล่งดิน อันกอท่าศาลา จังหวัดนครศรีธรรมราช (โรงงานเครื่องปั้นดินเผาสูงศักดิ์)

4.1.1 สมบัติทางเคมี

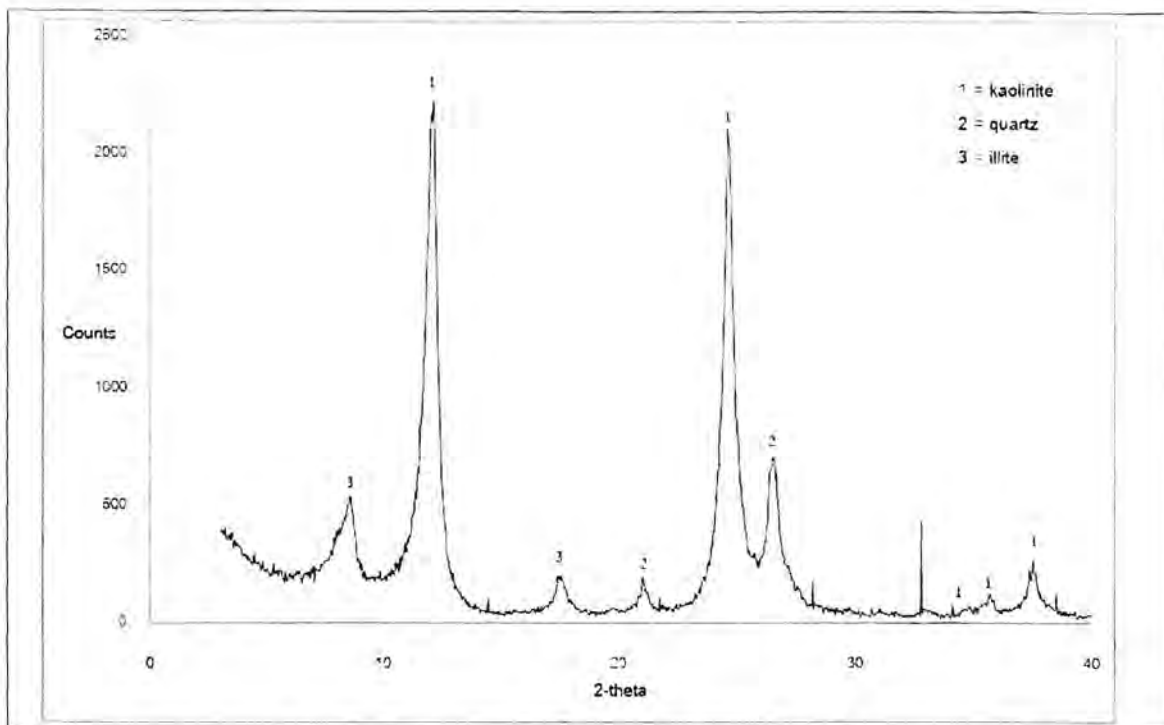
ตารางที่ 4.1 แสดงองค์ประกอบทางเคมีของดินเหนียวชั้นบนเป็นดินที่มาจากการแหล่งดินในอำเภอท่าศาลา พบร้า มีองค์ประกอบทางเคมี คือ ซิลิกา (SiO_2) (บ่อบอกถึงปริมาณทรัพย์) ค่อนข้างต่ำ ร้อยละ 57.14 อลูมินา (Al_2O_3) (บ่อบอกถึงปริมาณเนื้อดิน) สูง ร้อยละ 27.37 ซึ่งมีเนื้อดินมากและมีทรัพย์ปนพอสมควร มีปริมาณสารที่ทำให้เกิดสีคือ เหล็กออกไซด์และไทเทเนียมออกไซด์รวมกันค่อนข้างสูง ร้อยละ 4.28 หลังเผาจึงมีสีแต่ไม่เข้มนัก สารช่วยลดการสูญตัว แอลคาไลน์ (Alkaline) คือ โซเดียมออกไซด์ (Na_2O) และโพแทสเซียมออกไซด์ (K_2O) และแอลคาไลน์เอิร์ธ (Alkaline earth) คือ แคลเซียมออกไซด์ (CaO) และแมกนีเซียมออกไซด์ (MgO) มีปริมาณรวมกัน ร้อยละ 3.01 ซึ่งไม่สูงนัก สารเหล่านี้ทำให้เกิดเนื้อแก้วในผลิตภัณฑ์ซึ่งมีผลต่อความแข็งแรงของผลิตภัณฑ์ ดังนั้น ถ้าต้องการเพิ่มความแข็งแกร่งให้สูงและไม่เปื่อยยุ่ง่ายต้องเติมสารลดการสูญตัวของเนื้อดินหรือเพิ่มอุณหภูมิการเผาให้สูงกว่าดิน นอกจากนั้นเมื่อผ่านการเผาแล้วจะสูญเสียน้ำหนักหลังเผา (Loss on ignition) ที่อุณหภูมิ 1000 องศาเซลเซียส มีค่าร้อยละ 8.99 ซึ่งค่านี้จะแตกต่างกันไปขึ้นอยู่กับชนิดของแร่และสารประกอบคาร์บอน (carbonaceous) ดินซึ่งมีค่านี้อยู่ก็จะมีแร่ดินเหนียว้อย และมีทรัพย์ปนมาก ในขณะที่ถ้ามีค่านี้สูงจะมีสารประกอบคาร์บอน อาทิ อินทรีย์วัตถุมาก ดินที่มีสารอินทรีย์ปนมาก จะเหนียวมาก และต้องระวังในขั้นตอนการเผา ซึ่งการขันไฟอย่างรวดเร็ว หรือการยืนไฟน้อยเกินไปอาจทำให้เกิดไฟสีดำในผลิตภัณฑ์ได้

ตารางที่ 4.1 แสดงผลวิเคราะห์องค์ประกอบทางเคมีรวมของดินเหนียวตัดดินจากดินเหนียวชั้นบน จากแหล่งดิน อำเภอท่าศาลา จังหวัดนครศรีธรรมราช (โรงงานเครื่องปั้นดินเผาลุงศักดิ์)

| องค์ประกอบทางเคมี | ร้อยละ |
|--------------------------|--------|
| SiO_2 | 57.41 |
| Al_2O_3 | 27.37 |
| Fe_2O_3 | 3.58 |
| TiO_2 | 0.70 |
| Na_2O | - |
| K_2O | 1.57 |
| MgO | 0.39 |
| CaO | 0.05 |
| CaSO_4 | - |
| MnO_2 | 0.013 |
| P_2O_5 | - |
| การสูญเสียน้ำหนักหลังเผา | 8.99 |

4.1.2 สมบัติทางแร่วิทยา

รูปที่ 4.1 แสดงผลการวิเคราะห์แร่ในขนาดอนุภาคดิน พนวณว่าประกอบด้วยควอตซ์ (กราย) และแร่ดินเหนียวที่พบคือ เคไอโอลайн์ต และอิลไลต์ แร่เหล่านี้ปกติมีอยู่ในดินเหนียวโดยทั่วไป สำหรับแร่เคไอโอลайн์ตที่พบในดินเหนียวมักมีผลึกไม่สมบูรณ์ (Disorder kaolinite) ซึ่งเกิดจากการที่โครงสร้างผลึกถูกแทนที่ด้วยแทนของซิลิกอน (Si) ด้วยประจุบวกอื่นๆ อาทิ Al^{3+} จะมีความไม่เสถียร และมีอนุภาคขนาดเล็กกว่าแร่เคไอโอลайн์ตที่ผลึกสมบูรณ์ (Well order kaolinite) สำหรับแร่ดินเหนียวกลุ่มอิลไลต์เป็นแร่ดินเหนียวที่มีอนุภาคขนาดเล็ก (เล็กกว่า 0.002 มิลลิเมตร) ดังนั้นดินที่มีแร่ดินเหนียวดังกล่าว ปะปนจึงมักมีเนื้อเนียนละเอียดและหนีบมาก



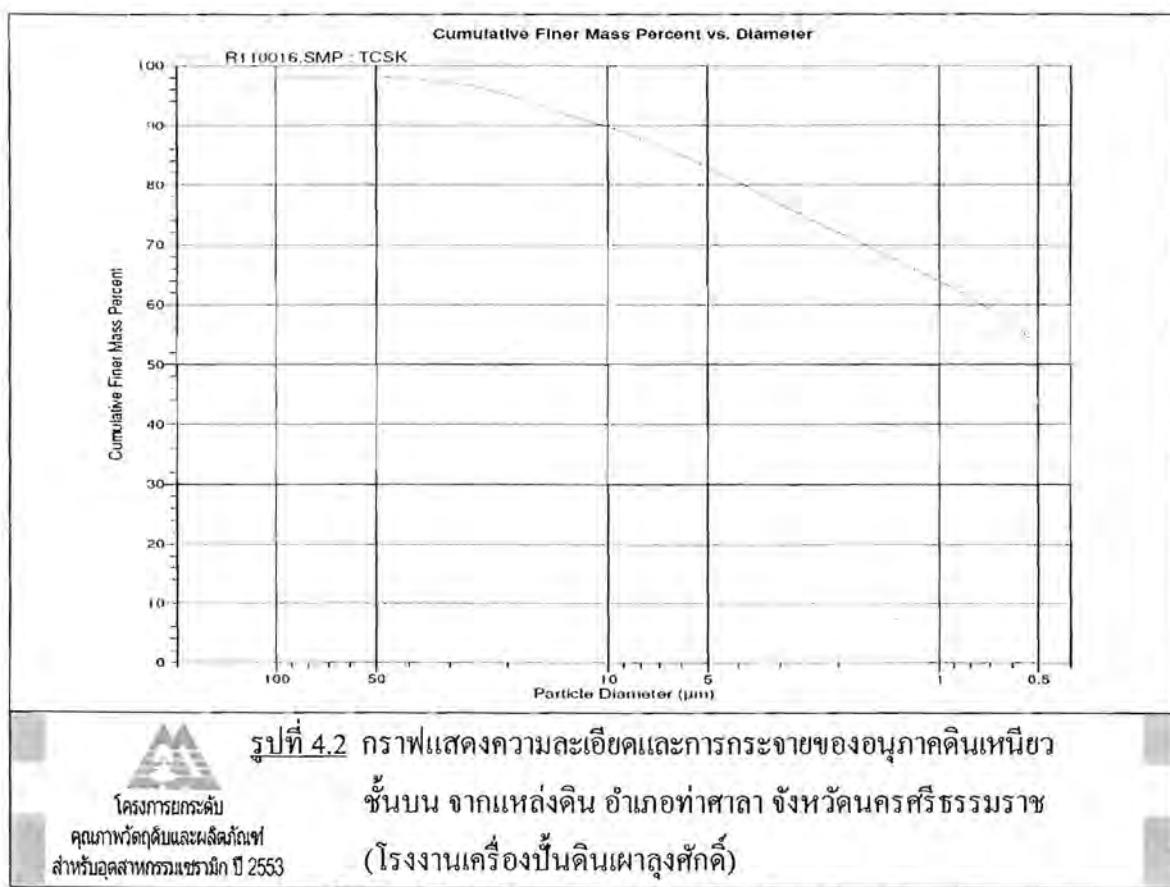
**รูปที่ 4.1 กราฟแสดงการเลือดขาวของรังสีเอกซ์ องค์ประกอบเชิงเรื่อง
ดินเหนียวชั้นบน จากแหล่งดิน อำเภอท่าศาลา จังหวัด
นครศรีธรรมราช (โรงงานเครื่องปั้นดินเผาลุงศักดิ์)**

4.1.3 สมบัติทางกายภาพ

จากตารางที่ 4.2 แสดงค่ากากค้างตะแกรง การกระจายความละอียดเมทิลีนบลูอินเด็กซ์ ดัชนีความเหนียว (Plasticity index) พบว่า มีปริมาณกากหายน้ำต่ำกว่า 0.045 มิลลิเมตร (325 เมช) มีปริมาณพอสมควร ร้อยละ 7.22 มีอนุภาคขนาดที่เล็กกว่า 0.002 มิลลิเมตร (2 ไมโครเมตร) สูงถึง ร้อยละ 72 มีค่าเมทิลีนบลูอินเด็กซ์ (Methylene blue index) ซึ่งแสดงพื้นที่ผิวของอนุภาคดิน มีค่า 9.00 มิลลิโควิวเคนต์/100 กรัม จึงนับว่าสูงพอสมควร ค่าดัชนีความเหนียว (Plasticity index) มีค่าอยู่ข้างสูงคือ 29.2 จากผลการวิเคราะห์ข้างต้น才ให้เห็นว่าดินเหนียวชั้นบนเป็นดินที่มีเนื้อนิยมละอียดมาก ซึ่งจะทำให้ดินมีความเหนียว ขึ้นรูปได้ง่าย และช่วยเพิ่มความแข็งแรงของผลิตภัณฑ์ทั้งก้อนและหลังเผา นอกจากนี้ยังช่วยลดอุณหภูมิการสูญตัวของดินเนื่องจากพลังงานที่ใช้ในการเกิดปฏิกิริยาลดลงกว่าดินที่มีอนุภาคหายน้ำ

**ตารางที่ 4.2 แสดงสมบัติทางกายภาพของดินเหนียวชั้นบน จากแหล่งคืน สำหรับท่าศาลา
จังหวัดนครศรีธรรมราช (โรงงานเครื่องปั้นดินเผาสูงศักดิ์)**

| ภาคค้างสะสมบนตะแกรง (ร้อยละ) | | | | | |
|-----------------------------------|--|---------------|------|------------------|------|
| 100 เมช | 2.27 | 200 เมช | 4.90 | 325 เมช | 7.22 |
| การกระจายความละเอียดสะสม (ร้อยละ) | | | | | |
| <120 ไมโครเมตร | 98.1 | <70 ไมโครเมตร | 98.1 | <53 ไมโครเมตร | 98.1 |
| <40 ไมโครเมตร | 97.9 | <20 ไมโครเมตร | 95.1 | <10 ไมโครเมตร | 89.8 |
| <5 ไมโครเมตร | 83.1 | <2 ไมโครเมตร | 72.0 | <1 ไมโครเมตร | 63.9 |
| <0.5 ไมโครเมตร | 53.8 | | | | |
| เมทิลลีนบลูอินเด็กซ์ | 9.00 มิลลิอิควิวานเลนต์/100 กรัม (meq/100 g) | | | | |
| Atterberg plasticity Test | | | | | |
| Liquid limit | 51.1 | Plastic limit | 21.9 | Plasticity index | 29.2 |



4.1.4 สมบัติทางการขึ้นรูป

จากตารางที่ 4.3 แสดงค่า ความชื้นในแท่งดินรีด การหดตัวและความแข็งแรงหลังอบแห้ง พบว่า ดินเหนียวชั้นบน สามารถรีดขึ้นรูปได้เมื่อใช้น้ำพสมร้อยละ 30.73 ซึ่งค่อนข้างสูง เมื่อแห้งมีค่า การหดตัวเชิงเส้นสูงพอสมควร ร้อยละ 8.12 ค่าความแข็งแรงหลังแห้ง มีค่า 681 ปอนด์ต่อตารางนิ้ว (47.87 กิโลกรัมต่อตารางเซนติเมตร) สำหรับ ค่าการหดตัวขึ้นกับหลายปัจจัย อาทิ ความลักษณะอิฐดิน และ รูปร่างของอนุภาคดิน ประมาณนี้ที่ใช้พสมในการขึ้นรูปชี้ว่าใช้น้ำพสมมากก็ยิ่งมีการหดตัวมาก ผลิตภัณฑ์จึงมีโอกาสที่จะหดตัวที่ไม่สม่ำเสมอ กันทุกทิศทาง และจะเกิดความเครียดในเนื้อดินซึ่งถ้ามีค่า สูงกินที่เนื้อดินจะทำให้เกิดการแตกร้าว และเสียหาย เมื่อพิจารณาจากความแข็งแรงของดิน หลังอบแห้งจะเห็นได้ว่า ไม่สูงนัก จึงอาจมีรอยร้าวที่มีอยู่ไม่เท่ากัน ก็จะเกิดการบิดเบี้ยวในแท่งดิน จึงส่งผลให้ค่าความแข็งแรงลดลงจากสาเหตุที่กล่าวมาแล้วข้างต้น สำหรับ ดินที่มีการหดตัวหลังแห้งเกินร้อยละ 10 ไม่ควรนำมา ใช้เป็นวัตถุดิน (Ryan,1987) ดังนั้นในการนำดินนี้มาใช้โดยการปั้นอิฐหรือใช้เป็นหมุนจั่งควรเพิ่มกากหayan อาทิ ทราย เพื่อลดการหดตัว รวมทั้งเพื่อให้เนื้อดินโปร่งและระบายน้ำได้สม่ำเสมอ ทำให้ลดการสูญเสียนี้ ของการแตกร้าว แต่ต้องระวังไม่ให้กากหayan สูงเกินไปจนไปทำให้ค่าความแข็งแรงลดลง

**ตารางที่ 4.3 แสดงประมาณความชื้นในแท่งดินรีด การหดตัวเมื่อแห้ง และความแข็งแรงเมื่อแห้งของ ดินเหนียวชั้นบน จากแหล่งดิน อำเภอท่าศาลา จังหวัดนครศรีธรรมราช
(โรงงานเครื่องปั้นดินเผาสูงศักดิ์)**

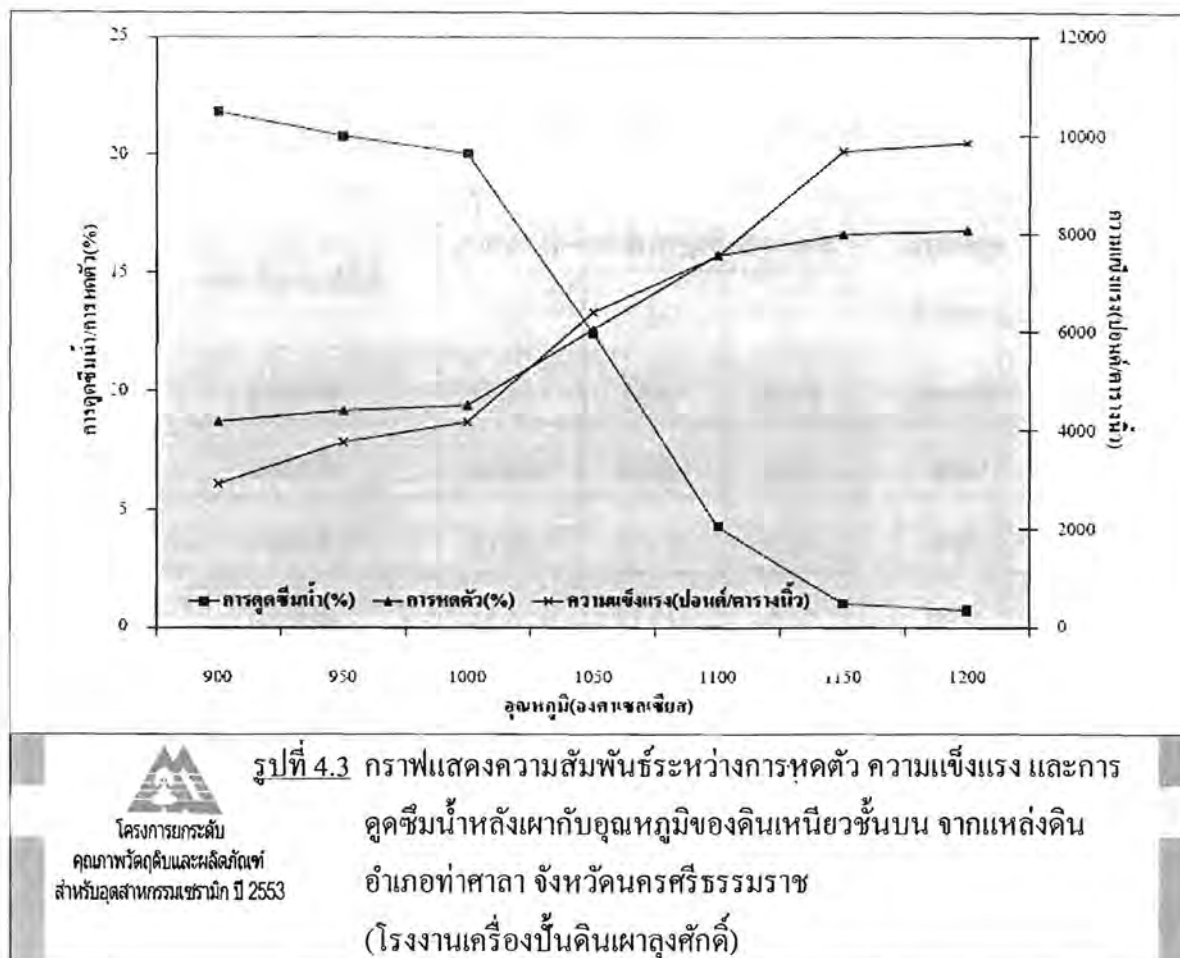
| แหล่งดิน | ความชื้นในแท่งดินรีด (ร้อยละ) | การหดตัวเมื่อแห้ง (ร้อยละ) | ความแข็งแรงเมื่อแห้ง (ปอนด์ต่อตารางนิ้ว) |
|-----------------|----------------------------------|-------------------------------|---|
| ดินเหนียวชั้นบน | 30.73±0.35 | 8.12±0.13 | 680.97±94.21 |

4.1.5 สมบัติหลังเผา

จากตารางที่ 4.4 และรูปที่ 4.3 แสดงค่าการหดตัวเชิงเส้น การคูคชีมน้ำ และความแข็งแรงของ แท่งดินหลังเผาในช่วงอุณหภูมิ 900-1200 องศาเซลเซียส พบว่า ดินมีการหดตัวประมาณ ร้อยละ 8.70-16.81 ค่าการคูคชีมน้ำลดลงตามอุณหภูมิโดยมีค่าอยู่ในช่วง ร้อยละ 21.83-0.70 ความแข็งแรงมี ค่าประมาณ 2,917-9,850 ปอนด์ต่อตารางนิ้ว ซึ่งการเปลี่ยนแปลงเหล่านี้ เป็นผลจากปฏิกิริยา ของแร่ใน ดินเมื่อได้รับความร้อนจะทำให้เกิดเนื้อแก้ว ซึ่งช่วยเข้มยืดให้ออนุภาคไกล์ชิดกันหรือปิดช่องว่าง ระหว่างอนุภาคดิน ดินจึงหดตัว และความพรุนตัวลดลง ค่าการคูคชีมน้ำเชิงลดลง ความแข็งแรงเพิ่มขึ้น จากสมบัติหลังเผาพบว่า ดินนี้มีช่วงการเผาครบและทนไฟได้ 1100-1200 องศาเซลเซียส ถ้าเผาสูงกว่านี้ อาจทำให้เกิดการบวมของผลิตภัณฑ์ได้

ตารางที่ 4.4 แสดงค่าเฉลี่ยการทดสอบตัวหลังเพา อัตราการดูดซึมน้ำ และความแข็งแรงหลังเพาของ
ดินเหนียวชั้นบน จากแหล่งคิน อำเภอท่าศาลา จังหวัดนครศรีธรรมราช
(โรงงานเครื่องปั้นดินเผาถุงศักดิ์)

| อุณหภูมิ (องศาเซลเซียส) | การทดสอบตัวหลังเพา (ร้อยละ) | การดูดซึมน้ำ (ร้อยละ) | ความแข็งแรงหลังเพา (ปอนด์ต่อตารางนิ้ว) |
|----------------------------|--------------------------------|--------------------------|---|
| 900 | 8.70±0.16 | 21.83±0.62 | 2,917.58±562.24 |
| 950 | 9.16±0.15 | 20.81±0.49 | 3,755.52±443.14 |
| 1000 | 9.39±0.22 | 20.05±0.40 | 4,165.70±492.70 |
| 1,050 | 12.61±0.26 | 12.42±0.47 | 6,396.90±738.70 |
| 1100 | 15.76±0.26 | 4.27±0.49 | 7,541.99±657.26 |
| 1,150 | 16.65±0.23 | 0.98±0.34 | 9,676.89±1,074.06 |
| 1200 | 16.81±0.28 | 0.70±0.32 | 9,849.60±529.78 |



4.1.6 สมบัติสีดินก่ออิฐและหลังเผา

ตารางที่ 4.5 แสดงค่าของสีในระบบซีไอเอ (CIE) และสังเกตพินิจด้วยตาของดินเหนียวชั้นบน ก่อนและหลังเผาที่อุณหภูมิ 900-1200 องศาเซลเซียส พนบว่า ค่าความสว่าง (L^*) มีค่าประมาณ 65.86-71.52 ค่าแสดงสีแดงและสีเขียว (a^*) มีค่ากว่าประมาณ 8.26-13.81 สำหรับค่าสีน้ำเงินสีเหลือง (b^*) มีค่ากว่าประมาณ 23.75-26.37 ซึ่งค่าตัวแปรจากการวัดนี้ สอดคล้องกับสีที่ตรวจพินิจที่อยู่ในช่วง ส้มถึงน้ำตาลอ่อน ดังแสดงในตารางที่ 4.5 การเปลี่ยนแปลงของสีหลังเผาเป็นผลจากปฏิกิริยาของสารประกอบออกไซด์ของเหล็ก โดยเมื่อเพิ่มอุณหภูมิการเผาทำให้ดินสูญตัวเพิ่มขึ้น ดังนั้นอิออนของเหล็กรวมกับเนื้อแก้วมากขึ้นหรือเกิดเป็นสารใหม่ทำให้ดินหลังเผาสีเปลี่ยนแปลงไปตามชนิดออกไซด์ ของเหล็ก อาทิ เอมาไทร์ (Fe_2O_3) จะมีสีแดงหรือเหลือง ในขณะที่ เอมาไทร์ (Fe_3O_4) มีสีน้ำตาลอ่อน แต่อย่างไรก็ตามการเปลี่ยนแปลงสีหลังเผา นอกจากเป็นผลจากที่กล่าวมาแล้ว ยังเป็นผลจากอิออนที่เกิดร่วมในดินด้วย อาทิ อิออนของแคลเซียมที่จะทำให้สีดินหลังเผาอ่อนลง หรือ ออกซิมีนา มีผลทำให้มีในดินที่มีเหล็กออกไซด์ต่ำ (ประมาณร้อยละ 1-3) มีสีน้ำตาลอ่อนเหลือง

ตารางที่ 4.5 แสดงค่าการวัดสีดินก่อก่อนเพาและหลังเพาที่อุณหภูมิต่างๆ ของดินเหนียวชั้นบน
จากแหล่งดิน อำเภอท่าศาลา จังหวัดนครศรีธรรมราช (โรงงานเครื่องปั้นดินเผาลุงพักดี)

| อุณหภูมิ (องศาเซลเซียส) | ค่าการวัดสีระบบซีไออี ($L^*a^*b^*$) | | | สีที่สังเกตุด้วยตา |
|----------------------------|---------------------------------------|--------|--------|--------------------|
| | L | a | b | |
| ก่อนเพา | 68.66 | +3.83 | +14.62 | เทาอ่อน |
| 900 | 67.87 | +13.81 | +24.52 | ส้มอ่อน |
| 950 | 70.71 | +13.15 | +26.12 | ส้มอ่อน |
| 1000 | 71.54 | +12.72 | +26.33 | ส้มอ่อน |
| 1,050 | 71.45 | +10.66 | +24.43 | ส้มอ่อน |
| 1,100 | 71.52 | +9.90 | +24.87 | ส้มอ่อน |
| 1,150 | 67.54 | +11.64 | +26.37 | ส้มอ่อน |
| 1200 | 65.86 | +8.26 | +23.75 | น้ำตาลอ่อน |

หมายเหตุ

a ใช้กำหนดค่าความสว่าง

$L = 0$ แสดงว่าตัวอย่างมีสีดำสมบูรณ์

$L = 100$ แสดงว่าตัวอย่างมีสีขาวสมบูรณ์

a ใช้กำหนดค่าเดงและสีเขียว

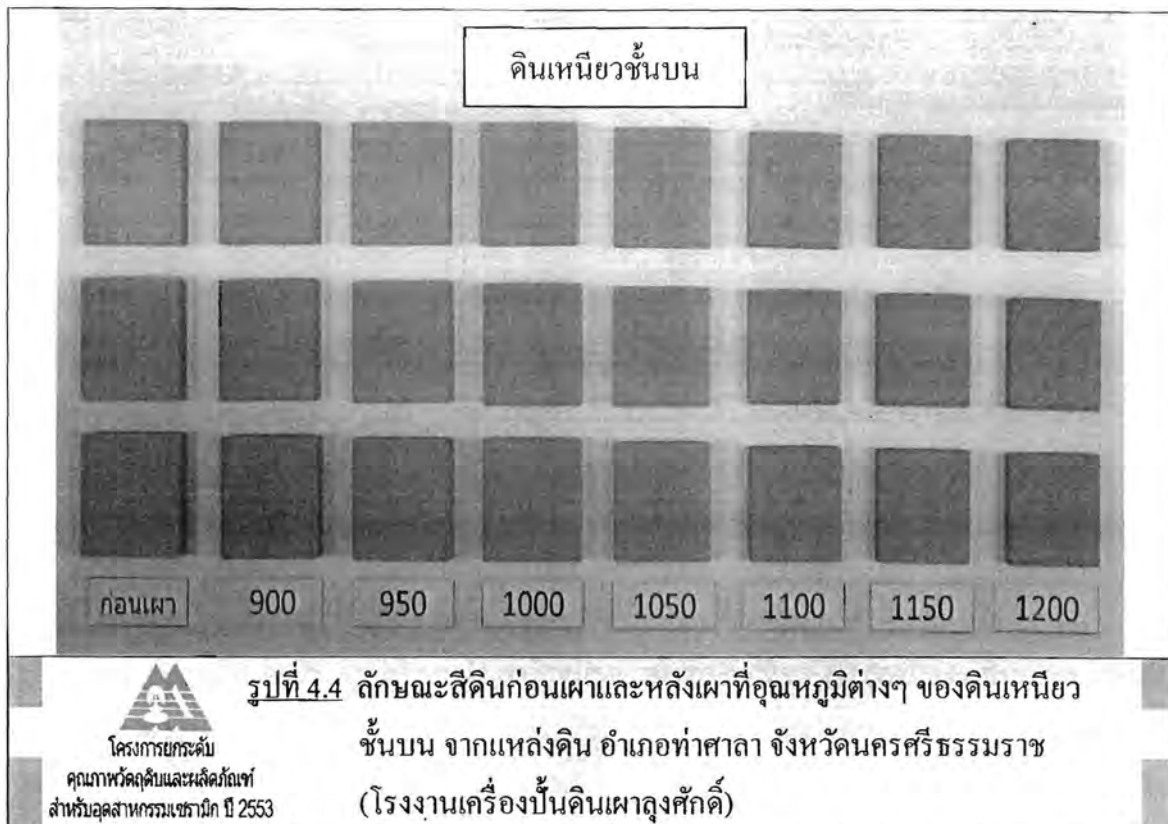
a ค่าเป็นบวก สีจะไปในทิศทางสีแดง

a ค่าเป็นลบ สีจะไปในทิศทางสีเขียว

b ใช้กำหนดค่าเหลืองหรือสีน้ำเงิน

b ค่าเป็นบวก สีจะไปในทิศทางสีเหลือง

b ค่าเป็นลบ สีจะไปในทิศทางสีน้ำเงิน



4.1.7 ศักยภาพในการใช้ประโยชน์

ดินเหนียวชั้นบนเป็นดินเหนียวเนื้อเนียนละเอียด ความเหนียวสูง ปริมาณน้ำที่ใช้ในการขึ้นรูปค่อนข้างสูงในการเตรียมเนื้อดินปั้นต้องมีการผสมวัสดุที่ไม่มีความเหนียว อาทิ ทราย เศษภาชนะ เครื่องปั้นดินเผาด หลังเผาผลิตภัณฑ์จะมีสีสันอ่อนถึงน้ำตาลอ่อน ทนไฟได้ไม่เกิน 1100-1200 องศาเซลเซียส มีความเหมาะสมในการนำมาผลิตเครื่องปั้นดินเผาที่ไว้ใช้สอยหรือตกแต่งต่างๆ อาทิ ผลิตภัณฑ์ตกแต่งสวน กระเบื้องปูพื้น ผลิตภัณฑ์ที่ต้องการผิวนียนละเอียด อาทิ ของที่ระลึก ของชำร่วย รวมทั้งสามารถนำไปเตรียมน้ำดินเพื่อขึ้นรูปด้วยวิธีการหล่อได้ นอกจากนี้อาจนำไปใช้ผสมในเนื้อดินปั้นที่ต้องการเพิ่มความเหนียวในผลิตภัณฑ์

**4.2 ดินเหนียวชั้นล่าง จากแหล่งดิน อําเภอท่าศาลา จังหวัดนครศรีธรรมราช
(โรงงานเครื่องปั้นดินเผาสูงศักดิ์)**

4.2.1 สมบัติทางเคมี

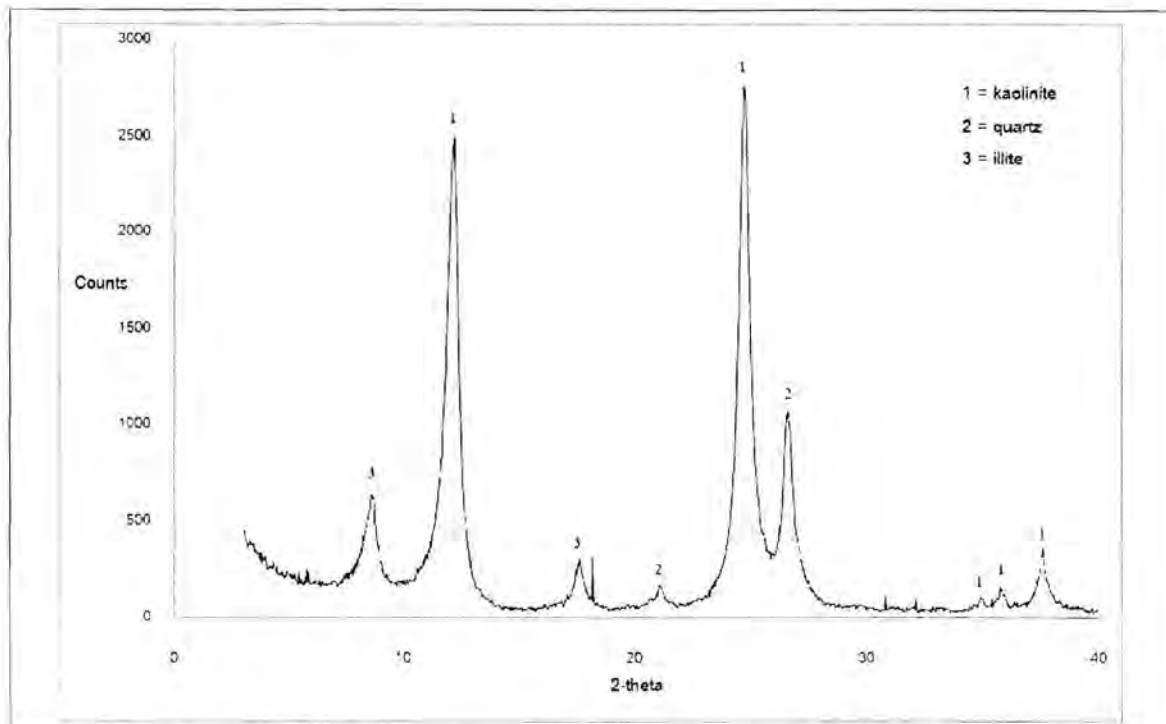
ดินเหนียวชั้นล่างเป็นดินที่ขุดจากชั้นถัดจากดินเหนียวชั้นบนของ อําเภอท่าศาลา จากผลการวิเคราะห์ประกอบทางเคมี ดังแสดงในตารางที่ 4.6 คือ ซิลิการ์ดอยละ 67.86 ออกมินา ร้อยละ 20.62 ซึ่งเป็นดินที่ปั้นรายสูง มีเหล็กออกไซด์และไไฟเทเนียมออกไซด์รวมกัน ร้อยละ 3 มีสารช่วยลดอุณหภูมิการเผา คือ แอลคาไลน์ และแอลคาโนï เอิร์ช ปริมาณรวมกัน ร้อยละ 2.32 ซึ่งต่ำกว่าดินเหนียวชั้นบน การสูญเสียน้ำหนักหลังเผา มีค่าร้อยละ 6.07 แสดงว่ามีรายปานมากกว่าดินชั้นบน ในขณะที่มีร่องดินเหนียวและอินทรีย์ต่ำกว่าปูนอย่างกว่า

ตารางที่ 4.6 แสดงผลวิเคราะห์ของค่าประกอบทางเคมีรวมของดินเหนียวต่ำสุดจากดินเหนียวชั้นล่างแหล่งดิน อําเภอท่าศาลา จังหวัดนครศรีธรรมราช(โรงงานเครื่องปั้นดินเผาสูงศักดิ์)

| องค์ประกอบทางเคมี | ร้อยละ |
|--------------------------|--------|
| SiO_2 | 67.86 |
| Al_2O_3 | 20.62 |
| Fe_2O_3 | 2.49 |
| TiO_2 | 0.70 |
| Na_2O | - |
| K_2O | 1.93 |
| MgO | 0.33 |
| CaO | 0.06 |
| CaSO_4 | - |
| MnO_2 | 0.013 |
| P_2O_5 | - |
| การสูญเสียน้ำหนักหลังเผา | 6.07 |

4.2.2 สมบัติทางเควทข้า

จากการวิเคราะห์แร่ในขนาดอนุภาคดิน ดังรูปที่ 4.5 พบว่ามีแร่คล้ายกับดินเหนียวชั้นบน ประกอบด้วย ควอตซ์ เกอโอลีไนต์ และอิลลิต



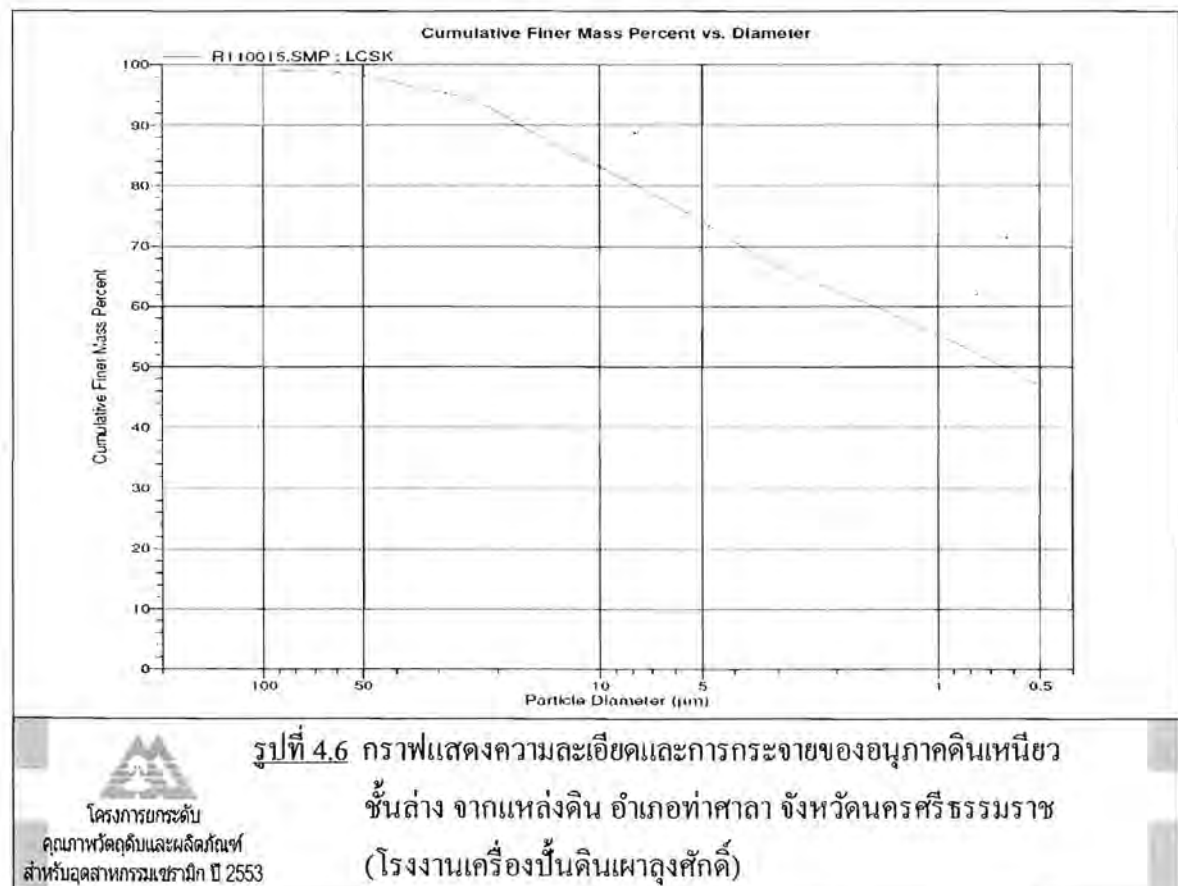
รูปที่ 4.5 กราฟแสดงการเดี้ยวนะของรังสีเอกซ์ องค์ประกอบเชิงแร่ของดินเหนียวชั้นล่าง จากแหล่งคิน อำเภอท่าศาลา จังหวัดนครศรีธรรมราช(โรงงานเครื่องปั้นดินเผาลุงศักดิ์)

4.2.3 สมบัติทางกายภาพ

จากตารางที่ 4.7 แสดงค่าภาคค้างตะแกรง การกระจายความละเมียดเมทิลลีนบลูอินเด็กซ์ คันนิ ความหนืดไข พบว่า มีปริมาณกากหายน้ำดีกว่า 325 เมช ค่อนข้างสูง ร้อยละ 17.10 มีอนุภาคที่เล็กกว่า 2 ไมโครเมตร ร้อยละ 62.6 เมทิลลีนบลูอินเด็กซ์ มีค่า 8.33 มิลลิอิควิวาเดนต์/100 กรัม ค่าดัชนีความหนืดไข มีค่าค่อนข้างสูงคือ 34 เมื่อเปรียบเทียบกับดินเหนียวชั้นล่างและชั้นเหนียวชั้นบนจะเห็นได้ว่าดินชั้นล่างมีปริมาณกากหายน้ำจะมากกว่าดินเหนียวชั้นบน เนื่องด้วยจึงหมายกว่าดินเหนียวชั้นบน

**ตารางที่ 4.7 แสดงสมบัติทางกายภาพของดินเหนียวชั้นล่าง จากแหล่งดิน สำหรือท่าศาลา
จังหวัดนครศรีธรรมราช(โรงงานเครื่องปั้นดินเผาลุงศักดิ์)**

| หากค้างสะสมบนตะแกรง (ร้อยละ) | | | | | |
|--|--|---------------|-------|------------------|-------|
| 100 เมช | 6.73 | 200 เมช | 12.84 | 325 เมช | 17.10 |
| การกระจายความละเอียดสะสม (ร้อยละ) | | | | | |
| <120 ไมโครเมตร | 99.2 | <70 ไมโครเมตร | 99.0 | <53 ไมโครเมตร | 98.4 |
| <40 ไมโครเมตร | 97.0 | <20 ไมโครเมตร | 92.1 | <10 ไมโครเมตร | 83.1 |
| <5 ไมโครเมตร | 74.1 | <2 ไมโครเมตร | 62.6 | <1 ไมโครเมตร | 55.3 |
| <0.5 ไมโครเมตร | 47.2 | | | | |
| เมทิลลีนบลูอินเด็กซ์ | 8.33 มิลลิโควิวเเลนต์/100 กรัม (meq/100 g) | | | | |
| Atterberg plasticity Test | | | | | |
| Liquid limit | 59.5 | Plastic limit | 25.5 | Plasticity index | 34.0 |



4.2.4 สมบัติทางการชีนรูป

จากตารางที่ 4.8 แสดงค่า ความชื้นในแท่งดินรีด การหดตัวและความแข็งแรงหลังอบแห้ง พบว่า ดินเหนียวชั้นล่าง สามารถรีดขึ้นรูปได้เมื่อใช้น้ำพอกมาร้อยละ 24.41 ซึ่งอยู่ในเกณฑ์ของดินเหนียว ทั่วไป เมื่อแห้งมีค่าการหดตัวเชิงเส้น ร้อยละ 6.21 ค่าความแข็งแรงหลังแห้งไม่สูงนัก มีค่า 592 ปอนด์ ต่อตารางนิวตัน ซึ่งน่าจะเป็นผลจากดินมีกากขยายปูนมาก สำหรับความแข็งแรงหลังแห้งของดินนอกจาก เป็นผลจากความละเอียดและความเหนียวแล้ว ชนิดของอิออนที่ประปันในเนื้อดินก็มีผลต่อความแข็งแรง หลังแห้งได้เช่นกัน โดยดินที่มีอิออนประจุลบหนึ่ง ออาทิ โซเดียม จะมีความแข็งแรงกว่าดินที่มีประจุ บวกสอง ออาทิ แคลเซียม สำหรับดินเหนียวชั้นล่างสามารถเพิ่มความแข็งแรงโดยการคัดอนุภาคหยาบ ออกบ้าง ซึ่งอาจใช้วิธีร่อนดินผ่านมุ้ง漉ดหรือตาข่ายไนลอนที่มีขนาดรูท่ำรูมุ้ง漉ด

**ตารางที่ 4.8 แสดงปริมาณความชื้นในแท่งดินรีด การหดตัวเมื่อแห้ง และความแข็งแรงเมื่อแห้งของ ดินเหนียวชั้นล่าง จากแหล่งดิน อำเภอท่าศาลา จังหวัดนครศรีธรรมราช
(โรงงานเครื่องปั้นดินเผาถุงหักดิบ)**

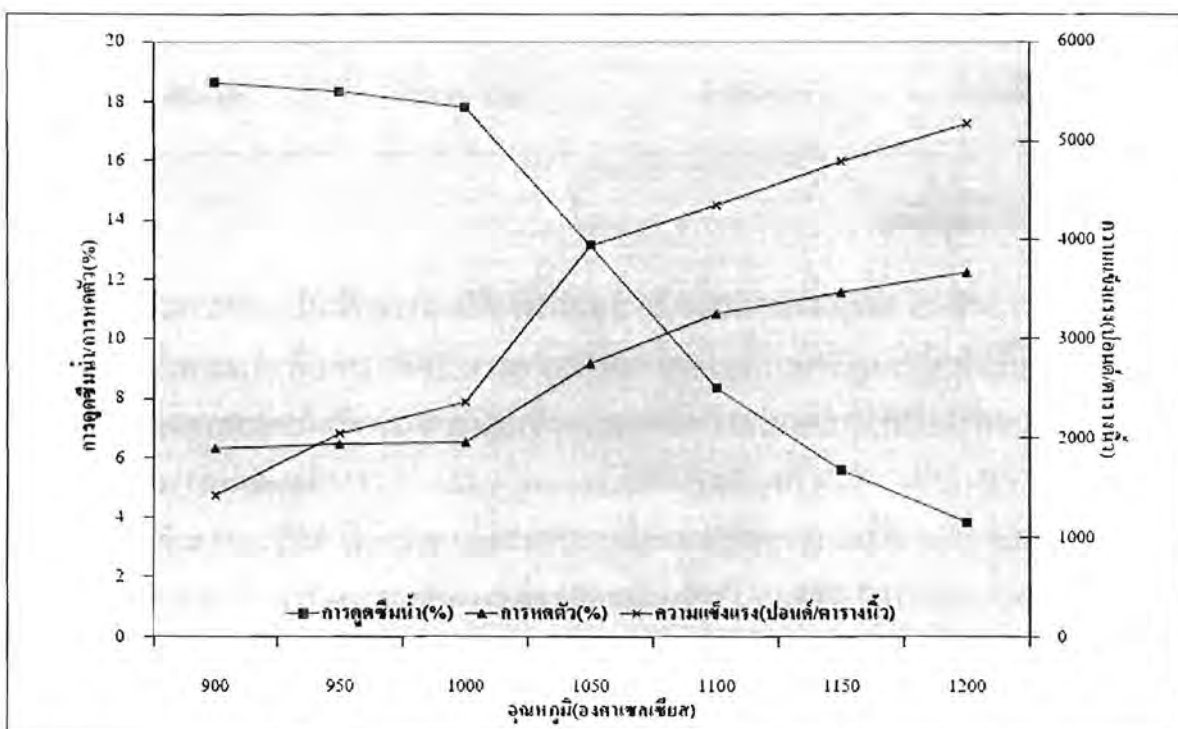
| แหล่งดิน | ความชื้นในแท่งดินรีด (ร้อยละ) | การหดตัวเมื่อแห้ง (ร้อยละ) | ความแข็งแรงเมื่อแห้ง (ปอนด์ต่อตารางนิวตัน) |
|-------------------|----------------------------------|-------------------------------|---|
| ดินเหนียวชั้นล่าง | 24.41±0.20 | 6.21±0.20 | 591.88±123.32 |

4.2.5 สมบัติหลังเผา

จากตารางที่ 4.9 และรูปที่ 4.7 แสดงค่าการหดตัวเชิงเส้น การดูดซึมน้ำ และความแข็งแรงของ แท่งดินหลังเผาในช่วงอุณหภูมิ 900-1,200 องศาเซลเซียส พบว่า ดินมีการหดตัวประมาณร้อยละ 6.32- 12.23 ซึ่งน้อยกว่าดินเหนียวชั้นบน เนื่องจากมีรายค่อนข้างสูง ค่าการดูดซึมน้ำลดลงตามอุณหภูมิโดยมี ค่าอยู่ในช่วงร้อยละ 18.64-3.84 ความแข็งแรงมีค่าประมาณ 1,422 - 5,175 ปอนด์ต่อตารางนิวตัน ซึ่ง มีค่า น้อยกว่าดินเหนียวชั้นบน ซึ่งนอกจากเป็นผลจากมีกากขยายปูนที่สูงกว่าแล้ว ยังเป็นเพราะ ดินเหนียวชั้น ล่างจากมีรายปูนมากกว่า ทำให้ดินทนไฟขึ้น ดินเหนียวชั้นล่างมีช่วงการเผาไม่กว้างนักและทนไฟได้ สูงกว่า 1,200 องศาเซลเซียส อย่างไรก็ตามถ้าต้องการเผาสูงกว่าอาจจะเป็นไปได้แต่ต้องขึ้นไฟย่าง ระมัดระวังเพราะผลิตภัณฑ์อาจไหม้burn ได้

ตารางที่ 4.9 แสดงค่าเฉลี่ยการหดตัวหลังเผา อัตราการดูดซึมน้ำ และความแข็งแรงหลังเผาของ
ดินเหนียวชั้นล่าง จากแหล่งดิน อำเภอท่าศาลา จังหวัดนครศรีธรรมราช
(โรงงานเครื่องปั้นดินเผาลุงศักดิ์)

| อุณหภูมิ (องศาเซลเซียส) | การหดตัวหลังเผา (ร้อยละ) | การดูดซึมน้ำ (ร้อยละ) | ความแข็งแรงหลังเผา (ปอนด์ต่อตารางนิวตัน) |
|----------------------------|-----------------------------|--------------------------|---|
| 900 | 6.32±0.20 | 18.64±0.44 | 1,421.91±196.42 |
| 950 | 6.46±0.18 | 18.35±0.34 | 2,044.45±329.13 |
| 1,000 | 6.52±0.15 | 17.81±0.22 | 2,364.22±508.18 |
| 1,050 | 9.17±0.37 | 13.15±0.48 | 3,940.25±501.56 |
| 1,100 | 10.84±0.15 | 8.35±0.40 | 4,350.97±735.37 |
| 1,150 | 11.56±0.22 | 5.59±0.40 | 4,796.36±579.36 |
| 1,200 | 12.23±0.20 | 3.84±0.11 | 5,175.39±793.26 |



รูปที่ 4.7 กราฟแสดงความสัมพันธ์ระหว่างการหดตัว ความแข็งแรง และการ
ดูดซึมน้ำหลังเผากับอุณหภูมิของดินเหนียวชั้นล่าง จากแหล่งดิน
อำเภอท่าศาลา จังหวัดนครศรีธรรมราช
(โรงงานเครื่องปั้นดินเผาลุงศักดิ์)


 โครงการภายใต้
คุณภาพดีเด่นและมีคุณภาพ
สานรังสฤษฎากรฯ ประจำปี 2553

4.2.6 สมบัติสีดินก่ออ่นและหลังเพา

ตารางที่ 4.10 แสดงค่าของสีในระบบชีไออี และสังเกตพินิจด้วยตาของดินเหนียวชั้นล่างก่ออ่น และหลังเพาที่อุณหภูมิ 900-1,200 องศาเซลเซียส พบว่า ค่าความสว่าง (L^*) มีค่าประมาณ 62.81-71.21 ค่าแสงสีแดงและสีเขียว (a^*) มีค่าบวกประมาณ 10.09-15.56 สำหรับค่าสีน้ำเงินหรือสีเหลือง (b^*) มีค่าบวกประมาณ 20.01-24.02 จากการสังเกตสีด้วยสายตา จะได้เห็นได้ว่า ดินก่ออ่นเพามีสีเหลืองอ่อน หลังเพาช่วงอุณหภูมิ 900-1,200 องศาเซลเซียส จะมีสีส้มอ่อน และเมื่อเพิ่มอุณหภูมิเป็น 1,100-1,200 องศาเซลเซียส ได้กล้ายเป็นสีน้ำตาลอ่อนและน้ำตาลที่อุณหภูมิ 1,200 องศาเซลเซียส ซึ่งสีที่ปรากฏสอดคล้อง กับค่าที่วัดได้ในระบบชีไออี

ตารางที่ 4.10 แสดงค่าการวัดสีดินก่ออ่นเพาและหลังเพาที่อุณหภูมิต่างๆ ของดินเหนียวชั้นล่าง จากแหล่งดิน อำเภอท่าศาลา จังหวัดนครศรีธรรมราช (โรงงานเครื่องปั้นดินเผาสูงศักดิ์)

| อุณหภูมิ (องศาเซลเซียส) | ค่าการวัดสีระบบชีไออี ($L^*a^*b^*$) | | | สีที่สังเกตด้วยตา |
|----------------------------|---------------------------------------|--------|--------|-------------------|
| | L | a | b | |
| ก่ออ่นเพา | 72.75 | +4.71 | +19.36 | เหลืองอ่อน |
| 900 | 66.75 | +15.56 | +23.68 | ส้มอ่อน |
| 950 | 68.51 | +14.35 | +23.80 | ส้มอ่อน |
| 1,000 | 69.61 | +14.04 | +24.02 | ส้มอ่อน |
| 1,050 | 71.21 | +12.85 | +21.90 | ส้มอ่อน |
| 1,100 | 69.46 | +12.33 | +22.28 | น้ำตาลอ่อน |
| 1,150 | 65.63 | +12.98 | +23.96 | น้ำตาลอ่อน |
| 1,200 | 62.81 | +10.09 | +20.01 | น้ำตาล |

หมายเหตุ

L ใช้กำหนดค่าความสว่าง

L = 0 แสดงว่าตัวอย่างมีสีดำสมบูรณ์

L = 100 แสดงว่าตัวอย่างมีสีขาวสมบูรณ์

a ใช้กำหนดสีแดงและสีเขียว

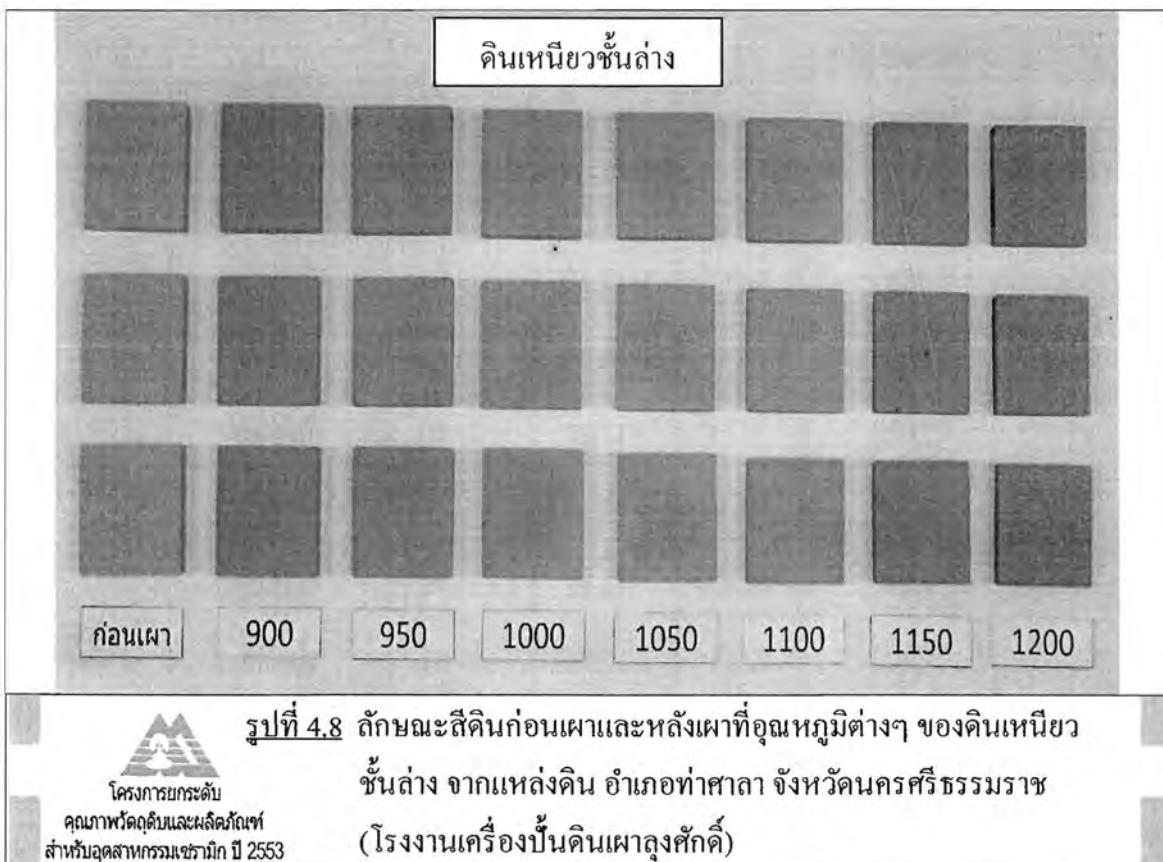
a ค่าเป็นบวก สีจะไปในทิศทางสีแดง

a ค่าเป็นลบ สีจะไปในทิศทางสีเขียว

b ใช้กำหนดสีเหลืองหรือสีน้ำเงิน

b ค่าเป็นบวก สีจะไปในทิศทางสีเหลือง

b ค่าเป็นลบ สีจะไปในทิศทางสีน้ำเงิน



4.2.7 ศักยภาพในการใช้ประโยชน์

ดินเหนียวชั้นล่างเป็นดินเหนียวเนื้อนิ่นและอุดคงาเมเนี่ยวพอควร มีศักยภาพในการนำไปใช้ในการผลิตเครื่องปั้นดินเผาได้ เช่นเดียวกับดินเหนียวชั้นบน กรณีมันน้ำที่ใช้ในการขึ้นรูปอุปกรณ์ ปกติในการเตรียมเนื้อดินปั้นอาจต้องมีการผสมวัสดุที่ไม่มีความเหนียว อารี ทราย เศษภาชนะ เครื่องปั้นดินเผาด หลังเผาผลิตภัณฑ์จะมีสัมผ่อนถึงน้ำตาล หนไฟได้ 1,100-1,200 องศาเซลเซียส มี ความเหมาะสมในการนำมาผลิตเครื่องปั้นดินเผาไว้สอยหรือตอกแต่งต่างๆ อารี กระบวนการด้านนี้ อิฐ กระเบื้อง แต่มีความเหมาะสมสำหรับการผลิตอิฐมากกว่าดินเหนียวชั้นบน เนื่องจากก้อนอิฐค่อนข้างหนา ต้องการเนื้อดินที่โปร่ง ระบายน้ำได้ดี เพื่อลดการแตกร้าว อย่างไรก็ตามอาจต้องมีการคัดขนาดอนุภาค ออกน้ำเพื่อเพิ่มความแข็งแรง นอกจากนี้กรณีที่ต้องการผลิตผลิตภัณฑ์ของที่ระลึก หรือของชำร่วย การคัดขนาดอนุภาคหมายอุจจาระช่วยให้ผลิตภัณฑ์มีพิวนิ่มนและสวยงามยิ่งขึ้น

4.3 ดินเหนียวบ้านท่าเดียน ต.ปากพูน อำเภอเมือง จังหวัดนครศรีธรรมราช (กลุ่มเครื่องปั้นดินเผาบ้านท่าเดียน)

4.3.1 องค์ประกอบทางเคมี

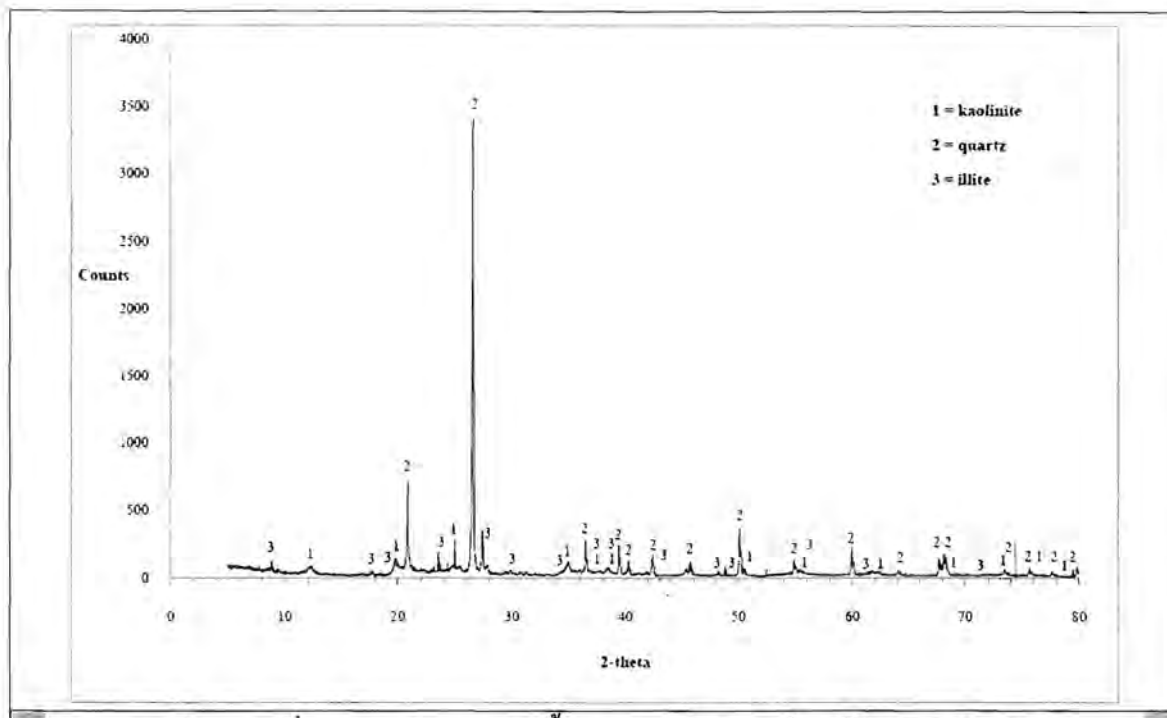
ดินเหนียวบ้านท่าเดียนใช้ดินห้องทุ่งที่ชาวบ้านเรียกว่า “หุ่งสีหลิน” จากตารางที่ 4.11 แสดง องค์ประกอบทางเคมี พบว่า มีปริมาณซิลิกา สูง ร้อยละ 60.59 ออกซิมีนา สูง ร้อยละ 21.84 จัดเป็นดิน เหนียวปนทราย มีเหล็กออกไซด์และไทเทเนียมออกไซด์รวมกันค่อนข้างสูง ร้อยละ 5.52 หลังเผาจึงมีสี ดินเข้มกว่าดินจาก อำเภอท่าศาลา ปริมาณรวมของสาร ออกคลาไลน์และออกคลาไลน์เออร์ช มีค่าใกล้เคียง ดินเหนียวจาก อำเภอท่าศาลา คือ ร้อยละ 3.08 การสูญเสียน้ำหนักหลังเผาค่า ร้อยละ 8.52 เนื้อดินจึง น้ำจะมีรายในปริมาณน้อยขึ้นเดียวกับดินเหนียวชั้นบน อำเภอท่าศาลา ดินเหนียวบ้านท่าเดียน สำหรับ ปริมาณ CaSO_4 มีค่าสูงพอสมควร 561 ppm ดังนั้นผลิตภัณฑ์หลังเผาจึงอาจเกิดกรอบขาวที่เรียกว่า เป็น “รา” ได้ นอกจากถ่าน้ำดินนี้ไปผลิตเครื่องปั้นดินเผานิคเคลียร์จะมีปัญหาการหลุดร่อนของคลีอิน ได้ดังนั้นผู้ผลิตที่จะใช้ดินในแหล่งนี้จึงควรเลือกชนิดผลิตภัณฑ์ให้เหมาะสมเพื่อลดปัญหาที่ตามมา กายหลัง

ตารางที่ 4.11 แสดงผลวิเคราะห์องค์ประกอบทางเคมีรวมของดินเหนียวบ้านท่าเตียน ตำบลปากพูน อำเภอเมือง จังหวัดนครศรีธรรมราช (กลุ่มเครื่องปั้นดินเผาบ้านท่าเตียน)

| องค์ประกอบทางเคมี | ร้อยละ |
|--------------------------|---------|
| SiO_2 | 60.59 |
| Al_2O_3 | 21.84 |
| Fe_2O_3 | 4.61 |
| TiO_2 | 0.91 |
| Na_2O | 0.09 |
| K_2O | 2.16 |
| MgO | 0.74 |
| CaO | 0.09 |
| CaSO_4 | 561 ppm |
| MnO_2 | 0.01 |
| P_2O_5 | 0.045 |
| การสูญเสียน้ำหนักหลังเผา | 8.52 |

4.3.2 องค์ประกอบทางเคมีทั่วไป

จากการวิเคราะห์แร่ในขนาดอนุภาคดิน พบว่าประกอบด้วยควอตซ์ เคโอลิโนน์ และอิลไลต์ ซึ่งคล้ายกับดินเหนียวชั้นบนและดินเหนียวชั้นล่างของ อำเภอท่าศาลา



รูปที่ 4.9 กราฟแสดงการเลี้ยงเบนของรังสีเอกซ์ องค์ประกอบเชิงแร่ของ

โครงการพัฒนา
ศูนย์ผลิตภัณฑ์และนวัตกรรม
สำหรับอุดมสมบูรณ์ ประจำปี 2553

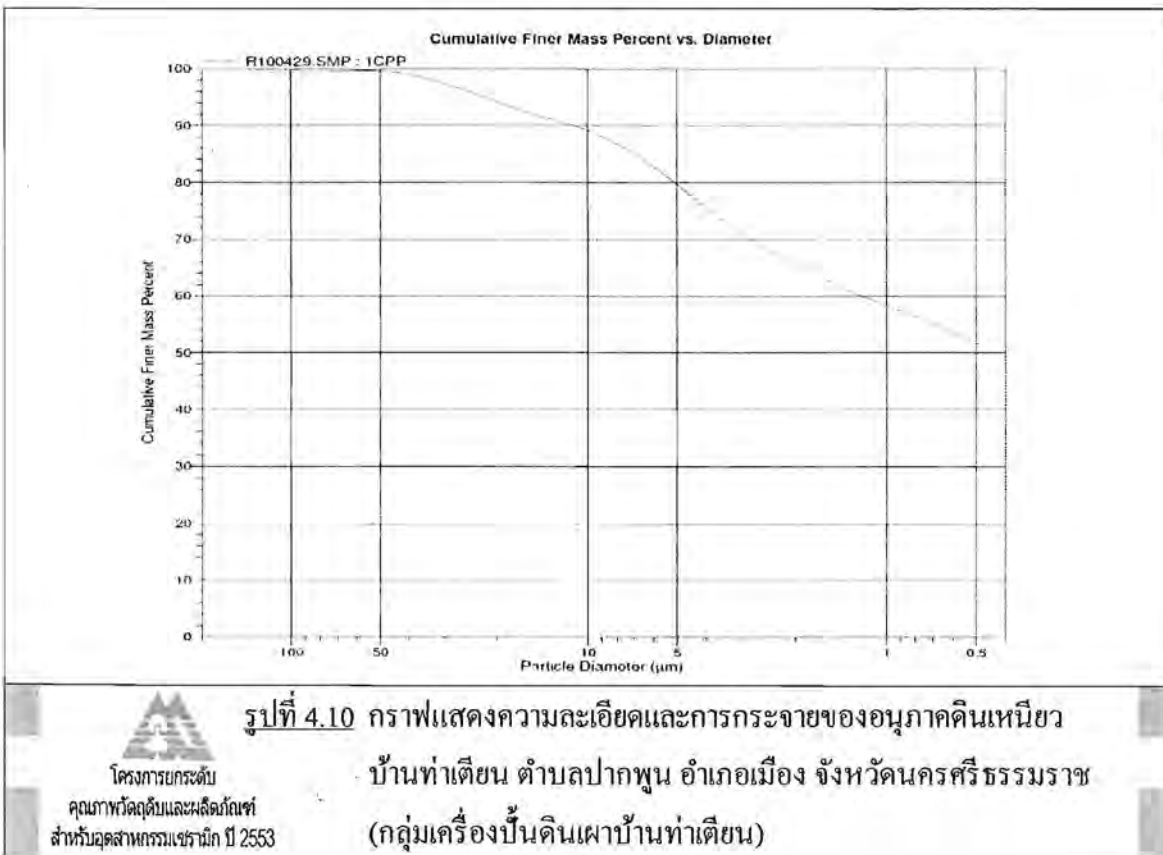
ดินเหนียวบ้านท่าเตียน ตำบลปากพูน อำเภอเมือง
จังหวัดนครศรีธรรมราช (กลุ่มเครื่องปั้นดินเผาบ้านท่าเตียน)

4.3.3 สมบัติทางกายภาพ

จากตารางที่ 4.12 แสดงค่าทางค้างตะแกรง การกระจายความละเมียด เมทิลลีนบลูอินเด็กซ์ ดัชนีความเหนียว พบร่วมกับมีปริมาณกากหยาบน้ำโดยกว่า 325 เมช ประปนอยู่พอสมควร ร้อยละ 7.94 มีอนุภาคที่เล็กกว่า 0.2 ไมโครเมตร ร้อยละ 65.6 เมทิลลีนบลูอินเด็กซ์มีค่าค่อนข้างต่ำ 5.25 มิลลิลิตริวิว่า เดนต์/100 กรัม ซึ่งน่าจะเป็นผลกากหยาและจากอิอนของเกลือแคลเซียม ทำให้คิดเกิดการเกาะกัน เป็นก้อนทำให้พื้นที่ผิวนิดลงจึงทำให้ค่านี้ต่ำลง สำหรับค่าดัชนีความเหนียว มีค่าค่อนข้างสูงคือ 29.2 ดังนั้นจึงเป็นดินที่มีเนื้อเนียนละเอียดพอสมควร

ตารางที่ 4.12 แสดงสมบัติทางกายภาพของดินเหนียวบ้านท่าเตียน ตำบลปากพูน อำเภอเมือง จังหวัดนครศรีธรรมราช (กลุ่มเครื่องปืนดินเผาบ้านท่าเตียน)

| ตารางที่ 4.12 แสดงสมบัติทางกายภาพของดินเหนียวบ้านท่าเตียน ตำบลปากพูน อำเภอเมือง จังหวัดนครศรีธรรมราช (กลุ่มเครื่องปืนดินเผาบ้านท่าเตียน) | | | | | |
|--|---|---------------|------|------------------|------|
| 100 เมช | 1.58 | 200 เมช | 4.42 | 325 เมช | 7.94 |
| การกระจายความละเอียดสะสม (ร้อยละ) | | | | | |
| <120 ไมโครเมตร | 99.5 | <70 ไมโครเมตร | 99.6 | <53 ไมโครเมตร | 99.7 |
| <40 ไมโครเมตร | 99.1 | <20 ไมโครเมตร | 94.2 | <10 ไมโครเมตร | 89.2 |
| <5 ไมโครเมตร | 79.7 | <2 ไมโครเมตร | 65.6 | <1 ไมโครเมตร | 58.4 |
| <0.5 ไมโครเมตร | 51.7 | | | | |
| เมทิกลีนบลูอินเด็กซ์ | 5.25 มิลลิโควันเดนต์/100 กรัม (meq/100 g) | | | | |
| Atterberg plasticity Test | | | | | |
| Liquid limit | 53.8 | Plastic limit | 24.6 | Plasticity index | 29.2 |



4.3.4 สมบัติทางการขึ้นรูป

จากตารางที่ 4.13 แสดงค่า ความชื้นในแท่งคินรีด การหดตัวและความแข็งแรงหลังอบแห้ง พบว่า คินเหนียวบ้านท่าเตียน สามารถรีดขึ้นรูปได้โดยแท่งคินไม่แตกหักเสียหาย เมื่อใช้น้ำพรมร้อยละ 24.71 ซึ่งใกล้เคียงกับคินเหนียวชั้นด่าง เมื่อแห้งมีค่าการหดตัวซิงเส็น ร้อยละ 6.39 ค่าความแข็งแรงหลังแห้ง 1,357 ปอนด์ต่อตารางนิ้ว ซึ่งมีค่าสูงกว่าคินเหนียวชั้นบนและชั้นด่าง อ่อนกว่าท่าศาลา จากผลที่ได้นี้แสดงให้เห็นว่า คินที่มีความแข็งแรงหลังอบแห้งสูง ต้องมีสัดส่วนของอนุภาคละเอียดและอนุภาคใหญ่ที่เหมาะสม

**ตารางที่ 4.13 แสดงปริมาณความชื้นในแท่งคินรีด การหดตัวเมื่อแห้ง และความแข็งแรงเมื่อแห้งของคินเหนียวบ้านท่าเตียน ตำบลปากพูน อําเภอเมือง จังหวัดนครศรีธรรมราช
(กลุ่มเครื่องปั้นดินเผาบ้านท่าเตียน)**

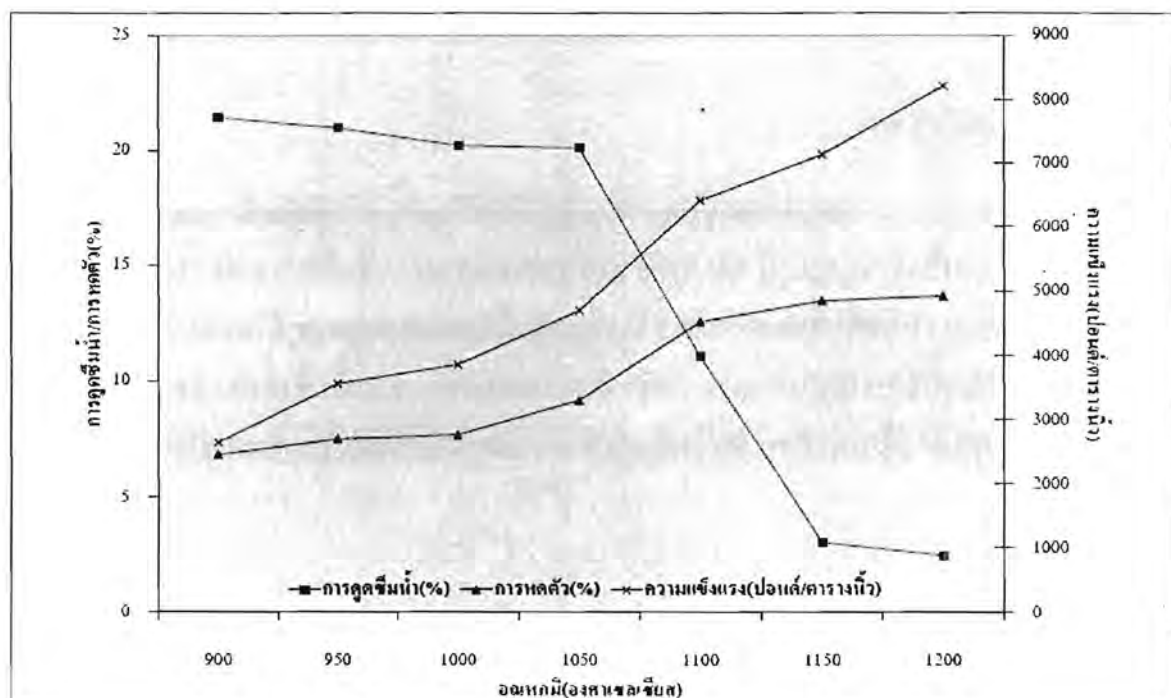
| แหล่งคิน | ความชื้นในแท่งคินรีด (ร้อยละ) | การหดตัวเมื่อแห้ง (ร้อยละ) | ความแข็งแรงเมื่อแห้ง (ปอนด์ต่อตารางนิ้ว) |
|-----------------------|----------------------------------|-------------------------------|---|
| คินเหนียวบ้านท่าเตียน | 24.71±0.28 | 6.39±0.30 | 1,357.00±102.11 |

4.3.5 สมบัติหลังเผา

จากตารางที่ 4.14 และรูปที่ 4.11 แสดงค่าการหดตัวเชิงเส้น การคุณซึมน้ำ และความแข็งแรงของแท่งคินหลังเผาในช่วงอุณหภูมิ 900-1200 องศาเซลเซียส พบว่า คินมีการหดตัวประมาณร้อยละ 6.81-13.66 โดยมีแนวโน้มเพิ่มขึ้นตามลำดับ ค่าการคุณซึมน้ำลดลงตามอุณหภูมิ โดยมีค่าอยู่ในช่วงร้อยละ 21.44-2.47 ความแข็งแรงมีค่าประมาณ 2,643 -8,212 ปอนด์ต่อตารางนิ้ว ซึ่งสอดคล้องกับค่าการคุณซึมน้ำที่คำลาก คินเหนียวบ้านท่าเตียน จัดเป็นคินที่มีช่วงการเผาไม่กว้างนัก สามารถทนไฟได้ 1200 องศาเซลเซียส

ตารางที่ 4.14 แสดงค่าเฉลี่ยการหดตัวหลังเผา อัตราการดูดซึมน้ำและความแข็งแรงหลังเผาของ
คินเนนิขวบ้านท่าเตียน ตำบลปากพูน อำเภอเมือง จังหวัดนครศรีธรรมราช
(กลุ่มเครื่องปืนดินเผาบ้านท่าเตียน)

| อุณหภูมิ (องศาเซลเซียส) | การหดตัวหลังเผา (ร้อยละ) | การดูดซึมน้ำ (ร้อยละ) | ความแข็งแรงหลังเผา (ปอนด์ต่อตารางนิ้ว) |
|----------------------------|-----------------------------|--------------------------|---|
| 900 | 6.81±0.33 | 21.44±0.39 | 2,643.14±241.46 |
| 950 | 7.49±0.13 | 21.00±0.63 | 3,553.59±269.42 |
| 1,000 | 7.66±0.45 | 20.23±0.52 | 3,851.23±277.84 |
| 1,050 | 9.17±0.90 | 20.12±0.79 | 4,699.35±659.70 |
| 1,100 | 12.55±0.24 | 11.05±0.80 | 6,417.69±463.59 |
| 1,150 | 13.47±0.21 | 3.02±1.18 | 7,137.72±772.43 |
| 1,200 | 13.66±0.29 | 2.47±0.48 | 8,212.29±979.76 |



รูปที่ 4.11 กราฟแสดงความสัมพันธ์ระหว่างการหดตัว ความแข็งแรงและการ
ดูดซึมน้ำหลังเผา กับอุณหภูมิของคินเนนิขวบ้านท่าเตียน
ตำบลปากพูน อำเภอเมือง จังหวัดนครศรีธรรมราช
(กลุ่มเครื่องปืนดินเผาบ้านท่าเตียน)

4.3.6 สมบัติสีดินก่อ土และหลังเพา

ตารางที่ 4.15 แสดงค่าของสีในระบบชีไออี และสังเกตพินิจด้วยตาของคินเนนขวบ้านท่าเดียน ก่อต์และหลังเพาที่อุณหภูมิ 900-1200 องศาเซลเซียส พบว่า ค่าความสว่าง (L) มีค่าประมาณ 49.43-67.57 ค่าทดสอบสีแดงและสีเขียว (a) มีค่าบวกประมาณ 13.70-19.43 สำหรับค่าสีน้ำเงินหรือสีเหลือง (b) มีค่าบวก ประมาณ 22.20-31.6 จากที่ 4.12 ทดสอบสีดินก่อต์เพามีสีเทาเข้ม และหลังเพาซึ่ง อุณหภูมิ 900-1200 องศาเซลเซียส จะเปลี่ยนไปตามอุณหภูมิโดยช่วงอุณหภูมิ 900-950 องศาเซลเซียส มีสีส้มเข้มและ 1000-1100 องศาเซลเซียส มีสีส้มอ่อน เมื่อเพิ่มอุณหภูมิเป็น 1150-1200 องศาเซลเซียส กล้ายเป็นสีน้ำตาลอ่อนและน้ำตาล ซึ่งสอดคล้องกับค่าตัวแปรของสีที่วัดในระบบชีไออี สำหรับสีดิน หลังเพาของคินเนนขวบ้านท่าเดียนจะมีเหลืองปนกว่าสีดินเนนขวบ้านชั้นบนและล่างของคินเนนขว อำเภอ ท่าศาลา

ตารางที่ 4.15 ทดสอบค่าการวัดสีดินก่อต์เพาและหลังเพาที่อุณหภูมิต่างๆของคินเนนขวบ้านท่าเดียน

ตำบลปากพูน อำเภอเมือง จังหวัดนครศรีธรรมราช (กลุ่มเครื่องปั้นดินเผาบ้านท่าเดียน)

| อุณหภูมิ (องศาเซลเซียส) | ค่าการวัดสีระบบชีไออี (L*a*b*) | | | สีที่สังเกตด้วยตา |
|----------------------------|--------------------------------|--------|--------|-------------------|
| | L | a | b | |
| ก่อต์เพา | 52.15 | +2.39 | +12.09 | เทาเข้ม |
| 900 | 63.02 | +14.42 | +26.88 | ส้มเข้ม |
| 950 | 65.22 | +14.65 | +28.73 | ส้มเข้ม |
| 1,000 | 66.93 | +15.15 | +30.04 | ส้มอ่อน |
| 1,050 | 67.57 | +14.19 | +30.87 | ส้มอ่อน |
| 1,100 | 64.43 | +15.26 | +32.65 | ส้มอ่อน |
| 1,150 | 55.55 | +19.43 | +31.18 | น้ำตาลอ่อน |
| 1,200 | 49.43 | +13.70 | +22.20 | น้ำตาล |

หมายเหตุ

ใช้กำหนดค่าความสว่าง

$L = 0$ แสดงว่าตัวอย่างมีสีดำสมบูรณ์

$L = 100$ แสดงว่าตัวอย่างมีสีขาวสมบูรณ์

a ใช้กำหนดสีแดงและสีเขียว

a ค่าเป็นวง สีจะไปในทิศทางสีแดง

a ค่าเป็นลบ สีจะไปในทิศทางสีเขียว

b ใช้กำหนดสีเหลืองหรือสีน้ำเงิน

b ค่าเป็นวง สีจะไปในทิศทางสีเหลือง

b ค่าเป็นลบ สีจะไปในทิศทางสีน้ำเงิน



4.3.7 ศักยภาพในการใช้ประโยชน์

ดินเนียร์บ้านทำเตียนเป็นดินเนียร์เนื้อนิ่ง สามารถขึ้นรูปได้ง่ายและไม่แตกหักเสียหาย หลังแห้งผลิตภัณฑ์มีความแข็งแรง เมื่อเผาแล้วผลิตภัณฑ์จะมีสีส้มเข้มถึงน้ำตาล ทนไฟได้ประมาณ

1200 องศาเซลเซียส มีความเหมาะสมในการนำมาผลิตเครื่องปั้นดินเผาตกแต่งสวนทั้งขนาดเล็กและขนาดใหญ่ อาทิ ตุ๊กตาตกแต่งสวน กระถาง นอกจากนี้ยังมีศักยภาพที่จะนำไปพัฒนาคอลือบไฟสูง

4.4 เนื้อดินปั้นโนมคลาน อันกอท่าศาลา จังหวัดนครศรีธรรมราช

4.4.1 สมบัติทางเคมี

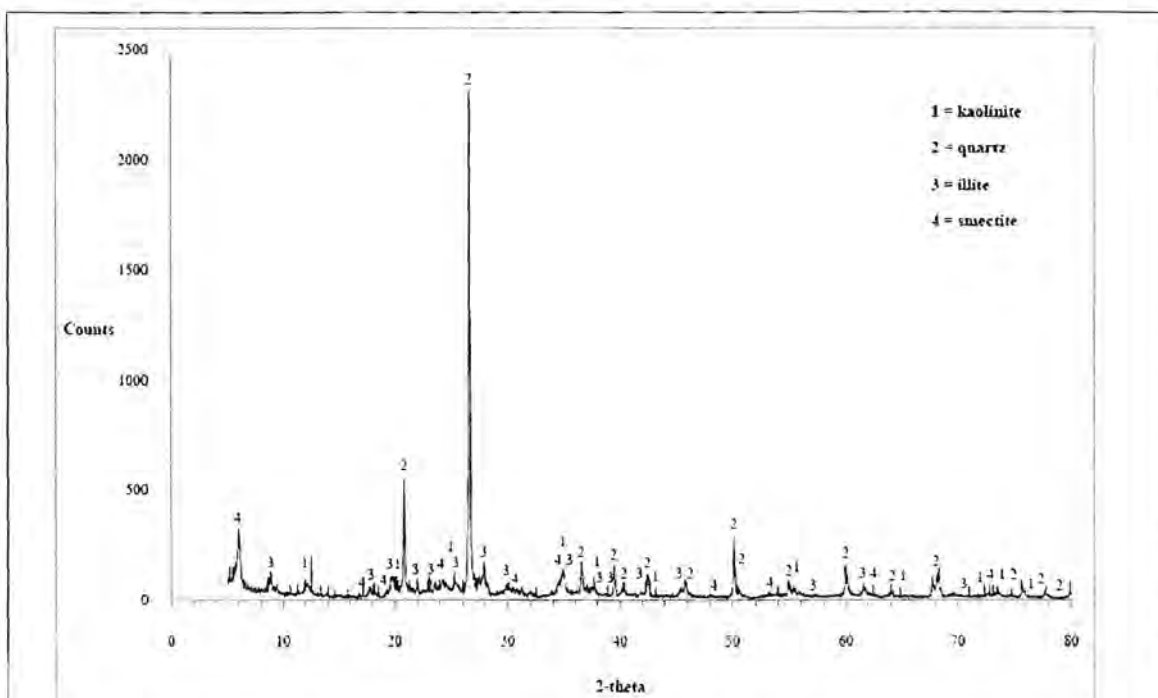
ดินที่นำมาศึกษา คือ เนื้อดินปั้นโนมคลาน จ.นครศรีธรรมราช จากตารางที่ 4.16 แสดงองค์ประกอบทางเคมีของเนื้อดินปั้นโนมคลาน พบร้า มีซิลิกา สูงมาก ร้อยละ 74.50 อัลูมิเนียม ค่อนข้างต่ำ ร้อยละ 14.82 ดินจึงมีทรัพย์ปานสูงมาก ซึ่งน่าจะเป็นทรัพย์ที่นำมาผสมในเนื้อดินปั้น ปริมาณ เหล็กออกไซด์และไทเทเนียมออกไซด์รวมกัน ร้อยละ 3.14 สารสตดคุณภูมิการเผา ห้อง แอลคาไลน์ และแอลคาไลน์เอร์ช มีปริมาณรวมกันไม่สูงนัก ร้อยละ 3.33 การสูญเสียน้ำหนักหลังเผา มีค่าร้อยละ 4.68 ซึ่งค่อนข้างต่ำ และคงมีทรัพย์ปานมาก ซึ่งสอดคล้องกับปริมาณซิลิกาที่กล่าวมาแล้วข้างต้น นอกจากนี้มีปริมาณ CaSO_4 ที่มีค่า 210 ppm ซึ่งก็อาจมีปัญหาการขาวบนผิวของผลิตภัณฑ์ได้เช่นเดียวกับดินเหนียวบ้านท่าเตียน

ตารางที่ 4.16 แสดงผลวิเคราะห์องค์ประกอบทางเคมีรวมของเนื้อดินปั้นโนมคลาน
จังหวัดนครศรีธรรมราช

| องค์ประกอบทางเคมี | ร้อยละ |
|--------------------------|---------|
| SiO_2 | 74.50 |
| Al_2O_3 | 14.82 |
| Fe_2O_3 | 2.50 |
| TiO_2 | 0.64 |
| Na_2O | 0.39 |
| K_2O | 2.31 |
| MgO | 0.52 |
| CaO | 0.11 |
| CaSO_4 | 210 ppm |
| MnO_2 | 0.009 |
| P_2O_5 | 0.022 |
| การสูญเสียน้ำหนักหลังเผา | 4.68 |

4.4.2 สมบัติทางแร่วิทยา

จากการวิเคราะห์แร่ในขนาดอนุภาคดิน พบร่วมกับค่าวารժที่ เค โอลีนต์ อิลไลต์ นอกจากนี้มีแร่สเมกタイトซึ่งแร่นินดีจะมีอนุภาคขนาดเล็กมาก ดังนั้นเนื้อดินที่มีแร่นี้ปะปนจึงมักมีเนื้อเป็นตะเข็บและมีความเหนียวสูง



รูปที่ 4.13 กราฟแสดงการเลี้ยงแบบของรังสีเอกซ์ องค์ประกอบเชิงแร่ของเนื้อดินปืน ไม่คลาน สำเภาหัวศาลาจังหวัดนครศรีธรรมราช

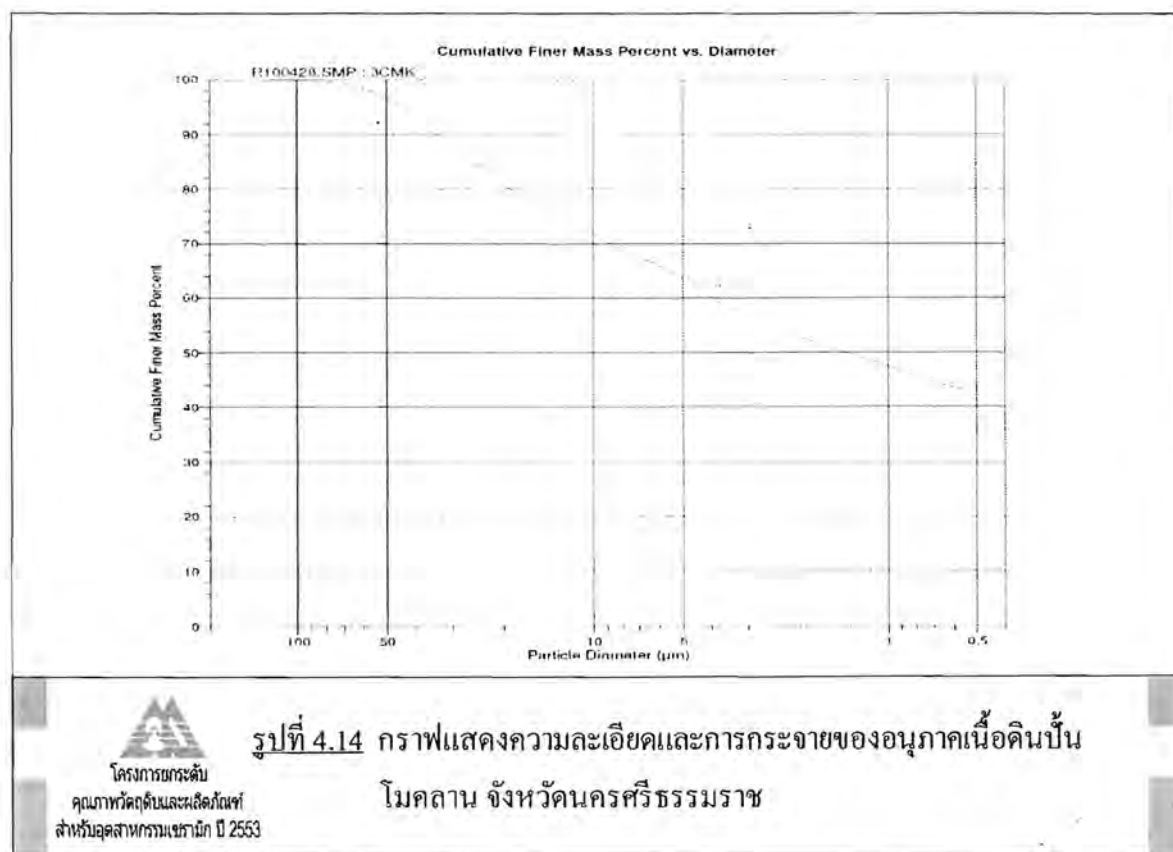
สำนักอุดมศึกษาฯ ปี 2553

4.4.3 สมบัติทางกายภาพ

จากตารางที่ 4.17 แสดงค่ากากถ่างตะแกรง การกระจายความละเอียด เมทิลลีนบลูอินเด็กซ์ ค่าหนึ่นความหนืดไขว พบร่วมกับคินที่ไม่ละเอียดมาก มีปริมาณกากหินขนาดโตกว่า 325 เมช ค่อนข้างสูง ร้อยละ 27.27 มีอนุภาคที่เล็กกว่า 2 ไมโครเมตร ร้อยละ 52.8 ค่าเมทิลลีนบลูอินเด็กซ์ มีค่า 9.25 มิลลิโอมิวแวนต์/100 กรัม ค่าดัชนีความหนืดไขว มีค่าพอกควร คือ 20.4 จากผลการวิเคราะห์แสดงให้เห็นว่าเนื้อดินปืน ไม่คลานนี้มีเนื้อหินซึ่งนำจะเนื่องจากการผสมทรายเพื่อช่วยลดการหลุดตัวของเนื้อดินอันจะช่วยความเสียหายของผลิตภัณฑ์หลังการตกแต่ง

ตารางที่ 4.17 แสดงสมบัติทางกายภาพของเนื้อดินปืน โนคลาน สำหรับหัวคันครีดกรรมราช

| ภาคค้างระบายน้ำต่ำ (ร้อยละ) | | | | | |
|-----------------------------------|--|---------------|-------|------------------|-------|
| 100 เมช | 13.75 | 200 เมช | 19.47 | 325 เมช | 27.27 |
| การกระจายความละเอียดสะสม (ร้อยละ) | | | | | |
| <120 ไมโครเมตร | 99.8 | <70 ไมโครเมตร | 99.2 | <53 ไมโครเมตร | 97.3 |
| <40 ไมโครเมตร | 93.2 | <20 ไมโครเมตร | 80.9 | <10 ไมโครเมตร | 71.6 |
| <5 ไมโครเมตร | 63.5 | <2 ไมโครเมตร | 52.8 | <1 ไมโครเมตร | 47.5 |
| <0.5 ไมโครเมตร | 43.0 | | | | |
| เมทิลีนบลูอินเดกซ์ | 9.25 มิลลิโควิตาเดนต์/100 กรัม (meq/100 g) | | | | |
| Atterberg plasticity Test | | | | | |
| Liquid limit | 36.5 | Plastic limit | 16.1 | Plasticity index | 20.4 |



4.4.4 สมบัติทางการขึ้นรูป

จากการที่ 4.18 แสดงค่า ความชื้นในแท่งดินรีด การหดตัวและความแข็งแรงหลังอบแห้ง พบว่า เมื่อดินบืน ไม่คลาน สามารถรีดขึ้นรูปได้เมื่อใช้น้ำพอสมรรถนะ 21.03 เมื่อแห้งมีค่าการหดตัวซึ่ง เส้นค่อนข้างสูง ร้อยละ 7.32 ค่าความแข็งแรงหลังแห้ง มีค่า 1,345 ปอนด์ต่อตารางนิว ซึ่งเป็นผลจาก การมีแร่สเมกタイトที่มีเนื้อละเอียดช่วยยึดอนุภาคดินให้เชื่อมติดกัน จึงทำให้มีค่าความแข็งแรงสูงทั้งที่มี กากหินบดสูง

ตารางที่ 4.18 แสดงปริมาณความชื้นในแท่งดินรีด การหดตัวเมื่อแห้ง และความแข็งแรงเมื่อแห้งของ เมื่อดินบืน ไม่คลาน จังหวัดนครศรีธรรมราช

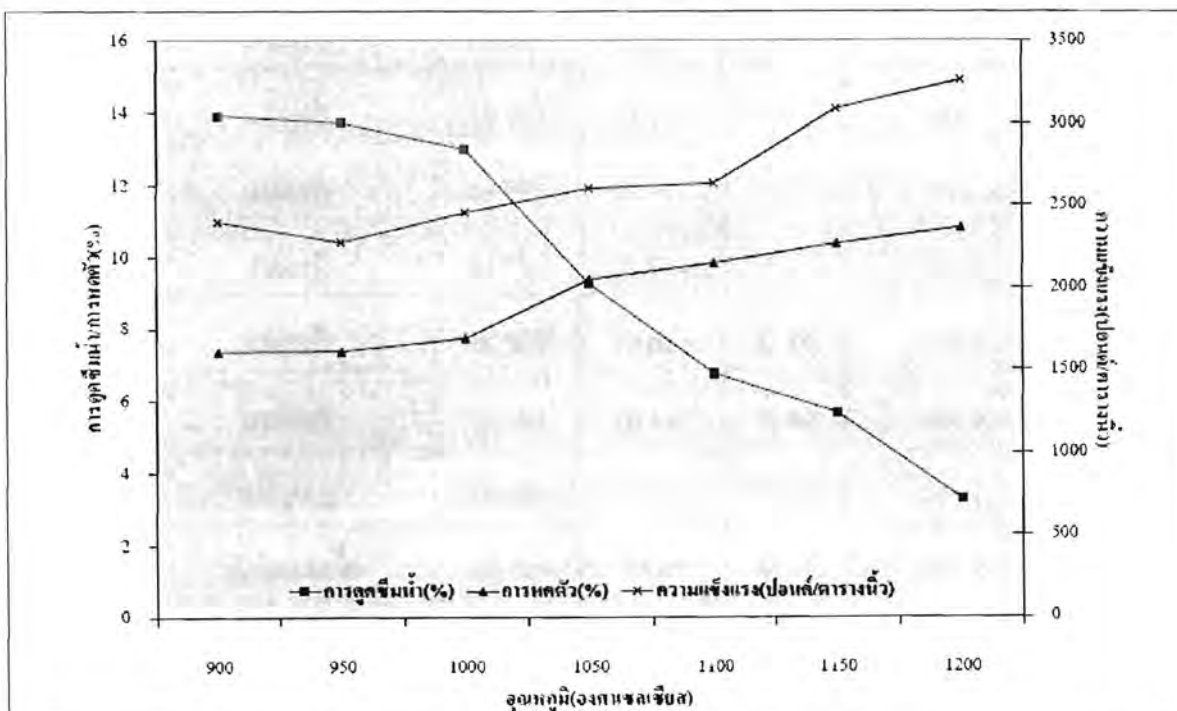
| แหล่งดิน | ความชื้นในแท่งดินรีด (ร้อยละ) | การหดตัวเมื่อแห้ง (ร้อยละ) | ความแข็งแรงเมื่อแห้ง (ปอนด์ต่อตารางนิว) |
|---------------------|----------------------------------|-------------------------------|--|
| เมื่อดินบืน ไม่คลาน | 21.03±0.43 | 7.32±0.14 | 1,344.57±129.14 |

4.4.5 สมบัติหลังเผา

จากการที่ 4.19 และรูปที่ 4.15 แสดงค่าการหดตัวเชิงเส้น การดูดซึมน้ำ และความแข็งแรง ของแท่งดินหลังเผาในช่วงอุณหภูมิ 900-1200 องศาเซลเซียส พบร้า ดินมีการหดตัวประมาณ ร้อยละ 7.35-10.81 มีค่าการดูดซึมน้ำลดลงตามอุณหภูมิโดยมีค่าอยู่ในช่วง ร้อยละ 13.92-3.26 ความแข็งแรงมี ค่าประมาณ 2,400 -3,258 ปอนด์ต่อตารางนิว ซึ่งเป็นค่าที่ไม่สูงนักและต่ำกว่าดินเหนียว อ.ท่าศาลา ทั้งที่ มีความแข็งแรงหลังอบแห้งสูงกว่า ซึ่งเป็นผลจากเนื้อดินบืนมีรายปานมากทำให้เนื้อดินทนไฟกว่า ในช่วงอุณหภูมิการเผา ที่ใช้ในการศึกษานี้ สำหรับเนื้อดินบืน ไม่คลานนับเป็นดินที่มีช่วงการเผาที่กว้าง พอสมควร เมื่อดินบืน ไม่คลานมีความทนไฟได้สูงกว่า 1200 องศาเซลเซียส

ตารางที่ 4.19 แสดงค่าเฉลี่ยการหดตัวหลังเผา อัตราการคุณซึมน้ำ และความแข็งแรงหลังเผาของ
เนื้อดินปืนโนมคลาน จังหวัดนครศรีธรรมราช)

| อุณหภูมิ (องศาเซลเซียส) | การหดตัวหลังเผา (ร้อยละ) | การคุณซึมน้ำ [*] (ร้อยละ) | ความแข็งแรงหลังเผา (ปอนด์ต่อตารางนิวตัน) |
|----------------------------|-----------------------------|---------------------------------------|---|
| 900 | 7.35±0.16 | 13.92±0.28 | 2,399.89±183.91 |
| 950 | 7.37±0.16 | 13.72±0.09 | 2,276.99±260.34 |
| 1,000 | 7.73±0.41 | 12.99±0.49 | 2,457.44±212.12 |
| 1,050 | 9.37±0.13 | 9.24±1.02 | 2,605.39±146.37 |
| 1,100 | 9.82±0.16 | 6.74±0.39 | 2,634.52±536.97 |
| 1,150 | 10.36±0.32 | 5.66±0.31 | 3,086.80±510.66 |
| 1,200 | 10.81±0.12 | 3.26±0.57 | 3,258.52±485.11 |



4.4.6 สนับติดินก่อนและหลังมา

ตารางที่ 4.20 แสดงค่าของสีในระบบซีไออี (CIE) และสังเกตพินิจด้วยตาของเนื้อดินบืนไม่คลาน ก่อนและหลังมาที่อุณหภูมิ 900-1200 องศาเซลเซียส พบว่า ค่าความสว่าง (L) มีค่าประมาณ 60.40-70.73 ค่าแสดงสีแดงและสีเขียว (a) มีค่าบวกประมาณ 6.01-17.21 สำหรับค่าสีน้ำเงินหรือสีเหลือง (b) มีค่าบวก ประมาณ 22.82-29.59 ดินก่อนเผามีสีเทาอ่อน สำหรับสีของดินหลังมาห่วงอุณหภูมิ 900-1200 องศาเซลเซียส จะมีสีเปลี่ยนไปตามอุณหภูมิโดยห่วงอุณหภูมิ 900-1100 มีส้มอ่อนเมื่อเพิ่มอุณหภูมิเป็น 1150-1200 องศาเซลเซียส ได้กล้ายเป็นชนพูเข้มและน้ำตาลอ่อนตามลำดับ ตามการเปลี่ยนสถานะออกซิเดชันของเหล็กออกไซด์ ดังรูปที่ 4.16

ตารางที่ 4.20 แสดงค่าการวัดสีดินก่อนเผาและหลังมาที่อุณหภูมิต่างๆ ของเนื้อดินบืนไม่คลาน
จังหวัดนครศรีธรรมราช

| อุณหภูมิ (องศาเซลเซียส) | ค่าการวัดสีระบบซีไออี ($L^*a^*b^*$) | | | สีที่สังเกตด้วยตา |
|----------------------------|---------------------------------------|--------|--------|-------------------|
| | L | a | b | |
| ก่อนมา | 60.40 | +3.00 | +14.14 | เทาอ่อน |
| 900 | 68.70 | +11.27 | +25.59 | ส้มอ่อน |
| 950 | 70.07 | +11.22 | +27.15 | ส้มอ่อน |
| 1,000 | 70.73 | +17.21 | +27.82 | ส้มอ่อน |
| 1,050 | 69.76 | +10.67 | +29.59 | ส้มอ่อน |
| 1,100 | 64.09 | +14.02 | +31.92 | ส้มอ่อน |
| 1,150 | 60.49 | +13.60 | +28.37 | ชนพูเข้ม |
| 1,200 | 61.36 | +6.01 | +22.82 | น้ำตาลอ่อน |

หมายเหตุ

L ใช้กำหนดค่าความสว่าง

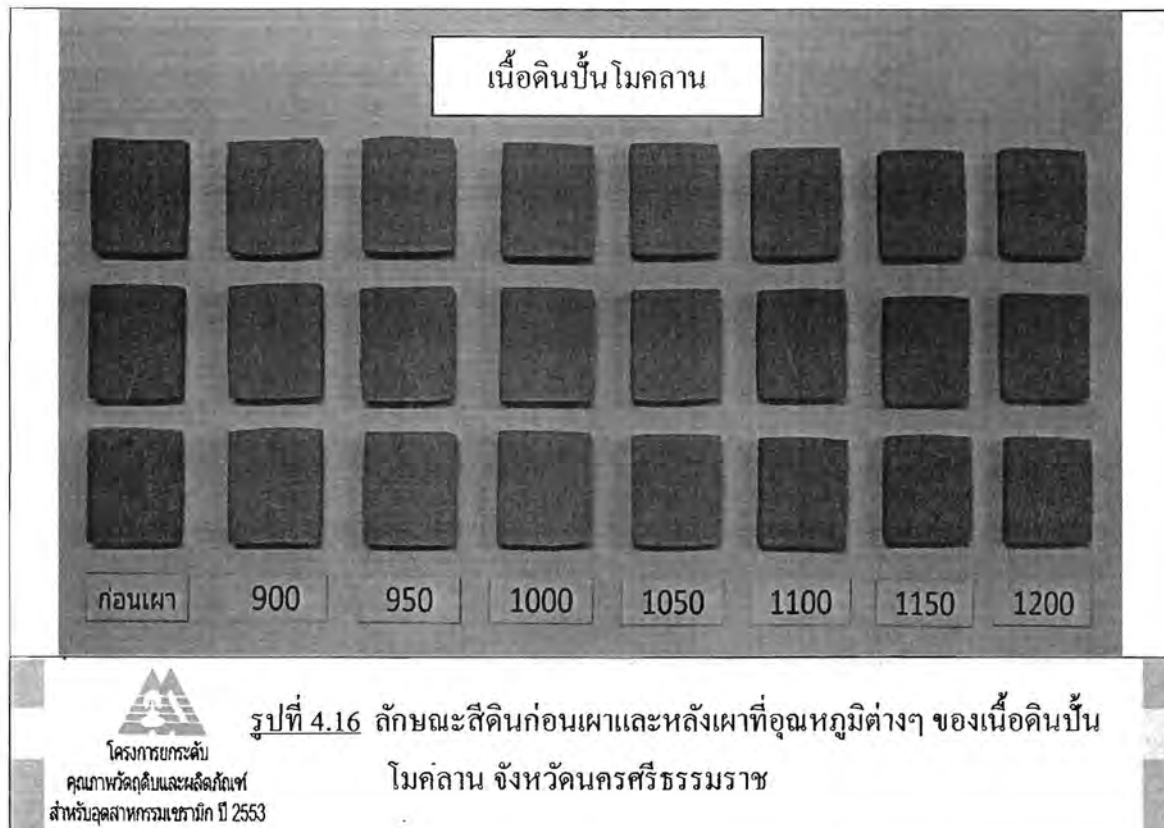
$L = 0$ แสดงว่าตัวอย่างมีสีดำสมบูรณ์

$L = 100$ แสดงว่าตัวอย่างมีสีขาวสมบูรณ์

a ใช้กำหนดสีแดงและสีเขียว

a ค่าเป็นบวก สีจะไปในทิศทางสีแดง

- a ค่าเป็นลบ สีจะไปในทิศทางสีเขียว
- b ใช้กำหนดสีเหลืองหรือสีน้ำเงิน
- b ค่าเป็นบวก สีจะไปในทิศทางสีเหลือง
- b ค่าเป็นลบสีจะไปในทิศทางสีน้ำเงิน



4.4.7 ศักยภาพในการใช้ประโยชน์

เนื้อดินปืน โนมคลาน เป็นเนื้อดินที่ไม่เนียนละเอียดนัก ปริมาณน้ำที่ใช้ในการขึ้นรูปอยู่ในเกณฑ์ของดินเหนียวทั่วไป หลังเพาผลิตภัณฑ์จะมีสีส้มอ่อนถึงน้ำตาลอ่อน ทนไฟได้เกิน 1,200 องศาเซลเซียส มีความเหมาะสมในการนำมาผลิตเครื่องปั้นดินเพาที่ใช้สอยหรือตกแต่งต่างๆ อาทิ กระถางต้นไม้ ผลิตภัณฑ์ตกแต่งสวน

**4.5 ดินเหนียวอ่ำเกอร์อนพิบูลย์ จังหวัดนครศรีธรรมราช
(โรงงานจอกยางบ้านสามร้อยกล้า)**

4.5.1 องค์ประกอบทางเคมี

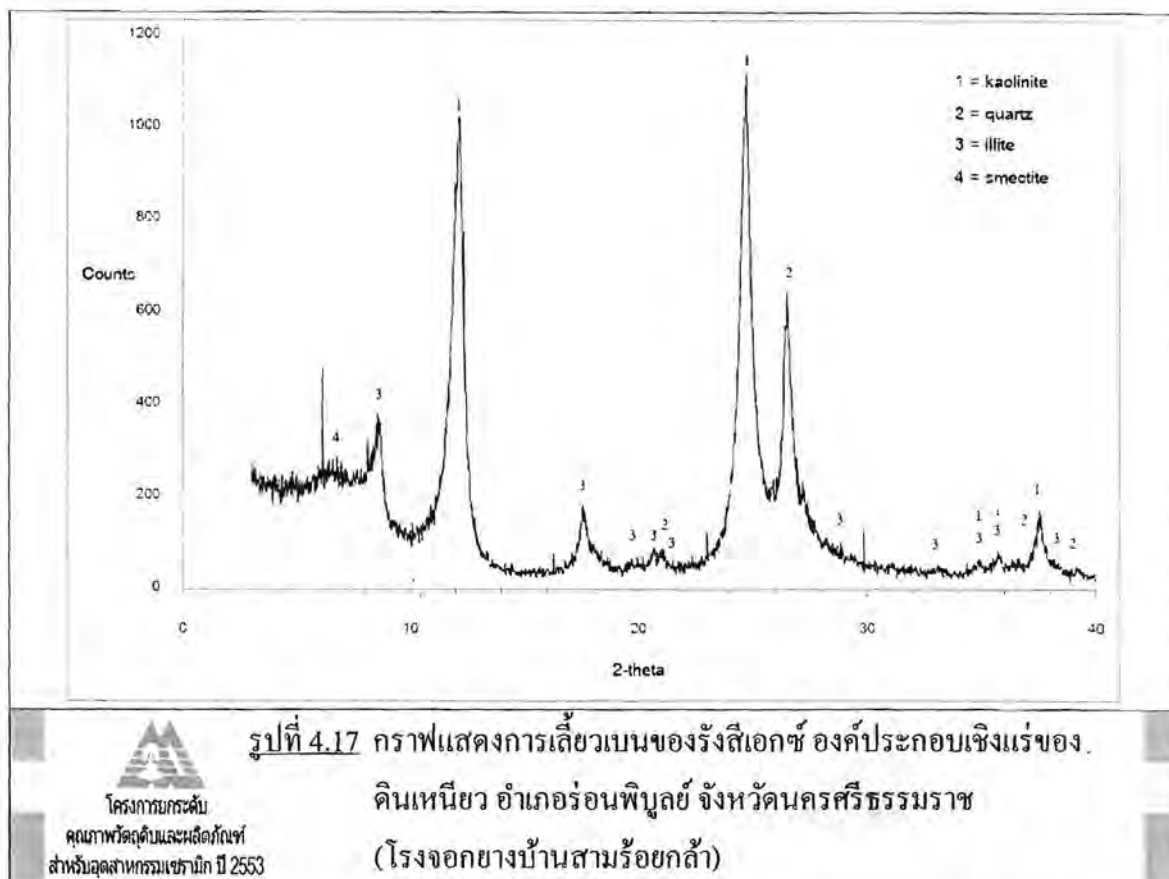
ดินเหนียวอ่อมเกอร์อนพิบูลย์ที่นำมาศึกษาเป็นดินอ่อมเกอร์อนพิบูลย์ จากโรงงานจอกน้ำยางพาราบ้านสามร้อยกล้า จากผลการวิเคราะห์ขององค์ประกอบทางเคมี ซึ่งแสดงในตารางที่ 4.21 พบว่าประกอบด้วย ชิลิ ก้า ซึ่งมีค่าไม่สูงนัก ร้อยละ 57.15 อลูมินา สูง ร้อยละ 26.29 ซึ่งมีแร่ดินเหนียวปูนมากพอควร นอกจากนั้นก็รายละเอียดป่นบ้าง ปริมาณรวมของเหล็กออกไซด์และไทเทเนียมออกไซด์ มีค่าไม่สูงนัก ร้อยละ 4.02 ส่วนให้ผลิตภัณฑ์หลังเผามีสีไม่เข้มมาก ประกอบด้วย แอลคาไลน์ และแอลคาไลน์ เอิร์ฟ มีปริมาณรวมกันค่อนข้างสูง ร้อยละ 5.20 ดินจึงไม่ทนไฟมากนัก หลังเผามีค่าการสูญเสียน้ำหนัก หลังเผา พอสมควร ร้อยละ 7 เนื่องดินจึงน่าจะทรุดปูนน้อยเช่นเดียวกับดินเหนียวชั้นบนอ่อมเกอร์ท่าศาลา และ ดินเหนียวบ้านท่าเตียน

**ตารางที่ 4.21 แสดงผลวิเคราะห์ขององค์ประกอบทางเคมีรวมของดินเหนียว อ่อมเกอร์อนพิบูลย์
จังหวัดนครศรีธรรมราช (โรงงานจอกยางบ้านสามร้อยกล้า)**

| องค์ประกอบทางเคมี | ร้อยละ |
|--------------------------------|---------|
| SiO ₂ | 57.15 |
| Al ₂ O ₃ | 26.29 |
| Fe ₂ O ₃ | 3.62 |
| TiO ₂ | 0.40 |
| Na ₂ O | 0.52 |
| K ₂ O | 4.26 |
| MgO | 0.34 |
| CaO | 0.08 |
| CaSO ₄ | <87 ppm |
| MnO ₂ | 0.031 |
| P ₂ O ₅ | 0.043 |
| การสูญเสียน้ำหนักหลังเผา | 7.31 |

4.5.2 สมบัติทางเควิทยา

จากการวิเคราะห์แร่ในขนาดอนุภาคดิน พบร่วมกับองค์ประกอบด้วยแร่เคลือบในตัว ควอตซ์ อิลไลต์ และสเมกไทด์ ดังรูปที่ 4.17

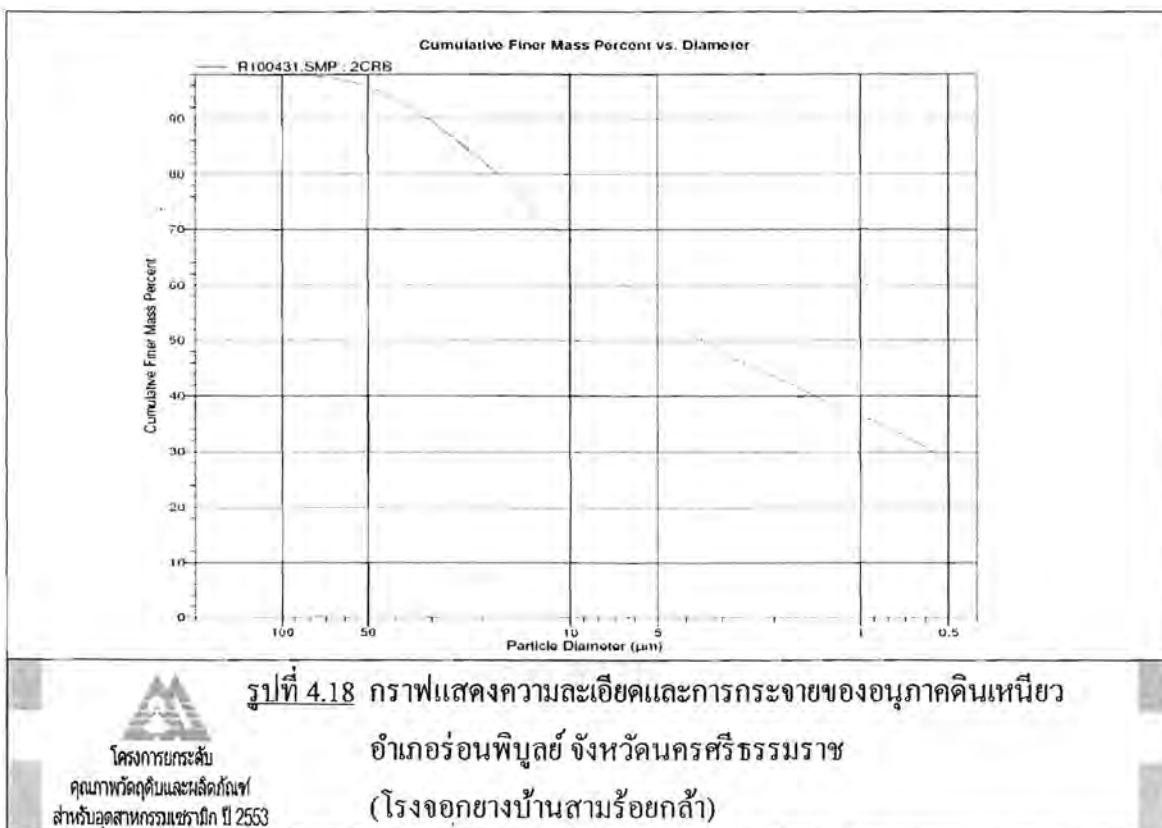


4.5.3 สมบัติทางกายภาพ

จากตารางที่ 4.22 แสดงค่าภาคต่างตระแกรง การกระจายความละเอียด เมทิลลีนบลูอินเด็กซ์ ดัชนีความเหนียว พบร่วมกับปริมาณภาคหยานขนาดใหญ่กว่า 325 เมช ค่อนข้างสูงคือ ร้อยละ 20.90 มีอนุภาคที่เล็กกว่า 2 ไมโครเมตร ค่อนข้างต่ำ ร้อยละ 43.6 ค่าเมทิลลีนบลูอินเด็กซ์ มีค่า 5.23 มิลลิอิโววิว เลนต์/100 กรัม ค่าดัชนีความเหนียว มีค่าปานกลางคือ 18.7 จากผลดังที่กล่าวมาแล้วนี้ทำให้ดินนี้ไม่นียนละเอียดนักและมีเนื้อหยานกว่าดินแหล่งอื่น ยกเว้นดินบืนไม่คลาน

ตารางที่ 4.22 แสดงสมบัติทางภาพของดินเหนียว สำหรับร่อนพิบูลย์
จังหวัดนครศรีธรรมราช (โรงจอกยางบ้านสามร้อยกล้า)

| ภาคค่างสะสมน้ำตะแกรง (ร้อยละ) | | | | | |
|--|--|---------------|-------|------------------|-------|
| 100 เมช | 5.04 | 200 เมช | 14.58 | 325 เมช | 20.90 |
| การกระจายความละเอียดสะสม (ร้อยละ) | | | | | |
| <120 ไมโครเมตร | 97.8 | <70 ไมโครเมตร | 97.5 | <53 ไมโครเมตร | 96.2 |
| <40 ไมโครเมตร | 93.6 | <20 ไมโครเมตร | 82.2 | <10 ไมโครเมตร | 68.2 |
| <5 ไมโครเมตร | 56.0 | <2 ไมโครเมตร | 43.6 | <1 ไมโครเมตร | 36.4 |
| <0.5 ไมโครเมตร | 28.3 | | | | |
| เมทิลสีนบลูอินเด็กซ์ | 5.23 มิลลิอิควิวานเดนต์/100 กรัม (meq/100 g) | | | | |
| Atterberg plasticity Test | | | | | |
| Liquid limit | 38.6 | Plastic limit | 19.9 | Plasticity index | 18.7 |



4.5.4 สมบัติทางการขึ้นรูป

ตารางที่ 4.23 แสดงค่าความชื้นในแท่งดิน การหดตัว และความแข็งแรงหลังแท่ง ของดินอ่ำก่อร่องพิบูลย์ พบว่า สามารถครีดขึ้นรูปได้โดยแท่งดินไม่แตกหักเสียหาย ใช้น้ำเพียงพอให้ขึ้นรูปได้มีค่าร้อยละ 23.55 เมื่อแท่งมีค่าการหดตัวเชิงเส้นร้อยละ 5.48 ค่าความแข็งแรงหลังแท่งมีค่าไม่สูง 335 ปอนด์ต่อดินหนึ่งนิ้ว ซึ่งเป็นผลจากการที่มีขนาดอนุภาคเล็กค่อนข้างมากและมีกากขยายบะบีปอนดอยู่ค่อนข้างสูง ถ้าต้องการเพิ่มความแข็งแรงควรมีการคัดขนาดอนุภาคออกบ้าง

ตารางที่ 4.23 แสดงปริมาณความชื้นในแท่งดินริด การหดตัว และความแข็งแรง
เมื่อแท่งของดินหนีบฯ อ่ำก่อร่องพิบูลย์ จังหวัดนครศรีธรรมราช
(โรงจอกยางบ้านสามร้อยก้าว)

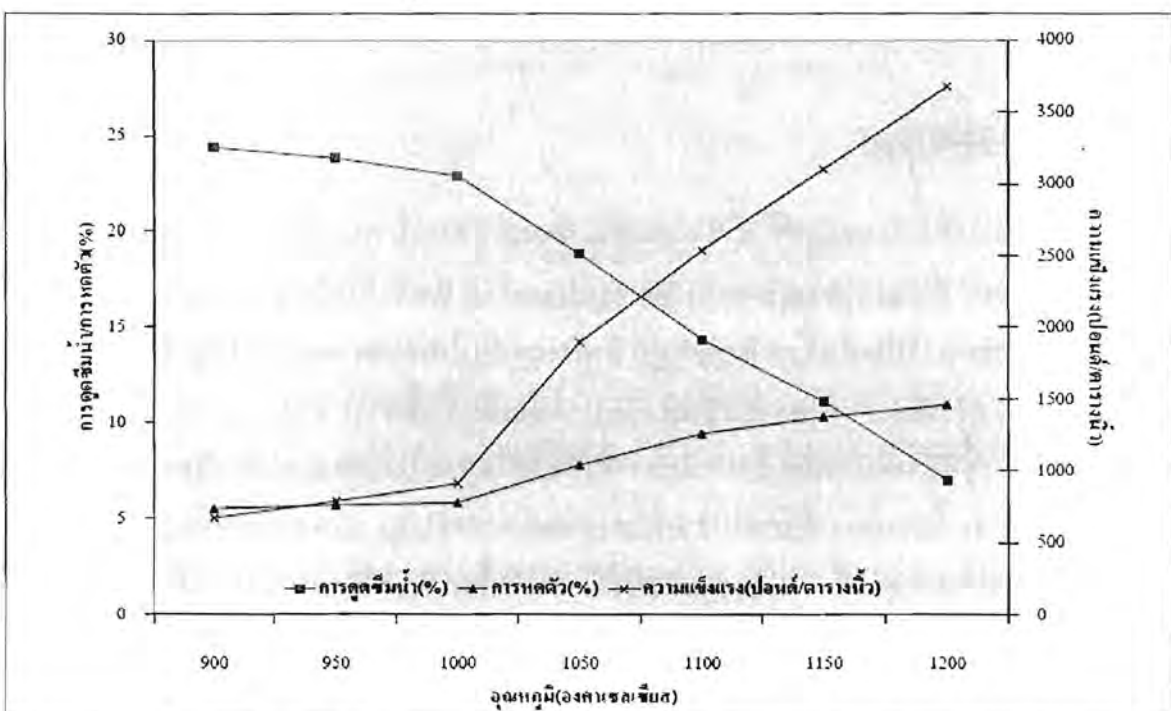
| แท่งดิน | ความชื้นในแท่งดินริด (ร้อยละ) | การหดตัวเมื่อแท่ง (ร้อยละ) | ความแข็งแรงเมื่อแท่ง (ปอนด์ต่อดินหนึ่งนิ้ว) |
|---------------------|----------------------------------|-------------------------------|--|
| ดินหนีบฯร่องพิบูลย์ | 23.55±0.22 | 5.48±0.19 | 335.25±71.54 |

4.5.5 สมบัติหลังเผา

จากตารางที่ 4.24 และรูปที่ 4.19 แสดงค่าการหดตัวเชิงเส้น การดูดซึมน้ำ และความแข็งแรงของแท่งดินหลังเผาในช่วงอุณหภูมิ 900-1200 องศาเซลเซียส พบว่า ดินมีการหดตัวประมาณร้อยละ 5.51-10.93 โดยมีแนวโน้มเพิ่มขึ้นตามอุณหภูมิ ค่าการดูดซึมน้ำลดลงตามอุณหภูมิโดยมีค่าอยู่ในช่วงร้อยละ 24.42-7.01 สำหรับค่าความแข็งแรงมีแนวโน้มเพิ่มขึ้นมีค่าในช่วง 672.-3,673 ปอนด์ต่อตารางนิ้ว เนื่องดินนี้มีช่วงการเผาที่กว้างพอสมควรจึงทนไฟได้สูงกว่า 1200 องศาเซลเซียส จากค่าความแข็งแรงที่ต่ำกว่าแท่งดินอื่นๆ เป็นผลมาจากการที่มีกากขยายบะบีปอนดอยู่ค่อนข้างสูงทำให้เกิดจึงมีเนื้อแก้วเกิดน้อยในช่วงอุณหภูมิที่ศึกษา ดังนั้นส่งผลให้มีความแข็งแรงจึงต่ำ ดินหนีบฯร่องพิบูลย์สามารถนำไปพัฒนาเป็นผลิตภัณฑ์เคลือบไฟสูง 1100-1200 องศาเซลเซียส

ตารางที่ 4.24 แสดงค่าเฉลี่ยการทดสอบตัวหลังเพา อัตราการดูดซึมน้ำและความแข็งแรงหลังเพาของ
ดินเหนียว อำเภอร่อนพิบูลย์ จังหวัดนครศรีธรรมราช
(โรงงานขอนำบ้านสามร้อยกล้า)

| อุณหภูมิ (องศาเซลเซียส) | การทดสอบตัวหลังเพา (ร้อยละ) | การดูดซึมน้ำ (ร้อยละ) | ความแข็งแรงหลังเพา (ปอนด์ต่อตารางนิ้ว) |
|----------------------------|--------------------------------|--------------------------|---|
| 900 | 5.51±0.19 | 24.42±0.23 | 672.25±39.14 |
| 950 | 5.70±0.16 | 23.85±0.66 | 788.42±51.66 |
| 1,000 | 5.82±0.23 | 22.92±1.31 | 909.91±129.28 |
| 1,050 | 7.80±0.16 | 18.84±0.76 | 1,895.29±201.86 |
| 1,100 | 9.42±0.27 | 14.36±0.31 | 2,536.77±273.98 |
| 1,150 | 10.29±0.23 | 11.12±0.84 | 3,101.74±360.30 |
| 1,200 | 10.93±0.53 | 7.01±0.63 | 3,673.06±339.85 |



รูปที่ 4.19 กราฟแสดงความสัมพันธ์ระหว่างการทดสอบตัวหลังเพา ความแข็งแรง
และการดูดซึมน้ำกับอุณหภูมิของดินเหนียว อำเภอร่อนพิบูลย์
จังหวัดนครศรีธรรมราช(โรงงานขอนำบ้านสามร้อยกล้า)

4.5.6 สมบัติสีดินก่ออ่อนและหลังเพา

ตารางที่ 4.25 แสดงค่าของสีในระบบชีไออี และสังเกตพินิจด้วยตาของดินเหนียวร่องพิมุลย์ ก่ออ่อนและหลังเพาที่อุณหภูมิ 900-1,200 องศาเซลเซียส พบว่า ค่าความสว่าง (L) มีค่า 73.30-57.53 ค่า แสดงสีแดงและสีเขียว (a) มีค่าบวกประมาณ 11.72-15.51 สำหรับค่าสีน้ำเงินหรือสีเหลือง (b) มีค่าบวก ประมาณ 23.20-27.07 จากรูปที่ 4.20 แสดงสีของ ดินก่ออ่อนเพามีสีเหลืองอ่อน และหลังเพาที่อุณหภูมิ 900-1050 องศาเซลเซียส มีสีส้มอ่อน เมื่อเพิ่มอุณหภูมิเป็น 1100-1200 องศาเซลเซียส ได้กล้ายเป็นสี น้ำตาลอ่อนจนสีน้ำตาลเข้ม ซึ่งสอดคล้องกับค่าที่วัดได้ในระบบชีไออี ลักษณะสีดินหลังเพาสีเข้ม ใกล้เคียงกับดินเหนียวบ้านท่าเตียน

ตารางที่ 4.25 แสดงค่าการวัดสีดินก่ออ่อนเพาและหลังเพาที่อุณหภูมิต่างๆ ของดินเหนียว

อันก่อร่องพิมุลย์ จังหวัดนครศรีธรรมราช (โรงงานจากยางบ้านสามรือยกถ้า)

| อุณหภูมิ (องศาเซลเซียส) | ค่าการวัดสีระบบชีไออี (L*a*b*) | | | สีที่สังเกตด้วยตา |
|----------------------------|--------------------------------|--------|--------|-------------------|
| | L | a | b | |
| ก่ออ่อนเพา | 68.47 | +2.36 | +18.77 | เหลืองอ่อน |
| 900 | 68.54 | +12.24 | +26.84 | ส้มอ่อน |
| 950 | 70.57 | +12.25 | +27.07 | ส้มอ่อน |
| 1,000 | 72.42 | +12.36 | +26.90 | ส้มอ่อน |
| 1,050 | 73.30 | +11.72 | +25.25 | ส้มอ่อน |
| 1,100 | 67.04 | +13.76 | +27.06 | น้ำตาลอ่อน |
| 1,150 | 61.27 | +15.51 | +25.78 | น้ำตาลอ่อน |
| 1,200 | 57.53 | +14.08 | +23.20 | น้ำตาลเข้ม |

หมายเหตุ

L ใช้กำหนดค่าความสว่าง

L = 0 แสดงว่าตัวอย่างมีสีดำสมบูรณ์

L = 100 แสดงว่าตัวอย่างมีสีขาวสมบูรณ์

a ใช้กำหนดสีแดงและสีเขียว

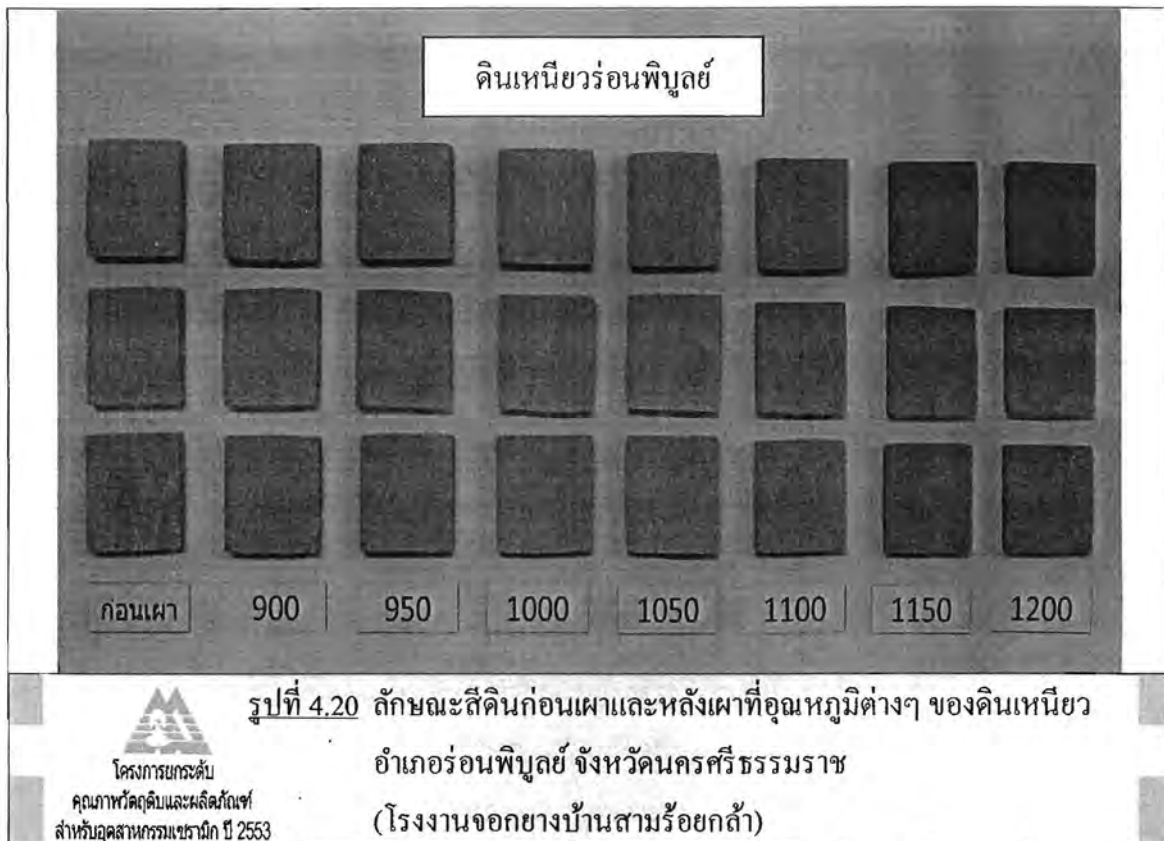
a ค่าเป็นบวก สีจะไปในทิศทางสีแดง

a ค่าปืนลบ สีจะไปในทิศทางสีเขียว

๖ ใช้กำหนดสีเหลืองหรือสีน้ำเงิน

๖ ค่าปืนขาว สีจะไปในทิศทางสีเหลือง

๖ ค่าปืนลบสีจะไปในทิศทางสีน้ำเงิน



4.5.7 ศักยภาพในการใช้ประโยชน์

ดินเหนียวอ่ำเกอร่อนพิบูลย์ เป็นดินเหนียวไม่นี่ยนละเอียดมากนัก ปริมาณน้ำที่ใช้ในการขึ้นรูปไม่สูงในการเตรียมเนื้อดินปั้นแบบจะไม่ต้องมีการผสมวัสดุเพื่อลดความเหนียว หลังเพาผลิตภัณฑ์จะมีสัมอ่อนถึงน้ำตาลเข้ม ทนไฟได้สูงกว่า 1200 องศาเซลเซียส มีความเหมาะสมในการนำมาผลิตเครื่องปั้นดินเพาที่ใช้ soybean หรือตกแต่งต่างๆ อาทิ กระถาง แจกัน น้ำยางพารา และผลิตภัณฑ์ที่ต้องการผิวนี้ยนละเอียด อาทิ ของที่ระลึก ของชำร่วย แต่ต้องคำนึงถึงค่าอนุภาคดินเสียก่อน นอกจากนี้อาจนำไปเตรียมน้ำดินด้วยวิธีการหล่อได้อ่ายดีเยี่ยม

4.6 ดินเหนียว ตำบลท่าประจะ อำเภอชะอวด จังหวัดนครศรีธรรมราช (โรงอิฐรุ่งโรจน์)

4.6.1 องค์ประกอบทางเคมี

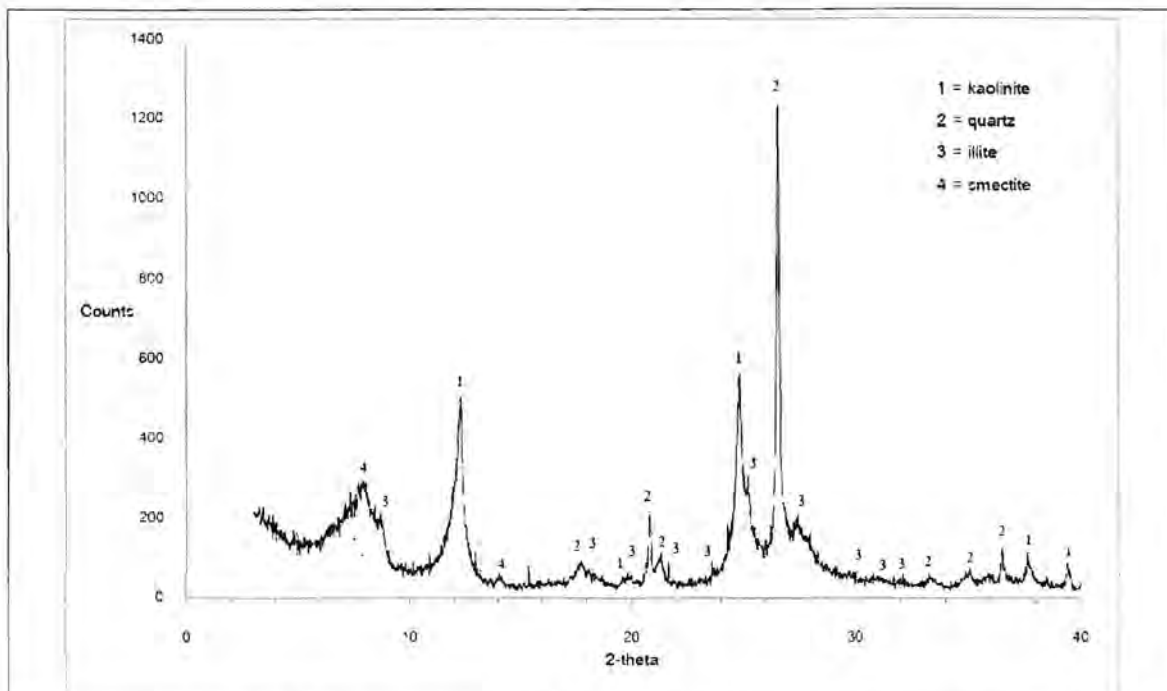
ตารางที่ 4.26 แสดงองค์ประกอบทางเคมีของดินเหนียวท่าประจะ พบร้า มีปริมาณซิลิกาค่อนข้างสูง ร้อยละ 69.70 อลูมินา ค่อนข้างต่ำ ร้อยละ 15.59 จึงจัดเป็นดินเหนียวที่มีทรัพย์ปูนมากเหล็กออกไซด์และไทเทเนียมออกไซด์รวมกันร้อยละ 7.29 ทำให้มีสีหลังเพาเข้มมาก ปริมาณรวมของสารช่วยลดอุณหภูมิการเผา คือ แอลคาไลน์ และแอลคาไลน์เออร์ช มีปริมาณรวมกันไม่สูงนัก ร้อยละ 3.85 การสูญเสียน้ำหนักหลังเผา มีค่าร้อยละ 5 สำหรับองค์ประกอบทางเคมีของดินนี้ ใกล้เคียงกับเนื้อดินบืนไมคลาน ยกเว้นที่สารให้สีสูงกว่าซึ่งทำให้ดินหลังเพามีสีแตกต่างกัน

ตารางที่ 4.26 แสดงผลวิเคราะห์องค์ประกอบทางเคมีรวมของดินเหนียวต่ำดินจากดินเหนียว ตำบลท่าประจะ อำเภอชะอวด จังหวัดนครศรีธรรมราช (โรงอิฐรุ่งโรจน์)

| องค์ประกอบทางเคมี | ร้อยละ |
|--------------------------|--------|
| SiO_2 | 69.70 |
| Al_2O_3 | 15.59 |
| Fe_2O_3 | 6.08 |
| TiO_2 | 1.21 |
| Na_2O | 0.21 |
| K_2O | 1.53 |
| MgO | 0.72 |
| CaO | 0.18 |
| MnO_2 | 0.014 |
| CaSO_4 | 93 ppm |
| P_2O_5 | 0.055 |
| การสูญเสียน้ำหนักหลังเผา | 4.89 |

4.6.2 สมบัติทางแร่วิทยา

รูปที่ 4.21 แสดงผลการวิเคราะห์เร็วในขนาดอนุภาคดิน พบร่วมกับองค์ประกอบด้วย ควอตซ์ เคโอลิ ไนต์ อิลไดต์ และสเมกタイト ซึ่งลักษณะเร็วที่พบในดินนี้จะเหมือนกับเนื้อดินปืนในคลาน



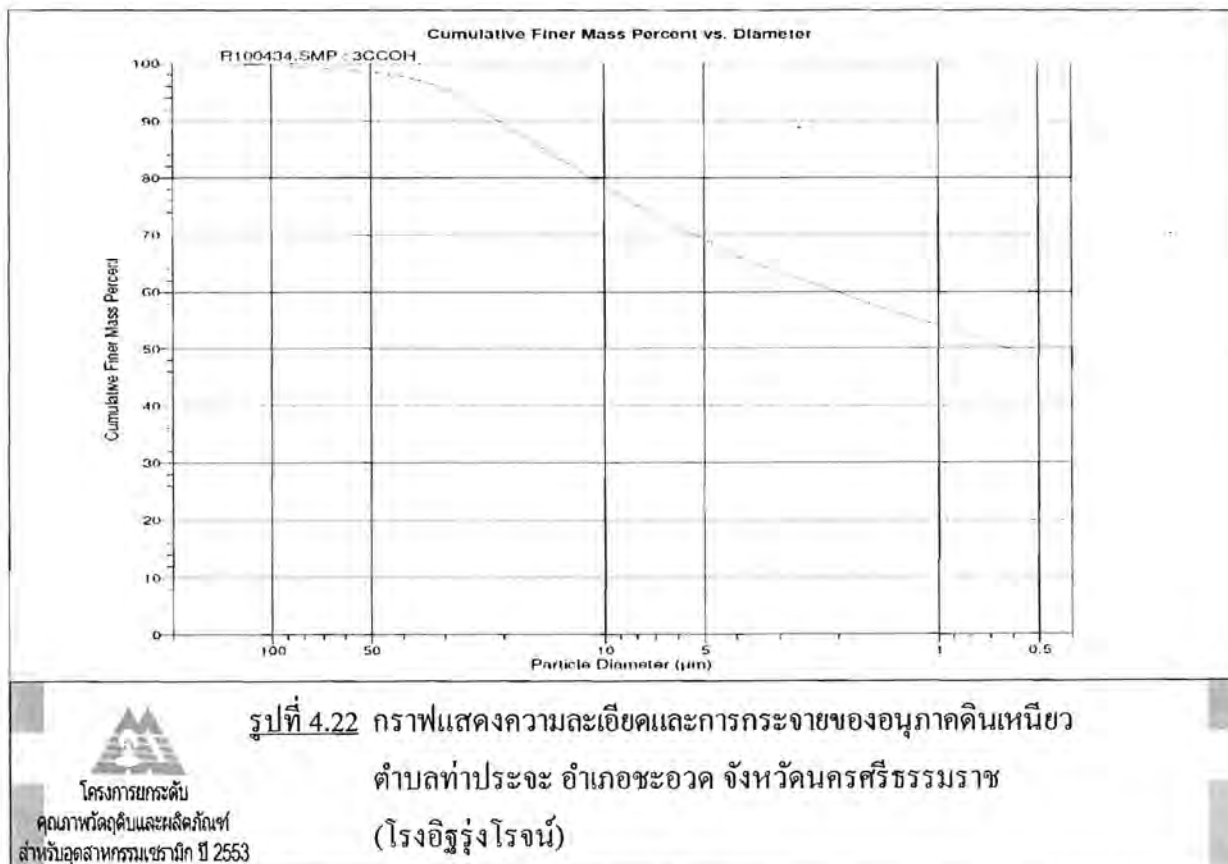
รูปที่ 4.21 กราฟแสดงการเลือดบนของรังสีเอกซ์ องค์ประกอบเชิงแร่ของ
ดินเหนียว ตำบลท่าประจจะ อำเภอชุมแพ จังหวัดครึ่งธรรมราช
(โรงอิฐรุ่งโรจน์)

4.6.3 สมบัติทางกายภาพ

จากตารางที่ 4.27 และรูปที่ 4.22 แสดงค่าทางค้างตะแกรง การกระจายความละเอียด เมทิลีนบลูอินเด็กซ์ ดัชนีความเหนียว พบร่วมกับมีปริมาณกากหยาบขนาดโดยกว่า 325 เมช ค่อนข้างต่ำคือ น้อยกว่าร้อยละ 4.32 มีอนุภาคที่เล็กกว่า 2 ไมโครเมตร สูงพอสมควร ร้อยละ 59.8 ค่าเมทิลีนบลูอินเด็กซ์ มีค่า 8.14 มิลลิอิควิวานต์/100 กรัม ค่าดัชนีความเหนียว มีค่าสูงคือ 26.9 น่าจะเป็นผลจากแร่สเมกタイトที่คงที่ได้กล่าวมาแล้ว เมื่อพิจารณาผลที่กล่าวมาแล้วข้างต้นจะเห็นได้ว่า ดินนี้มีเนื้อเนียนละเอียด พอสมควร

ตารางที่ 4.27 แสดงสมบัติภายในของดินเหนียว คำบลท่าประจจะ อําเภอชะอวด
จังหวัดนครศรีธรรมราช (โรงอิฐรุ่งโรจน์)

| ภาคค้างสะสนบนตะแกรง (ร้อยละ) | | | | | |
|------------------------------------|---|---------------|------|------------------|------|
| 100 เมช | 0.75 | 200 เมช | 1.25 | 325 เมช | 4.32 |
| การกระจายความละเอียดสะทาน (ร้อยละ) | | | | | |
| <120 ไมโครเมตร | 99.8 | <70 ไมโครเมตร | 99.1 | <53 ไมโครเมตร | 98.6 |
| <40 ไมโครเมตร | 97.7 | <20 ไมโครเมตร | 89.5 | <10 ไมโครเมตร | 78.5 |
| <5 ไมโครเมตร | 69.2 | <2 ไมโครเมตร | 59.8 | <1 ไมโครเมตร | 54.0 |
| <0.5 ไมโครเมตร | 48.3 | | | | |
| เมทิลลีนบลูอินเด็กซ์ | 8.14 มิลลิอิควิวะเลนต์/100 กรัม (meq/100 g) | | | | |
| Atterberg plasticity Test | | | | | |
| Liquid limit | 47.2 | Plastic limit | 20.2 | Plasticity index | 26.9 |



4.6.4 สมบัติทางการขึ้นรูป

ตารางที่ 4.28 แสดงสมบัติทางการของคืนหนึวยาท่าประจำสามารถถือขึ้นรูปได้โดยแท่งดินไม่แตกหักเสียหาย ใช้น้ำพสมเพื่อให้ขึ้นรูปได้มีค่าร้อยละ 23 เมื่อแห้งมีค่าการหดตัวเชิงเส้น ร้อยละ 7 ค่าความแข็งแรงหลังแห้ง 1,160 ปอนด์ต่อตารางนิ้วซึ่งก้อนข้างสูง เท่าเดียวกันเมื่อคืนเป็นไมคลาน

ตารางที่ 4.28 แสดงปริมาณความชื้นในแท่งดินรีด การหดตัวเมื่อแห้ง และความแข็งแรงเมื่อแห้งของคืนหนึวยา ทำผลท่าประจำ สำเร็จจากชุด จังหวัดนครศรีธรรมราช (โรงอิฐรุ่งโรจน์)

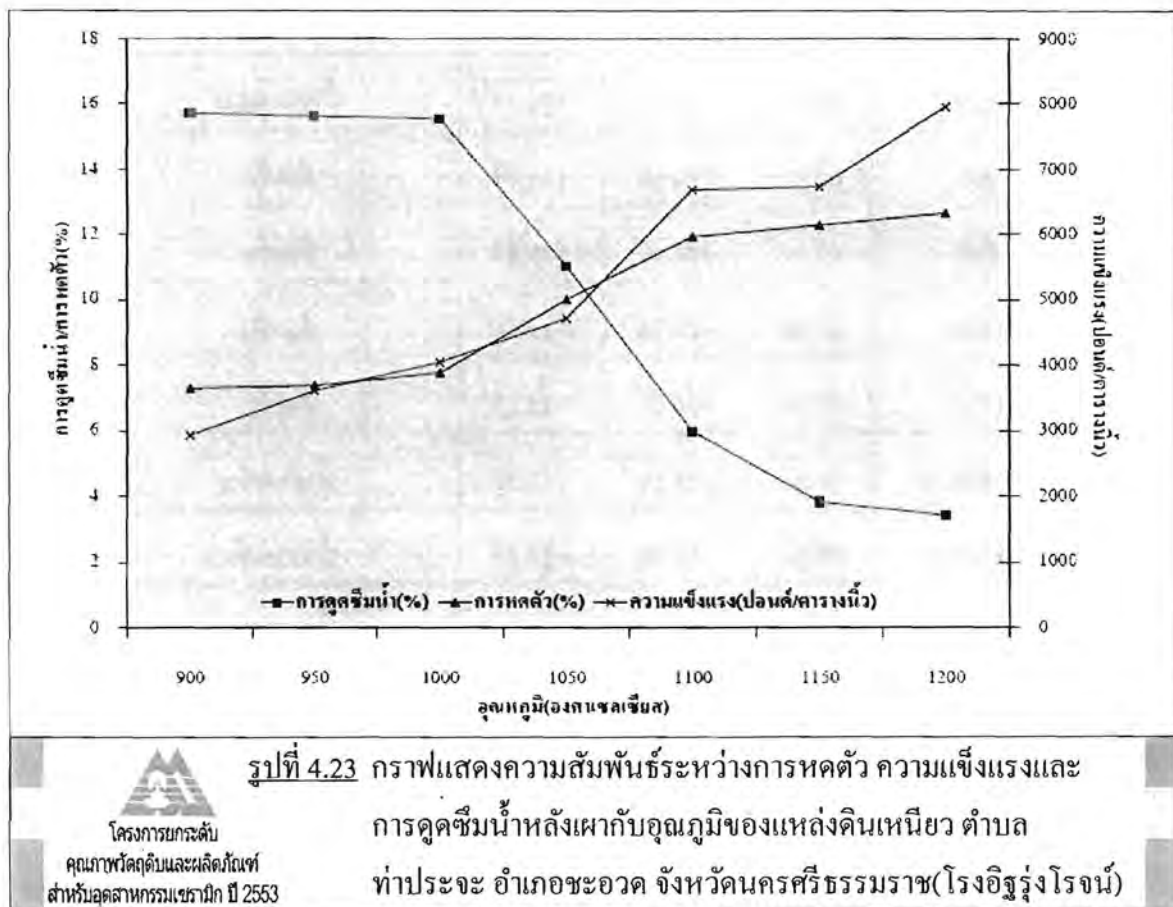
| แหล่งดิน | ความชื้นในแท่งดินรีด (ร้อยละ) | การหดตัวเมื่อแห้ง (ร้อยละ) | ความแข็งแรงเมื่อแห้ง (ปอนด์ต่อตารางนิ้ว) |
|-------------------|----------------------------------|-------------------------------|---|
| คืนหนึวยาท่าประจำ | 22.68±0.31 | 6.95±0.41 | 1,160.07±30.20 |

4.6.5 สมบัติหลังการเผา

จากตารางที่ 4.29 และจากรูปที่ 4.23 แสดงค่าการหดตัวเชิงเส้น การดูดซึมน้ำและความแข็งแรงของแท่งดิน หลังเผาในช่วงอุณหภูมิ 900-1200 องศาเซลเซียส จะเห็นได้ว่าคืนมีการหดตัวร้อยละ 7.28-12.64 โดยเพิ่มขึ้นตามอุณหภูมิ ค่าการดูดซึมน้ำลดลงตามอุณหภูมิโดยมีค่าอยู่ในช่วง ร้อยละ 15.68-3.40 สำหรับค่าความแข็งแรงมีค่าอยู่ในช่วง 2,924 -6,326 ปอนด์ต่อตารางนิ้ว จากข้อมูลที่กล่าวมาแล้วและลักษณะของแท่งดินรีดหรือชิ้นงานไม่พบรอยบรวมเมื่อเผาที่อุณหภูมิ 1200 องศาเซลเซียส แสดงให้เห็นว่า สามารถถือขึ้นรูปได้มากกว่าอุณหภูมิ 1200 องศาเซลเซียส

ตารางที่ 4.29 แสดงค่าเฉลี่ยการหดตัวหลังเผา อัตราการดูดซึมน้ำและความแข็งแรงหลังเผาของ
ดินเหนียว ตำบลท่าประจจะ อำเภอชะอวด จังหวัดนครศรีธรรมราช(โรงอิฐรุ่งโรจน์)

| อุณหภูมิ (องศาเซลเซียส) | การหดตัวหลังเผา (ร้อยละ) | การดูดซึมน้ำ (ร้อยละ) | ความแข็งแรงหลังเผา (ปอนด์ต่อตารางนิ้ว) |
|----------------------------|-----------------------------|--------------------------|---|
| 900 | 7.28±0.40 | 15.68±0.57 | 2,924.64±392.08 |
| 950 | 7.37±0.13 | 15.59±0.34 | 3,604.71±402.45 |
| 1,000 | 7.76±0.40 | 15.52±0.44 | 4,037.58±451.33 |
| 1,050 | 10.00±0.19 | 11.02±0.88 | 4,709.89±646.11 |
| 1,100 | 11.92±0.27 | 5.97±0.45 | 6,080.52±157.20 |
| 1,150 | 12.27±0.25 | 3.81±1.10 | 6,121.57±335.92 |
| 1,200 | 12.64±0.22 | 3.40±0.81 | 6,326.12±766.15 |



4.6.6 สีดินก่ออิฐและหลังเพา

ตารางที่ 4.30 แสดงค่าของสีในระบบชีไออี ของตัวอย่างดินรูปสีเหลี่ยมก่ออิฐและหลังเพา ในช่วงอุณหภูมิ 900-1,200 องศาเซลเซียส และสังเกตพินิจด้วยตาพบว่า ค่าความสว่าง (L) มีค่าระหว่าง 62.92-45.43 ค่าแสดงสีแดงและสีเขียว (a) มีค่าบวก อよร์ระหว่าง 22.16-14.37 ค่าแสดงสีน้ำเงินและสีเหลือง (b) มีค่านอกอよร์ระหว่าง 36.15-18.96 ดินก่ออิฐมีสีน้ำตาลอ่อน จากรูปที่ 4.24 แสดงสีจากการสังเกตด้วยสายตาสีของดินหลังเพาจะมีเปลี่ยนไปตามอุณหภูมิ โดยช่วงอุณหภูมิ 900-1050 องศาเซลเซียส มีสีส้มเข้ม เมื่อเพิ่มอุณหภูมิเป็น 1100-1200 องศาเซลเซียส ได้กล้ายเป็นสีน้ำตาลเข้ม ซึ่งสอดคล้องกับค่าที่วัดในระบบชีไออี สำหรับสีของดินในแหล่งนี้จะมีสีเข้มกว่าแหล่งอื่นๆ ที่กล่าวมาแล้ว ซึ่งเป็นผลจากมีปริมาณเหล็กออกไซต์สูง

ตารางที่ 4.30 แสดงค่าการวัดสีดินก่ออิฐและหลังเพาที่อุณหภูมิต่างๆ ของดินเหนียว

ดำเนินการทำประชารัฐ จำกัดนนนครศรีธรรมราช (โรงอิฐรุ่งโรจน์)

| อุณหภูมิ (องศาเซลเซียส) | ค่าการวัดสีระบบชีไออี (L*a*b*) | | | สีที่สังเกตด้วยตา |
|----------------------------|--------------------------------|--------|--------|-------------------|
| | L | a | b | |
| ก่ออิฐ | 61.17 | +6.15 | +24.83 | น้ำตาลอ่อน |
| 900 | 62.92 | +20.09 | +33.79 | ส้มเข้ม |
| 950 | 62.48 | +19.81 | +35.64 | ส้มเข้ม |
| 1000 | 63.68 | +19.16 | +35.66 | ส้มเข้ม |
| 1050 | 63.58 | +18.37 | +36.15 | ส้มเข้ม |
| 1100 | 55.86 | +22.16 | +33.79 | น้ำตาลเข้ม |
| 1150 | 50.25 | +20.46 | +27.57 | น้ำตาลเข้ม |
| 1200 | 45.43 | +14.37 | +18.96 | น้ำตาลเข้ม |

หมายเหตุ

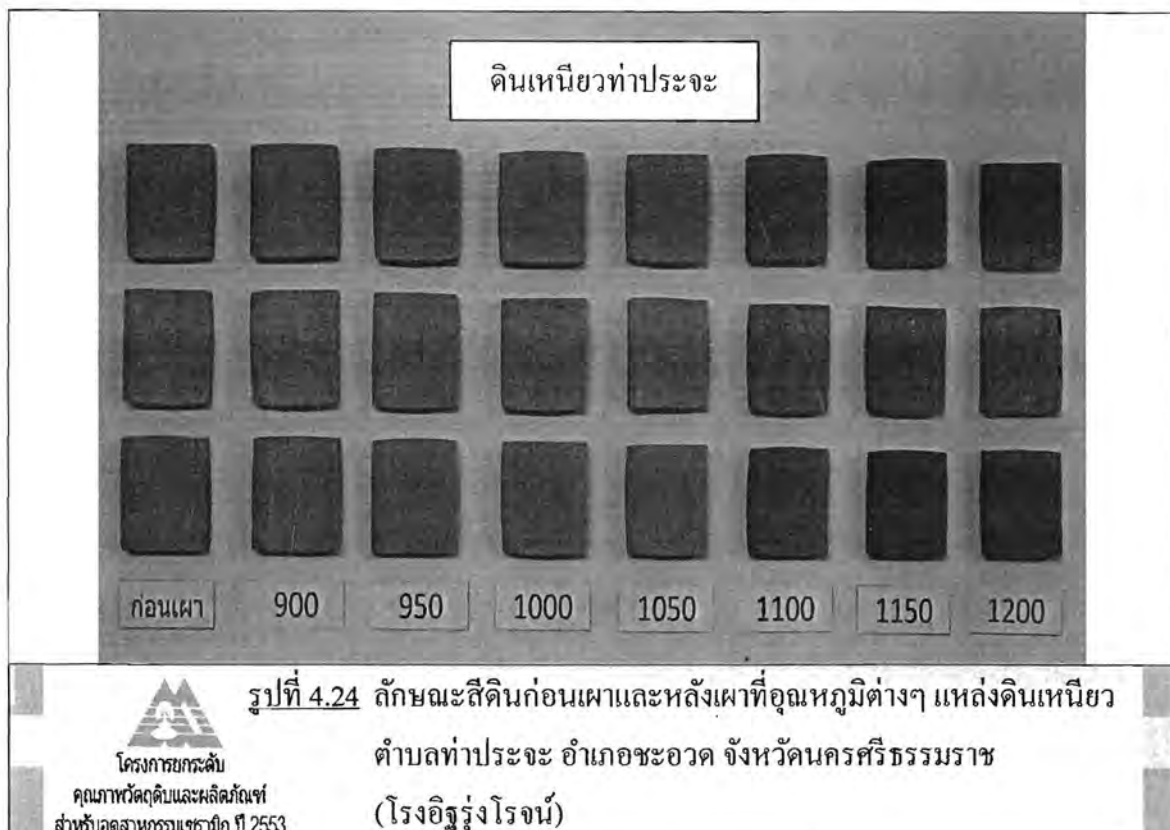
a ใช้กำหนดค่าความสว่าง

$L = 0$ แสดงว่าตัวอย่างมีสีดำสนูรรณ์

$L = 100$ แสดงว่าตัวอย่างมีสีขาวสนูรรณ์

a ใช้กำหนดสีแดงและสีเขียว

- a ค่าเป็นบวก สีจะไปในทิศทางสีแดง
- a ค่าเป็นลบ สีจะไปในทิศทางสีเขียว
- b ใช้กำหนดสีเหลืองหรือสีน้ำเงิน
- b ค่าเป็นบวก สีจะไปในทิศทางสีเหลือง
- b ค่าเป็นลบ สีจะไปในทิศทางสีน้ำเงิน



4.6.7 ศักยภาพในการใช้ประโยชน์

ดินเหนียวทำประจำเป็นดินเหนียวปูนทรายที่เนื้อละเอียดค่อนข้างสูง มีความเหนียวขึ้นรูปได้
ง่าย เมื่อแห้งแท่งดินมีความแข็งแรงสูงพอสมควร เผาแล้วจะให้สีส้มเข้มถึงน้ำตาลเข้ม ทนไฟได้เกิน
1,200 องศาเซลเซียส มีความเหมาะสมในการนำมาผลิตเครื่องปั้นดินเผาที่ใช้สอยหรือตกแต่งต่างๆ อาทิ
กระถางต้นไม้ อิฐ กระเบื้อง หรือผลิตภัณฑ์ที่ต้องการเคลือบไฟสูง รวมทั้งการขึ้นรูปด้วยวิธีการหล่อ

**4.7 ดินเหนียว ต่ำบลท่าเสน็ค อําเภอชะວัด จังหวัดนครศรีธรรมราช
(โรงงานซะอะวดดินทอง)**

4.7.1 องค์ประกอบทางเคมี

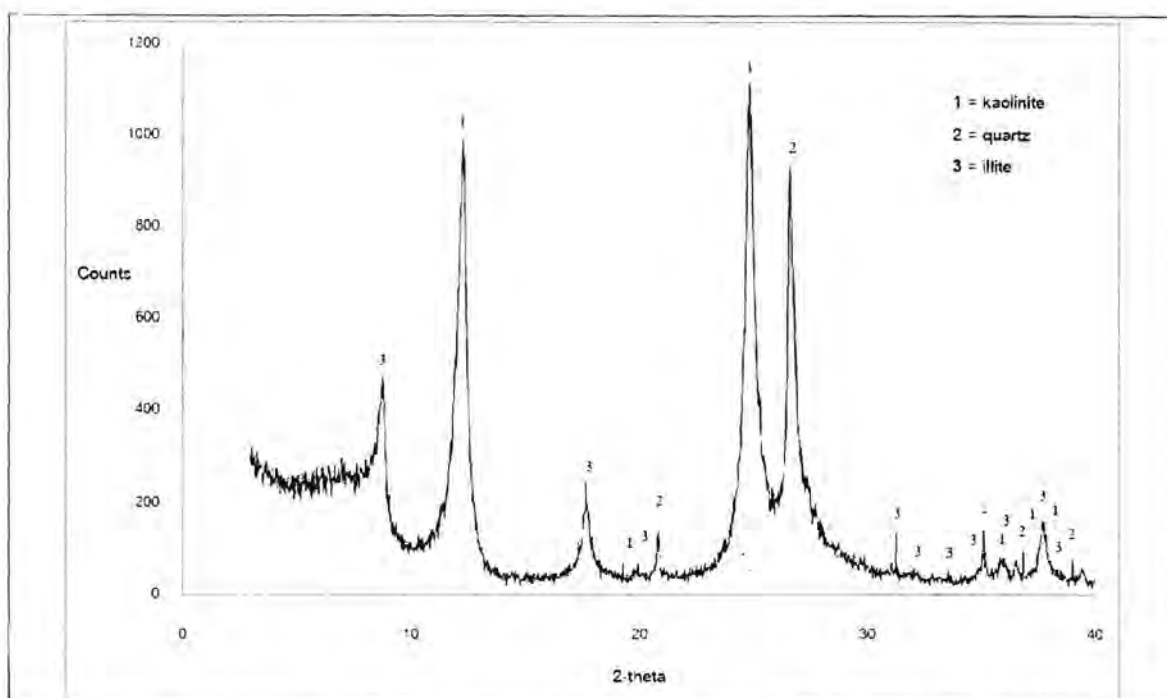
ตารางที่ 4.31 แสดงองค์ประกอบทางเคมีดินเหนียวท่าเสน็ค พ布ว่า มีปริมาณซึ่งกิกร้อยละ 67.71 อัลูมินา ต่ำ ร้อยละ 18.07 เม็ดดินมีทรัพย์ปนอยู่มาก มีเหล็กออกไซด์และไทเทเนียมออกไซด์รวมกันสูง ร้อยละ 7.24 จึงทำให้ดินหลังเพາมีสีเข้ม ปริมาณรวมของสารช่วยลดการสูญตัวคือแอลคาไลน์ และแอลคาไลน์เออร์ช มีค่าค่อนข้างต่ำ ร้อยละ 2.27 การสูญเสียน้ำหนักหลังเพา มีค่าร้อยละ 5.55 ใกล้เคียงกับเนื้อดินท่าประจำ

ตารางที่ 4.31 แสดงผลวิเคราะห์ขององค์ประกอบทางเคมีรวมของดินเหนียว ต่ำบลท่าเสน็ค อําเภอชะວัด จังหวัดนครศรีธรรมราช(โรงงานซะอะวดดินทอง)

| องค์ประกอบทางเคมี | ร้อยละ |
|--------------------------|---------|
| SiO_2 | 67.71 |
| Al_2O_3 | 18.07 |
| Fe_2O_3 | 6.07 |
| TiO_2 | 1.17 |
| Na_2O | 0.19 |
| K_2O | 1.36 |
| MgO | 0.55 |
| CaO | 0.17 |
| MnO_2 | 0.008 |
| CaSO_4 | 121 ppm |
| P_2O_5 | 0.021 |
| การสูญเสียน้ำหนักหลังเพา | 5.55 |

4.7.2 สมบัติทางแร่วิทยา

จากการวิเคราะห์ในขนาดอนุภาคดินในรูปที่ 4.25 พบว่าประกอบด้วย เคโอลินิต ควอตซ์ และอิลลิต



รูปที่ 4.25 กราฟแสดงการเลี้ยวเบนของรังสีเอกซ์ องค์ประกอบเชิงแร่ของ

โครงการยกระดับ
ศูนย์ให้ผลิตภัณฑ์
สำหรับอุตสาหกรรมเซรามิก ปี 2553

ดินเหนียว ต่ำบลท่าเสน็ด อำเภอชะ沃ด

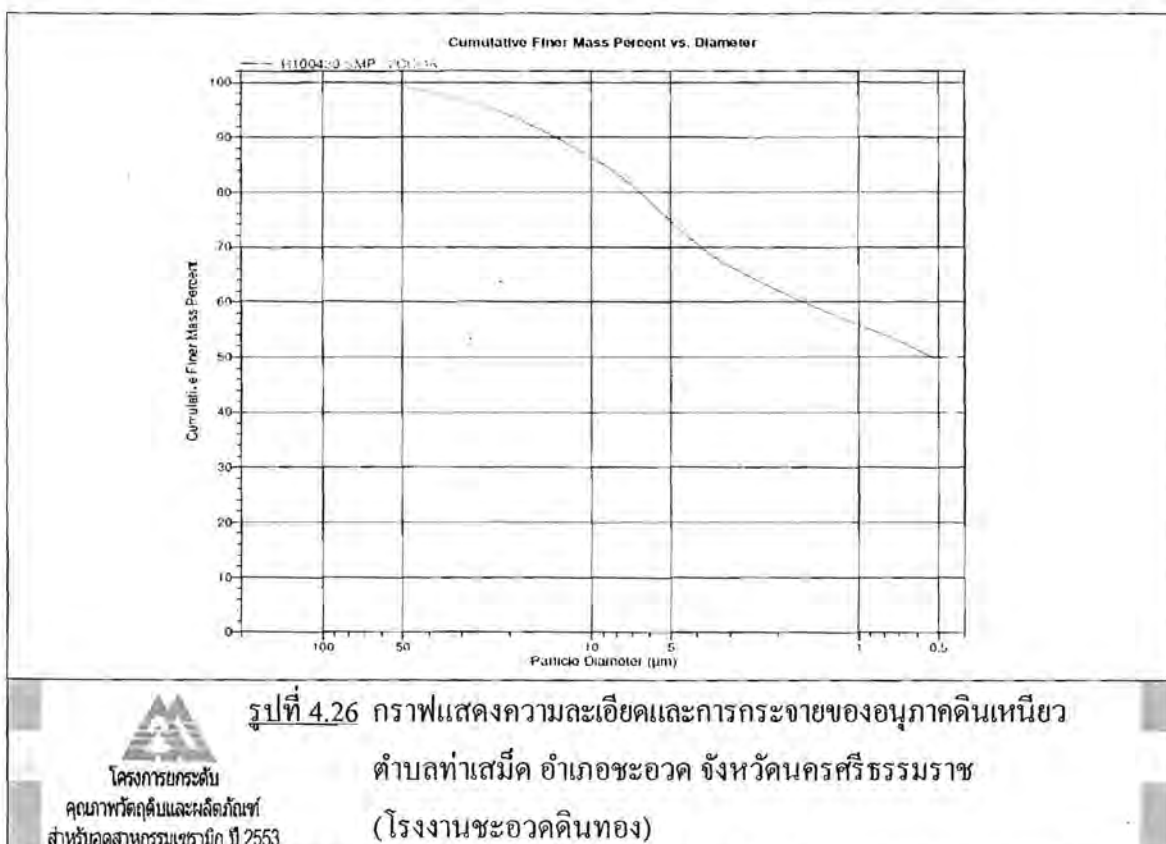
จังหวัดนครศรีธรรมราช(โรงงานชะ沃ดดินทอง)

4.7.3 สมบัติทางกายภาพ

จากตารางที่ 4.32 แสดงค่ากากค้างตะแกรง การกระจายความละเอียด เมทิลลีนบลูอินเด็กซ์ ค่าดัชนีความเหนียว พบร่วมกับมีปริมาณกากหยาบนขนาดใหญ่กว่า 325 เมช ค่าอนข้างต่ำคือ น้อยกว่าร้อยละ 4.70 มีอนุภาคที่เล็กกว่า 2 ไมโครเมตร ร้อยละ 62.2 ค่าเมทิลลีนบลูอินเด็กซ์ มีค่า 11.29 มิลลิอิควิวานต์/100 กรัม ค่าดัชนีความเหนียว มีค่าต่่อนข้างสูงคือ 29.4 จึงเป็นดินที่มีเนื้อเนียนละเอียด สำหรับดินเหนียวท่าเสน็ดเป็นดินที่เนื้อเนียนละเอียดมากกว่าดินเหนียวท่าประจะ อาจจะเป็นพราะมีอนุภาคขนาดเล็กมากกว่า

ตารางที่ 4.32 แสดงสมบัติภysical ของดินเหนียว คำนวณท่าเสน็ด อำเภอช่อowaด จังหวัดนครศรีธรรมราช(โรงงานช่อowaดดินทอง)

| การค้างสะสมบนตะแกรง (ร้อยละ) | | | | | |
|-----------------------------------|---|---------------|------|------------------|------|
| 100 เมช | 1.97 | 200 เมช | 2.86 | 325 เมช | 4.70 |
| การกระจายความละเอียดสะสม (ร้อยละ) | | | | | |
| <120 ไมโครเมตร | 100.1 | <70 ไมโครเมตร | 99.9 | <53 ไมโครเมตร | 99.4 |
| <40 ไมโครเมตร | 98.3 | <20 ไมโครเมตร | 93.9 | <10 ไมโครเมตร | 86.4 |
| <5 ไมโครเมตร | 74.7 | <2 ไมโครเมตร | 62.2 | <1 ไมโครเมตร | 55.9 |
| <0.5 ไมโครเมตร | 49.7 | | | | |
| เมทิลลีนบลูอินเด็กซ์ | 11.29 มิลลิโควาเคนต์/100 กรัม (meq/100 g) | | | | |
| Atterberg plasticity Test | | | | | |
| Liquid limit | 48.6 | Plastic limit | 19.2 | Plasticity index | 29.4 |



4.7.4 สมบัติทางการขึ้นรูป

ตารางที่ 4.33 แสดงสมบัติการขึ้นรูปของคินเนียวย่า semi-c ซึ่งสามารถรีดขึ้นรูปได้โดยแท่งคินไม่แตกหักเสียหาย ปริมาณน้ำที่ใช้ผสมเพื่อให้ขึ้นรูปได้มีค่าร้อยละ 22.79 เมื่อแห้งมีค่าการหดตัวเชิงเส้นร้อยละ 7.58 ค่าความแข็งแรงหลังแห้ง 1,103 ปอนด์ต่อตารางนิว ซึ่งเป็นค่าที่สูงพอควร

ตารางที่ 4.33 แสดงปริมาณความชื้นในแท่งคินรีด การหดตัวเมื่อแห้ง และความแข็งแรงเมื่อแห้งของคินเนียวย่า semi-c สำนักงานมาตรฐานและเคมีชั้นนำ (สำนักงานมาตรฐานและเคมีชั้นนำ)

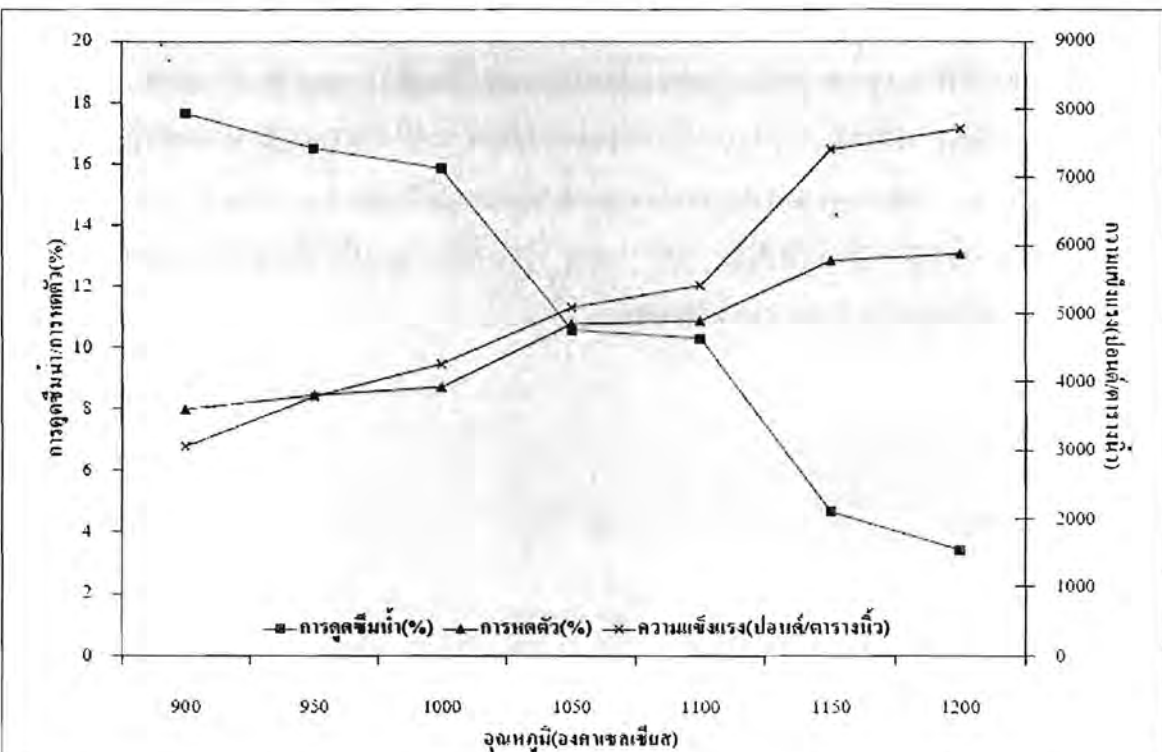
| แหล่งคิน | ความชื้นในแท่งคินรีด (ร้อยละ) | การหดตัวเมื่อแห้ง (ร้อยละ) | ความแข็งแรงเมื่อแห้ง (ปอนด์ต่อตารางนิว) |
|--------------------|----------------------------------|-------------------------------|--|
| คินเนียวย่า semi-c | 22.79±0.36 | 7.56±0.16 | 1,103.57±73.76 |

4.7.5 สมบัติหลังการเผา

จากตารางที่ 4.34 และรูปที่ 4.27 แสดงค่าการหดตัวเชิงเส้น การคูดซึมน้ำ และความแข็งแรงของแท่งคิน หลังเผา ในช่วงอุณหภูมิ 900-1,200 องศาเซลเซียส จะเห็นได้ว่าคินมีการหดตัวร้อยละ 7.99-13.06 โดยเพิ่มขึ้นตามอุณหภูมิ ค่าการคูดซึมน้ำลดลงตามอุณหภูมิโดยมีค่าอยู่ในช่วง ร้อยละ 17.65-3.43 สำหรับค่าความแข็งแรงมีค่าอยู่ในช่วง 3,058 -7,672 ปอนด์ต่อตารางนิว เนื่องด้วยการเผาที่ก้าวไปอสมควรทันไฟได้สูงกว่า 1,200 องศาเซลเซียส

ตารางที่ 4.34 แสดงค่าเฉลี่ยการทดสอบตัวหลังเพา อัตราการดูดซึมน้ำและความแข็งแรงหลังเพาของคนเห็นiyaw ต่ำบลท่าเสเม็ด อำเภอชะอวด จังหวัดนครศรีธรรมราช (โรงงานชะอวดคินทอง)

| อุณหภูมิ (องศาเซลเซียส) | การทดสอบตัวหลังเพา (ร้อยละ) | การดูดซึมน้ำ [*] (ร้อยละ) | ความแข็งแรงหลังเพา (ปอนด์ต่อตารางนิ้ว) |
|----------------------------|--------------------------------|---------------------------------------|---|
| 900 | 7.99±0.14 | 17.65±1.45 | 3,058.58±280.14 |
| 950 | 8.45±0.25 | 16.51±0.71 | 3,784.00±195.80 |
| 1,000 | 8.71±0.32 | 15.85±0.73 | 4,260.08±342.83 |
| 1,050 | 10.77±0.14 | 10.58±0.31 | 5,088.97±348.42 |
| 1,100 | 10.87±0.63 | 10.32±0.21 | 5,414.52±665.85 |
| 1,150 | 12.84±0.17 | 4.67±0.47 | 7,409.94±417.84 |
| 1,200 | 13.06±0.31 | 3.43±0.37 | 7,672.54±373.09 |



4.7.6 สีดินก่ออิฐและหลังเพา

ตารางที่ 4.35 แสดงค่าของสีในระบบซีไออี ของตัวอย่างดินรูปสี่เหลี่ยมก่ออิฐและหลังเพา ในช่วงอุณหภูมิ 900-1,200 องศาเซลเซียส พบว่า ค่าความสว่าง (L) มีค่าระหว่าง 65.87-53.88 ค่าแสดงสี แดงและสีเขียว (a) มีค่าบวก อよุ่ระหว่าง 15.03-8.96 ค่าแสดงสีน้ำเงินและสีเหลือง (b) มีค่าบวกอยู่ระหว่าง 28.05-21.11 รูปที่ 4.28 แสดงถักยลະของสีดินก่ออิฐเผามีสีเทาอ่อน สีดินหลังเพาเปลี่ยนแปลงไปตามอุณหภูมิ โดยช่วง 900-1,000 องศาเซลเซียส มีสีน้ำตาลอ่อน และช่วงอุณหภูมิ 1,050-1,200 มีสีน้ำตาลอ่อนไปจนน้ำตาลเหลือง ซึ่งสอดคล้องกับค่าที่วัดในระบบซีไออี

ตารางที่ 4.35 แสดงค่าการวัดสีดินก่ออิฐและหลังเพาที่อุณหภูมิต่างๆ ของดินหนี่ยา

ตำบลท่าแม่น้ำ อําเภอชะอวด จังหวัดนครศรีธรรมราช(โรงงานชะอวดดินทอง)

| อุณหภูมิ (องศาเซลเซียส) | ค่าการวัดสีระบบซีไออี (L*a*b*) | | | สีที่สังเกตุด้วยตา |
|----------------------------|--------------------------------|--------|--------|--------------------|
| | L | a | b | |
| ก่ออิฐ | 58.51 | +6.02 | +16.46 | เทาอ่อน |
| 900 | 60.14 | +14.95 | +24.76 | น้ำตาลอ่อน |
| 950 | 62.75 | +14.31 | +26.44 | น้ำตาลอ่อน |
| 1,000 | 63.87 | +14.01 | +27.26 | น้ำตาลอ่อน |
| 1,050 | 65.87 | +12.34 | +26.32 | น้ำตาลอ่อน |
| 1,100 | 64.30 | +12.18 | +28.05 | น้ำตาลปนส้ม |
| 1,150 | 57.27 | +15.03 | +27.58 | น้ำตาลอ่อน |
| 1,200 | 53.88 | +8.96 | +21.11 | น้ำตาลปนเหลือง |

หมายเหตุ

L ใช้กำหนดค่าความสว่าง

L = 0 แสดงว่าตัวอย่างมีสีดำสมบูรณ์

L = 100 แสดงว่าตัวอย่างมีสีขาวสมบูรณ์

a ใช้กำหนดสีแดงและสีเขียว

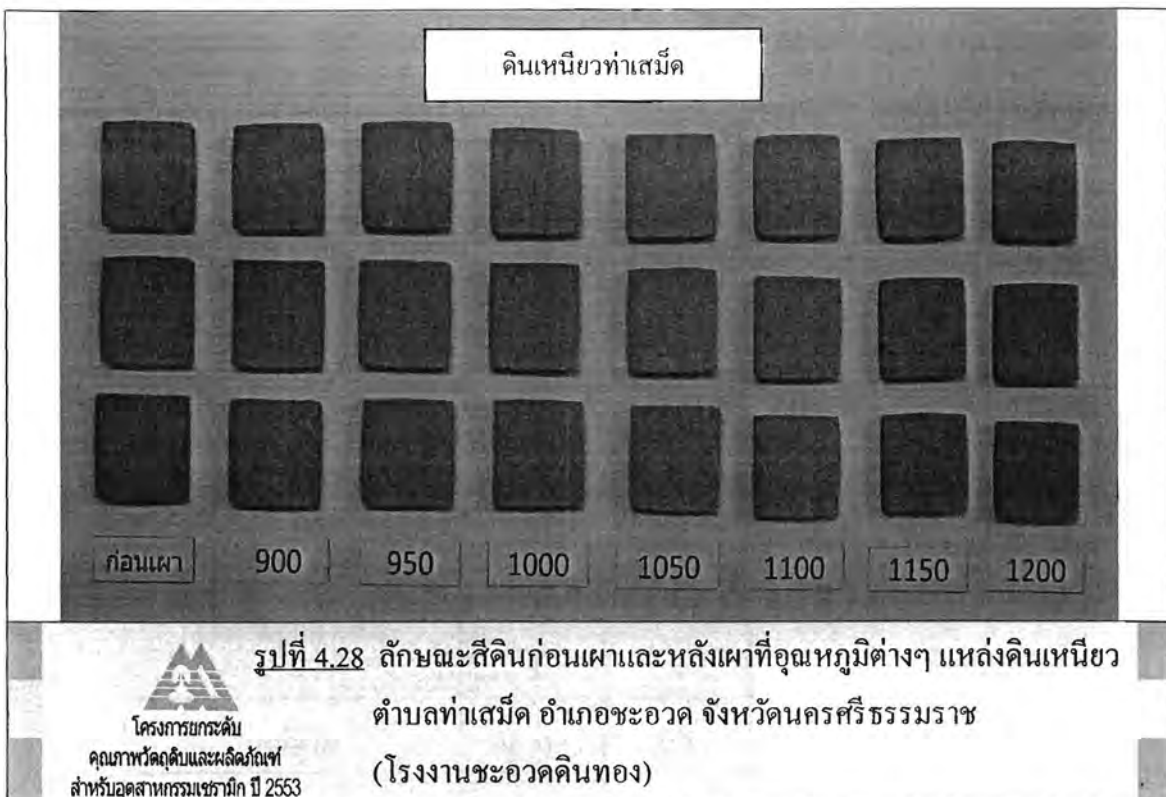
a ค่าบวก สีจะไปในทิศทางสีแดง

a ค่าลบ สีจะไปในทิศทางสีเขียว

b ใช้กำหนดสีเหลืองหรือสีน้ำเงิน

b ค่าบวก สีจะไปในทิศทางสีเหลือง

b ค่าลบ สีจะไปในทิศทางสีน้ำเงิน



4.7.7 ศักยภาพในการใช้ประโยชน์

ดินเหนียวท่าเสน่คเป็นดินเหนียวปานทรากที่เนื้อละเอียดพอควร มีความเหนียวตื้นรูปได้ง่าย เมื่อแห้งแท่งดินมีความแข็งแรงสูงพอสมควร เพาแล้วจะให้สิ่น้ำตาลอ่อนถึงน้ำตาลเข้มและเหลือง ทนไฟสูงกว่า 1,200 องศาเซลเซียส มีความแข็งแรงหลังเพาไม่สูงนัก มีความเหมาะสมในการนำมาผลิตเครื่องบันไดเพาที่ใช้สอบหรือตกแต่งต่างๆ อาทิ กระถางต้นไม้ จากน้ำยาง หรือผลิตภัณฑ์ที่ต้องการเคลือบไฟสูง รวมทั้งการเตรียมด้วยวิธีการหล่ออน้ำดิน

บทที่ 5

สรุป

5.1 องค์ประกอบทางเคมี

จากการวิเคราะห์ดินทั้ง 7 แหล่ง พบร่วมกันในดินส่วนใหญ่มีปริมาณซิลิกาและอัลูมินาสูงโดยมีค่า(57.15-74.5%) และ(20.62-27.37%) ตามลำดับ ยกเว้น เนื้อดินเป็นโนคลาน ดินเหนียว ต.ท่าประจจะ และดินเหนียว ต.ท่าเสม็ด ที่มีอัลูมินาต่ำ(14.82-18.07%) ดินทุกแหล่งมีปริมาณรวมของเหล็กออกไซด์ และไทเทเนียมออกไซด์(3.14-7.29%) โดยดินเหนียวท่าประจจะและดินเหนียวท่าเสม็ด สำเร็จลักษณะค่า น้ำค่อนข้างสูงทำให้ดินมีสีเข้มกว่าดินแหล่งอื่นๆ ในขณะที่ปริมาณรวมของสารแอคติวไลน์(โซเดียมและโซเดียมออกไซด์) และแอคติวไลน์เออร์ช (แคลเซียมและแมกนีเซียมออกไซด์) มีค่าค่อนข้างต่ำ (2.27-3.48%) ยกเว้นดินเหนียว สำเร็จลักษณะที่มีค่าสูง 5.20 % สำหรับการสูญเสียน้ำหนักหลังการเผาของ ดินทุกแหล่งมีค่า (4.68-8.99%)

| องค์ประกอบทางเคมี(ร้อยละ) | | | | | | | | | | | | |
|---------------------------|------------------|--------------------------------|--------------------------------|------------------|------|------|------------------|-------------------|------------------|-------------------------------|--------------------|-------|
| แหล่งดิน | SiO ₂ | Al ₂ O ₃ | Fe ₂ O ₃ | TiO ₂ | CaO | MgO | K ₂ O | Na ₂ O | MnO ₂ | P ₂ O ₅ | *CaSO ₄ | LOI |
| ชั้นบนท่าศาลา | 57.41 | 27.37 | 3.58 | 0.70 | 0.05 | 0.39 | 1.57 | - | 0.010 | - | - | 8.990 |
| ชั้นล่างท่าศาลา | 67.86 | 20.62 | 2.49 | 0.70 | 0.06 | 0.33 | 1.93 | - | 0.013 | - | - | 6.070 |
| บ้านท่าเตียน | 60.59 | 21.84 | 4.61 | 0.91 | 0.09 | 0.74 | 2.16 | 0.49 | 0.010 | 0.040 | 561 | 8.520 |
| โนคลาน | 74.50 | 14.82 | 2.50 | 0.64 | 0.11 | 0.52 | 2.31 | 0.39 | 0.009 | 0.022 | 210 | 4.679 |
| ร่องพิบูลย์ | 57.15 | 26.29 | 3.62 | 0.40 | 0.08 | 0.34 | 4.26 | 0.52 | 0.031 | 0.043 | - | 7.310 |
| ท่าประจจะ | 69.70 | 15.59 | 6.08 | 1.21 | 0.18 | 0.72 | 1.53 | 0.21 | 0.014 | 0.055 | 93 | 4.893 |
| ท่าเฉด | 67.71 | 18.07 | 6.07 | 1.17 | 0.17 | 0.55 | 1.36 | 0.19 | 0.010 | 0.020 | - | 5.550 |

* หน่วยที่ใช้: หน่วยส่วนในล้านส่วน (ppm)

5.2 แร่ทิยา

ผลการวิเคราะห์แร่ในอนุภาคดินจากแหล่งต่างๆพบว่าประกอบด้วยแร่ ควอตซ์ เคโอลิ ไนต์ อิลลิต ยกเว้น เนื้อดินปืน ไมคลาน ดินเหนียว สำเภาอ่อนพิบูลย์ และดินเหนียวท่าประจำ สำเภาชะอวด ที่มี แร่สเมกไทร์ ปะปนอยู่ด้วย

5.3 ค่าภาคค้างสะสมบนตะแกรง

คินส่วนใหญ่มีค่าภาคค้างสะสมบนตะแกรง 325 เมช ค่อนข้างสูง (7.22-27.27 %) ยกเว้น ดินเหนียวท่าประจำและดินเหนียวท่าเสนีดที่มีค่าต่ำกว่า 5%

| ภาคค้างสะสมบนตะแกรง(ร้อยละ) | | | |
|-----------------------------|---------|---------|---------|
| แหล่งดิน | 100 เมช | 200 เมช | 325 เมช |
| ชั้นบนท่าศาลา | 2.27 | 4.90 | 7.22 |
| ชั้นล่างท่าศาลา | 6.73 | 12.84 | 17.10 |
| บ้านท่าเตียน | 1.58 | 4.42 | 7.94 |
| ดินปืน ไมคลาน | 13.75 | 19.47 | 27.27 |
| ร่องพิบูลย์ | 5.04 | 14.58 | 20.90 |
| ท่าประจำ | 0.75 | 1.25 | 4.32 |
| ท่าเสนีด | 1.97 | 2.86 | 4.70 |

5.4 การกระจายความละเอียด

ในขณะที่ปริมาณอนุภาคขนาดละเอียด ($<2 \mu\text{m}$) สูงกว่า 60 % ในดินเกือบทุกแหล่ง ยกเว้น เนื้อดินปืน ไมคลานและดินเหนียว สำเภาอ่อนพิบูลย์ ที่มีค่าต่ำกว่า 50 % เนื่องจากมีกากหินมาก

| การกระจายตัวความละเอียดสะสม(ร้อยละ) | | | | | | |
|-------------------------------------|-------------------|-------------------|------------------|------------------|------------------|--------------------|
| แหล่งดิน | $<20 \mu\text{m}$ | $<10 \mu\text{m}$ | $<5 \mu\text{m}$ | $<2 \mu\text{m}$ | $<1 \mu\text{m}$ | $<0.5 \mu\text{m}$ |
| ชั้นบนท่าศาลา | 95.1 | 89.8 | 83.1 | 72.0 | 63.9 | 53.8 |
| ชั้นล่างท่าศาลา | 92.1 | 83.1 | 74.1 | 62.6 | 55.3 | 47.2 |
| บ้านท่าเตียน | 94.2 | 89.2 | 79.7 | 65.6 | 58.4 | 51.7 |
| ไมคลาน | 80.9 | 71.6 | 63.5 | 52.8 | 47.5 | 43.0 |
| ร่องพิบูลย์ | 82.2 | 68.2 | 56.0 | 43.6 | 36.4 | 28.3 |
| ท่าประจำ | 89.5 | 78.5 | 69.2 | 59.8 | 54.0 | 48.3 |
| ท่าเสนีด | 93.9 | 86.4 | 74.7 | 62.2 | 55.9 | 48.7 |

5.5 ค่าแมทิลเดินบูลอินเด็กซ์และดัชนีพลาสติก

ดินทุกแหล่งมีค่าแมทิลเดินบูลอินเด็กซ์และดัชนีพลาสติกที่มีค่า ($5.33-11.29 \text{ meq}/100 \text{ g}$) และ ($18-34$) ตามลำดับ โดยดัชนีพลาสติกจะมีค่ามากในดินเหนียวที่มีปริมาณขนาดอนุภาคเล็กกว่า $2 \mu\text{m}$ ไมครอน มาก

5.6 ค่าความชื้น

ดินส่วนใหญ่ต้องการน้ำเพื่อให้สามารถขึ้นรูปได้ ($21.03-24.74 \%$) ยกเว้นดินเหนียวชั้นบน สำหรับท่าศาลา ที่มีค่าสูง 30.73% เนื่องจากมีอนุภาคขนาดละเอียดมาก สำหรับการหดตัวและความแข็งแรงของดินทุกแหล่งมีค่า ($5.48-8.12 \%$) และ ($335.25-1,357 \text{ ปอนด์/ตารางนิ้ว}$) ตามลำดับ โดยดินบ้านท่าเตียนมีค่าความแข็งแรงหลังอบแห้งสูงสุด

5.7 ค่าการหดตัวหลังเผา

หลังจากเผาที่ $900-1200$ องศาเซลเซียส ดินทุกแหล่งมีค่าการหดตัวและความแข็งแรงเพิ่มขึ้นและการดูดซึมน้ำลดลงเมื่ออุณหภูมิเพิ่มขึ้น โดยที่อุณหภูมิ 1200 องศาเซลเซียส ดินเหนียวชั้นบน สำหรับท่าศาลา เป็นดินที่มีค่าการหดตัวหลังเผา 16.81% และความแข็งแรงสูงสุด $9,849 \text{ ปอนด์/ตารางนิ้ว}$ และมีค่าการดูดซึมน้ำต่ำสุด 0.70% ดินส่วนใหญ่มีช่วงการเผาไม่กว้างนักและทนไฟได้สูงกว่า 1200 องศาเซลเซียส ยกเว้นดินเหนียวชั้นบน สำหรับท่าศาลา และดินเหนียวบ้านท่าเตียนทนไฟได้ต่ำกว่า 1200 องศาเซลเซียส

5.8 สีของดิน

สีของดินเหนียวทุกแหล่งเปลี่ยนไปตามอุณหภูมิการเผาโดยจะมีสีเหลืองอ่อนถึงน้ำตาลแดงเข้ม โดยเฉพาะดินเหนียวที่ประชุมและดินเหนียวท่าเตียนมีปริมาณเหล็กออกไซต์สูง

5.9 การใช้ประโยชน์

ดินเหนียวทุกแหล่งเป็นดินเหนียวเนื้อละเอียด มีความเหนียวดี มีความเหมาะสมในการนำมาผลิตเครื่องปั้นดินเผาที่ใช้สอยในครัวเรือนหรือตกแต่งต่างๆ อาทิ กระถาง กระเบื้อง อิฐ อกน้ำ ยางพารา เป็นต้น ดินเก็บทุกแหล่งสามารถทนไฟได้ถึง 1200 องศาเซลเซียสอาจจะพัฒนาเป็นผลิตภัณฑ์เคลือบไฟต่อไปจนถึงไฟสูงได้ ดินเหนียวชั้นบนท่าศาลาและดินเหนียวร่องพิบูลย์เป็นดินที่ปริมาณดินมากกว่าแหล่งอื่นสามารถนำมาทำผลิตภัณฑ์ที่ต้องการผิวนิ่มนละเอียด อาทิ ของที่ระลึก ของชำร่วย

บรรณานุกรม

- ชาญ จรรยาวนิชย์ และ ถดา พันธ์สุขุมชนา. 2540. เทคโนโลยีสำหรับงานสุขภัณฑ์. บริษัท เกลีย์เอนด์ มีเนอร์รัลส์ (ประเทศไทย) จำกัด, กรุงเทพฯ.
- พศนิย์ อัตตะนันท์ และ จงรักย์ จันทร์เจริญสุข. 2542. การวิเคราะห์คินແພື່ໜ. ภาควิชา ปฐพີວິທາ, คณะเกษตร, มหาวิทยาลัยเกษตรศาสตร์, กรุงเทพฯ.
- ปรีดา พิมพ์ขาวข้า. 2540. เชรามิก. พิมพ์รังที่ 4. ภาควิชาวัสดุศาสตร์, คณะวิทยาศาสตร์, จุฬาลงกรณ์มหาวิทยาลัย, กรุงเทพฯ.
- พิกุลทอง ประเสริฐศักดิ์. 2541. คุณภาพของแร่คินกับการวิเคราะห์ทางเคมี. ฝ่ายวิเคราะห์แร่และหิน, กองวิเคราะห์, กรมทรัพยากรธรรมชาติ, กระทรวงอุตสาหกรรม, กรุงเทพฯ.
- ไฟจิต อิงค์ริวัตน์. 2541. เนื้อดินปืนเชรามิก. สำนักพิมพ์โอดีียนสโตร์, กรุงเทพฯ.
- มาตรฐานผลิตภัณฑ์อุตสาหกรรม. 2535. วิธีทดสอบกระเบื้องดินเผา (มาตรฐาน 38-2531). กระทรวง อุตสาหกรรม, กรุงเทพฯ.
- ครีไนต์ บุนทน. 2546. สมบัติดินเหนียวที่ใช้เป็นวัตถุดินในแหล่งหัตถกรรมพื้นบ้าน ภาคตะวันออกเฉียงเหนือของประเทศไทย. วิทยานิพนธ์ปริญญาโท. มหาวิทยาลัยเกษตรศาสตร์, กรุงเทพฯ.
- ศุนย์วิจัยและพัฒนาอุตสาหกรรมเครื่องปั้นดินเผา กองการวิจัย กรมวิทยาศาสตร์บริการ กระทรวงวิทยาศาสตร์เทคโนโลยีและสื่อสารมวลชน. 2529. เทคโนโลยีเชรามิกเบื้องต้น. กอง การวิจัย, กรมวิทยาศาสตร์บริการ, กระทรวงวิทยาศาสตร์เทคโนโลยีและสื่อสารมวลชน, กรุงเทพฯ.
- สถาบันวิจัยโลหะและวัสดุ จุฬาลงกรณ์มหาวิทยาลัย. 2545. โครงการยกระดับคุณภาพวัตถุดินและ ผลิตภัณฑ์สำหรับอุตสาหกรรมขนาดย่อมในภูมิภาค ปีที่ 1. สถาบันวิจัยโลหะและวัสดุ จุฬาลงกรณ์มหาวิทยาลัย. กรุงเทพฯ.
- สถาบันวิจัยโลหะและวัสดุ จุฬาลงกรณ์มหาวิทยาลัย. 2546. โครงการยกระดับคุณภาพวัตถุดินและ ผลิตภัณฑ์สำหรับอุตสาหกรรมขนาดย่อมในภูมิภาค ปีที่ 2. สถาบันวิจัยโลหะและวัสดุ จุฬาลงกรณ์มหาวิทยาลัย. กรุงเทพฯ.

บรรณานุกรม (ต่อ)

- อายุวัฒน์ สร้างผล. 2543. วัสดุดินที่ใช้แพร่หลายในงานเซรามิก. ภาควิชาหัตถศึกษาและอุตสาหกรรมศิลป์, คณะวิทยาศาสตร์และเทคโนโลยี, สถาบันราชภัฏกำแพงเพชร, กรุงเทพฯ.
- อัญชลี ศุทธิประการ.. 2534. แร่ในดินเล่นที่ 1, 2. ภาควิชาปูนพิวิทยา, คณะเกษตร, มหาวิทยาลัยเกษตรศาสตร์, กรุงเทพฯ.
- เอิน เจี๊ยวนรรณ. 2542. การสำรวจดิน. ภาควิชาปูนพิวิทยา, คณะเกษตร, มหาวิทยาลัยเกษตรศาสตร์, กรุงเทพฯ.

American Society for Testing and Materials. 1981. **Standard Test Method for Methylene blue index of Clays.** ASTM C837-81.

American Society for Testing and Materials. 1982. **Standard Test Method for Drying and Firing Skrinkage of Ceramic Whiteware Clays.** ASTM C362-82.

American Society for Testing and Materials. 1991. **Determining the Particle Size Distribution of Alumina by Centrifugal Photosedimentation.** ASTM C1182-91.

American Society for Testing and Materials. 1993. **Standard Test Method for Strength of Ceramic Whiteware Clays.** ASTM C689-93.

American Society for Testing and Materials. 1994. **Standard Practice for Identification of Instrumental Methods of Color or Color-Difference Measurement of Materials.** ASTM E805-94.

American Society for Testing and Materials. 1994. **Standard Test Method for Loss on Electrical Grade Magnesium Oxide.** ASTM C2773-94.

Bear, F.E. 1967. **Chemistry of the Soil.** 2nd ed. New York, Reinhold Publishing Corporation.

Buckman, H.O. and N.C. Brady. 1969. **The Nature and Properties of Soils.** The MacMillan Company, New York

Buol, S.W., F.D. Hole and R.J. McCracken. 1989. **Soil Genesis and Classification.** 3rd ed. Iowa State University Press, Ames.

บรรณานุกรม (ต่อ)

- Brindley, G.W. and G. Brown. 1980. X-ray diffraction procedures for clay mineral identification, pp. 305-359. In G.W. Brindley and G. Brown, eds. **Crystal Structure of Clay Minerals and Their X-ray Identification** Mineralogical Society Monograph No. 5. Spottiswoode Ballantyne Ltd., London.
- Gillson, J.L. 1960. **Industrial Mineral and Rocks.** The Am Inst of Minning Metal and Petro. Eng New York.
- Jackson, M. L. 1965. **Soil Chemical Analysis Advance Course.** Dept of Soil Sci. Univ. of Wisconsin.
- Jenny, H. 1980. **The Soil Resource-Origin and Behavior.** Springer-Verlag, New York.
- Jepson, B. 1984. Kaolins: their properties and uses. **Philos. Trans. Roy. Soc.** 311: 411-432.
- Jones, A.A. 1987. X-ray fluorescence spectrometry, pp. 85-121. In A.L. Page, ed. **Methods of Soil Analysis.** Part 2. Agron. Monograph No. 9. Amer. Soc. of Agron. Inc., Madison, Wisconsin, U.S.A.
- Ryan. W and Radford. C, 1989. **Whiteware Production, Testing and Quality Control.** Pergamon Press.
- Whittig, L.D. 1965. X-ray Diffraction technique for minerals identification and mineralogical composition, pp. 671-698. In C.A. Black, ed. **Methods of soil Analysis.** Part I. Agronomy, No. 9. Amer. Soc. Agron. Inc., Madison, Wisconsin.